ABSTRAKSI

LINDA PRASETYORINI. 0310640035 .2007. **Kajian Pengendalian Banjir di Hilir Sungai Cideres Deet Kabupaten Majalengka**. Tugas akhir Jurusan Pengairan, Fakultas Teknik, Universitas Brawijaya, Malang, Jawa Timur. Dosen Pembimbing: Runi Asmaranto, ST,MT. dan Prima Hadi Wicaksono, ST,MT.

Di daerah utara wilayah Kabupaten Majalengka terdapat suatu daerah yang setiap tahunnya mengalami banjir. Daerah ini terletak di Kecamatan Kadipaten dan Kecamatan Dawuan yang merupakan Daerah Aliran Sungai (DAS) Cideres Deet bagian hilir yang bermuara pada Sungai Cimanuk. Pada saat musim hujan yang berkepanjangan, air banjir akan menggenangi daerah persawahan dan pemukiman di tiga desa yang berada di sepanjang aliran sungai Cideres Deet, yaitu Desa Pagandon, Bojong Cideres, dan Dawuhan. Genangan tersebut sampai masuk ke dalam rumah penduduk dengan ketinggian mencapai 0,5-1,0 m dan dapat bertahan 2-3 hari. Sedangkan genangan yang terjadi di daerah persawahan lebih lama dari itu, dimana luas sawah yang tergenang air banjir adalah ± 218,31 ha dan rumah penduduk (permukiman) yang tergenang ± 57,87 ha atau sekitar 558 jiwa (rata-rata kepadatan penduduk 964 jiwa/km²). Akibatnya, kerugian yang dihasilkan cukup besar sehingga daerah tersebut sangat perlu diamankan dari bahaya banjir.

Kajian ini bertujuan untuk mengetahui apakah kapasitas sungai Cideres Deet masih mampu untuk menampung debit dominan (Q_{2th}) sepanjang 4 km pada daerah hilir sungai Cideres Deet (CS 1-91) karena pada daerah tersebut merupakan pemukiman yang padat penduduk sehingga perlu diamankan dari bahaya banjir. Untuk rencana pengendali banjir, analisa profil aliran dilakukan dengan menggunakan paket program HEC-RAS 3.1.3. Berdasarkan analisa hidrologi dan hidrolika tersebut dapat diketahui bahwa daerah hilir (patok 1-91), hampir semua patok mengalami banjir, sedangkan di daerah hulu (patok 92-246) hanya beberapa patok yang mengalami banjir. Oleh sebab itu pusat kajian dilakukan di daerah hilir sungai.

Upaya pengendalian banjir yang dilakukan tidak hanya untuk mengatasi banjir tahunan tetapi direncanakan pula untuk mengatasi banjir yang terjadi dengan kala ulang 25 tahun sesuai dengan standar kriteria perencanaan perbaikan sungai. Pembuatan tanggul sungai direncanakan pada patok 1 s/d 16 karena penampang sungainya cukup besar sehingga masih mampu menampung debit dominan (Q_{2th}). Tanggul direncanakan untuk pencegahan apabila terjadi *back water* dari Sungai Cimanuk mengingat pada patok 1 merupakan daerah pertemuan dengan Sungai Cimanuk. Perbaikan penampang sungai direncanakan pada patok 17 s/d 91 karena pada patok-patok tersebut penampang sungainya kecil sehingga apabila direncanakan tanggul masih banyak penampang sungai yang mengalami banjir . Untuk mengetahui apakah dimensi tanggul yang direncanakan aman, maka diperlukan suatu perhitungan kestabilan lereng. Dalam kajian ini perhitungan stabilitas lereng tanggul menggunakan program Geoslope Versi Studi.

Dengan adanya upaya pengendalian banjir tersebut dari hasil running program HECRAS dapat diketahui bahwa Sungai Cideres Deet mampu menampung debit banjir sampai dengan kala ulang 25 tahun sebesar 165,118 m³/dt.

BAB I PENDAHULUAN

1.1. Latar Belakang Masalah

Wilayah Indonesia memiliki 6 persen persediaan air dunia atau 21 % air Asia-Pasifik. Namun, pada kenyataannya di Negara kita masih banyak terdapat masalah klasik yang berkaitan dengan air, seperti jika air berlimpah akan mengakibatkan banjir sedangkan jika air tersedia dalam jumlah yang kecil akan mengakibatkan beberapa daerah mengalami kekeringan.

Bencana alam banjir dan tanah longsor seringkali terjadi di beberapa wilayah di Indonesia, khususnya di Jawa Barat setiap tahun semakin meningkat. Penyebab utama bencana tersebut adalah akibat dari intervensi manusia seperti berkurangnya lahan sebagai daerah resapan air dan menurunnya daya dukung lingkungan terhadap kelestarian fungsi dan manfaat sumber daya air akibat perusakan hutan yang tidak terkendali, kurang terpeliharanya bangunan pengendali banjir dan alur sungai, pengendapan sedimen, sistem drainase yang tidak berjalan serta curah hujan melebihi batas normal.

Di daerah utara wilayah Kabupaten Majalengka terdapat suatu daerah yang setiap tahunnya mengalami banjir. Daerah ini terletak di Kecamatan Kadipaten dan Kecamatan Dawuan yang merupakan Daerah Aliran Sungai (DAS) Cideres Deet bagian hilir yang bermuara pada Sungai Cimanuk. Pada saat musim hujan yang berkepanjangan, air banjir akan menggenangi daerah persawahan dan pemukiman di tiga desa yang berada di sepanjang aliran sungai Cideres Deet, yaitu Desa Pagandon, Bojong Cideres, dan Dawuhan. Genangan tersebut sampai masuk ke dalam rumah penduduk dengan ketinggian mencapai 0,5-1,0 m dan dapat bertahan 2-3 hari. Sedangkan genangan yang terjadi di daerah persawahan lebih lama dari itu, dimana luas sawah yang tergenang air banjir adalah ± 218,31 ha dan rumah penduduk (permukiman) yang tergenang ± 57,87 ha atau sekitar 558 jiwa (rata-rata kepadatan penduduk 964 jiwa/km²). Akibatnya, kerugian yang dihasilkan cukup besar sehingga daerah tersebut sangat perlu diamankan dari bahaya banjir.

Berdasarkan uraian permasalahan di atas, maka diperlukan suatu kajian (studi) sebagai usaha untuk mengurangi kerugian yang diakibatkan oleh banjir pada sungai Cideres Deet di Kabupaten Majalengka. Ada beberapa konsep penanganan untuk permasalahan pengendalian banjir, seperti pengurangan puncak banjir dengan

tampungan air (retarding basin), pengurangan aliran dalam suatu alur yang ditetapkan dengan tanggul dan dinding penahan (parafet) banjir, penurunan muka air banjir dengan perbaikan alur dan normalisasi (perbaikan penampang) sungai, serta pengaliran air banjir melalui saluran banjir (floodway) ke dalam alur sungai lain bahkan DAS lain. Namun, dengan melihat kondisi topografi dan morfologi pada DAS Cideres Deet, maka alternatif yang memungkinkan untuk dilaksanakan adalah dengan pembangunan tanggul dan perbaikan penampang sungai di sepanjang sungai yang mengalami luapan.

Identifikasi Permasalahan 1.2.

Salah satu permasalahan yang terjadi pada DAS Cideres Deet adalah banjir. Bebarapa tahun terakhir ini terutama pada musim penghujan, debit banjir di Sungai Cideres Deet mengalami peningkatan dan kapasitas tampungan sungai sudah tidak mencukupi untuk menampung debit tersebut sehingga mengakibatkan banjir dengan genangan yang cukup lama mencapai ketinggian 1,0 m pada pemukiman penduduk dan persawahan yang terdapat di tiga desa di sepanjang aliran sungai Cideres Deet, yaitu Desa Pagandon, Bojong Cideres, dan Dawuhan.

Kondisi sungai Cideres Deet sendiri dari tahun ke tahun mengalami degradasi. Salah satunya diakibatkan oleh penataan dataran bajir yang tidak sesuai dengan Undang-Undang dimana pemukiman penduduk sangat dekat dengan sungai dan banyaknya penambangan galian C di daerah sekitar aliran sungai dan anak sungai, sehingga membuat kondisi tanah di daerah sekitar menjadi rawan erosi. Disamping itu kondisi morfologi Sungai Cideres Deet yang berkelok-kelok membuat pengaliran debit banjir terhambat dan jika air meluap akan menimbulkan genangan. Sedangkan kondisi pada hilir sungai Cideres Deet tepatnya pada bagian outlet pertemuan / muara dengan Sungai Cimanuk sering terjadi aliran balik (back water). Hal tersebut diakibatkan karena muka air Sungai Cimanuk lebih tinggi disertai dengan arus sungai yang lebih deras, sehingga air dari sungai Cideres Deet tidak dapat mengalir dengan cepat.

Beberapa dugaan penyebab banjir di daerah hilir Sungai Cideres Deet adalah sebagai berikut:

1. Kapasitas tampungan sungai yang tidak mencukupi pada beberapa ruas Sungai Cideres Deet pada saat banjir.

- 2. Kondisi morfologi sungai Cideres Deet yang cenderung berkelok (meander) di hilir sungai Cideres Deet yang menyebabkan aliran menjadi lambat saat banjir sehingga mengakibatkan luapan di sekitar alur sungai.
- 3. Aliran air dari Sungai Cideres Deet yang lambat ke Sungai Cimanuk karena kondisi muka air dan arus Sungai Cimanuk yang lebih tinggi sehingga seringkali mengakibatkan terjadinya aliran balik.

1.3. **Batasan Masalah**

Melihat permasalahan yang terjadi pada DAS Cideres Deet sangat kompleks, maka kajian ini dibatasi untuk memfokuskan kajian pada pola pengendalian banjir. Berdasarkan latar belakang masalah dan identifikasi masalah di atas, maka batasan masalah pada kajian ini adalah:

- Daerah kajian adalah Sungai Cideres Deet sepanjang 4 km ke arah hilir dari panjang sungai utama 19,92 km sampai pada pertemuan dengan Sungai Cimanuk.
- 2. Berdasarkan peta hasil digitasi dengan dasar peta rupabumi BAKOSURTANAL tahun 2004 diketahui luas DAS Cideres Deet adalah 22,912 km².
- 3. Data pengukuran didapatkan dari hasil survey lapangan.
- 4. Data curah hujan didapatkan dari 4 stasiun hujan yang terdapat di sepanjang DAS Cideres Deet, yaitu Stasiun Hujan Jatiwangi, Kadipaten, Sukahaji, dan Majalengka selama 13 tahun dari tahun 1992 sampai 2005. Data hujan ini didapatkan dari Sub Dinas Pengairan Kabupaten Majalengka.
- 5. Untuk mengetahui besarnya debit banjir yang terjadi digunakan analisa hidrologi dengan Hidrograf Satuan Sintetis dan penelusuran banjir lewat palung sungai dengan Metode Muskingum.
- 6. Analisa profil aliran menggunakan bantuan paket program HEC-RAS 3.1.3.
- 7. Dalam kaitannya dengan penentuan Q rencana digunakan Q_{25th}, sebagaimana digunakan pada perencanaan bangunan-bangunan sungai di Indonesia, yang kemudian untuk kontrolnya dengan menggunakan Q_{100th}.
- 8. Apabila diperlukan pengendalian banjir dengan menggunakan tanggul, maka perhitungan stabilitas lereng pada tanggul menggunakan bantuan program Geoslope Student Versi.
- 9. Dimensi bangunan pengendali banjir yang direkomendasikan dalam kajian ini adalah bersifat basic design, berdasarkan literatur yang ada.

- 10. Tidak membahas masalah sedimen, erosi lahan, dan AMDAL.
- 11. Tidak membahas analisa biaya dan ekonomi.

1.4. Rumusan Masalah

Berdasarkan batasan masalah di atas, maka permasalahan pada kajian ini dapat dirumuskan sebagai berikut:

- 1. Bagaimana kapasitas tampungan Sungai Cideres Deet pada kondisi eksisting?
- 2. Bagaimanakah upaya pengendalian banjir di Sungai Cideres Deet?
- 3. Bagaimana kapasitas tampungan Sungai Cideres Deet setelah ada upaya pengendali banjir?

Tujuan dan Manfaat 1.5.

Tujuan dari studi ini adalah mengidentifikasi penyebab banjir dan menentukan konsep serta upaya pemecahan permasalahan banjir yang dihadapi sehubungan dengan genangan banjir yang terjadi, terutama di Kecamatan Kadipaten dan Kecamatan Dawuan Kabupaten Majalengka akibat meluapnya Sungai Cideres Deet yang selama ini belum bisa tertangani.

Manfaat yang diharapkan dari kajian ini adalah:

- Hasil kajian diharapkan dapat mengurangi bahaya banjir yang diakibatkan oleh meluapnya Sungai Cideres Deet yang berada di Kecamatan Kadipaten dan Kecamatan Dawuan Kabupaten Majalengka, sehingga daerah pemukiman padat penduduk dapat terlindungi.
- 2. Hasil kajian ini diharapkan dapat bermanfaat sebagai bahan pertimbangan dalam perencanaan suatu sistem pengendalian banjir.
- 3. Menambah pengetahuan tentang aplikasi program HEC-RAS 3.1.3.



Kondisi Sungai Cideres Deet di bagian hilir dekat pertemuan dengan Sungai Cimanuk.



Ketinggian air yang menggenangi pemukiman di sekitar Sungai Cideres Deet



Kondisi Sungai Cideres Deet yang bermeander

Gambar 1.1. Kondisi daerah studi



BAB II KAJIAN PUSTAKA

2.1. Daerah Aliran Sungai

2.1.1. Pengertian Daerah Aliran Sungai

Suatu alur yang panjang di atas permukaan bumi tempat mengalirnya air yang berasal dari hujan disebut alur sungai dan perpaduan antara alur sungai dan aliran air didalamnya disebut sungai (Sosrodarsono, 1984:1).

Daerah dimana sungai memperoleh air merupakan daerah tangkapan air hujan yang biasanya disebut daerah aliran sungai. Dengan demikian, DAS dapat dipandang sebagai suatu unit kesatuan wilayah tempat air hujan mengumpul ke sungai menjadi aliran sungai. Garis batas antara DAS adalah punggung permukaan bumi yang dapat memisahkan dan membagi air hujan menjadi aliran permukaan di masing-masing DAS. Menutut Asdak (2002:4) daerah aliran sungai adalah suatu wilayah daratan yang secara topografik dibatasi oleh punggung-punggung gunung yang menampung dan menyimpan air hujan untuk kemudian menyalurkannya ke laut melalui sungai utama. Wilayah daratan tersebut dinamakan daerah tangkapan air (catchment area) yang merupakan suatu ekosistem dengan unsur utamanya terdiri atas sumber daya alam (tanah, air, dan vegetasi) dan sumber daya manusia sebagai pemanfaat sumber daya alam.

2.1.2. Bentuk Daerah Aliran Sungai

Sifat-sifat sungai sangat dipengaruhi oleh luas dan bentuk daerah alirannya. Bentuk suatu daerah aliran sungai sangat berpengaruh terhadap kecepatan terpusatnya air. Secara umum bentuk daerah aliran sungai dibedakan menjadi 4 macam (Sosrodarsono, 1976:169):

a. Daerah aliran bulu burung (memanjang)

Jalur daerah di kiri kanan sungai utama dimana anak-anak sungai mengalir ke sungai utama dengan jarak tertentu disebut daerah aliran bulu burung. Daerah aliran yang demikian mempunyai debit banjir yang kecil, oleh karena waktu tiba banjir dari anak-anak sungai itu berbeda-beda. Sebaliknya banjir berlangsung agak lama.

b. Daerah aliran radial

Daerah aliran radial adalah daerah aliran sungai yang berbentuk seperti kipas atau lingkaran dimana anak-anak sungainya mengkonsentrasi di suatu titik secara radial.

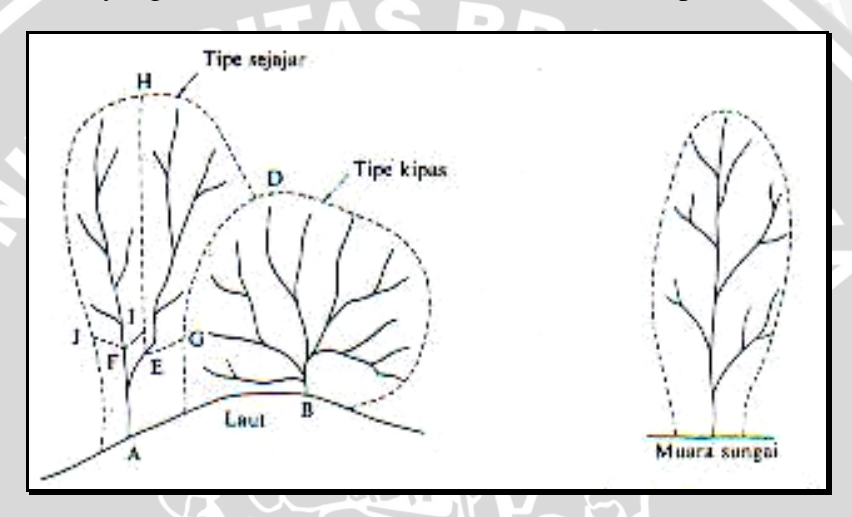
Daerah aliran sungai yang demikian mempunyai banjir yang besar di dekat titik pada pertemuan anak-anak sungai.

c. Daerah aliran sejajar

Bentuk ini mempunyai corak dimana dua jalur daerah aliran bersatu di bagian hilir Banjir itu terjadi di sebelah hilir titik pertemuan sungai-sungai

d. Daerah aliran kompleks

Dalam keadaan yang sesungguhnya kebanyakan sungai-sungai tidaklah sesederhana sebagaimana uraian diatas, akan tetapi merupakan perpaduan dari ketiga tipe tersebut. Daerah aliran yang demikian dinamakan daerah aliran kompeks.



Gambar 2.1. Daerah aliran sungai Sumber: Sosrodarsono, Suyono, 1985: 3

Menurut bentuknya DAS Cideres Deet termasuk dalam kategori DAS memanjang (bentuk bulu burung).

2.1.3. Alur Sungai

Suatu alur sungai dapat dibagi menjadi 3 bagian yaitu :

a. Bagian Hulu

Bagian hulu sungai merupakan daerah sumber erosi karena pada umumnya alur sungai melalui daerah pegunungan, bukit, atau lereng gunung yang kadang-kadang mempunyai ketinggian yang cukup besar dari muka air laut. Alur sungai dibagian hulu ini biasanya mempunyai kecepatan yang lebih besar dari pada bagian hilir.

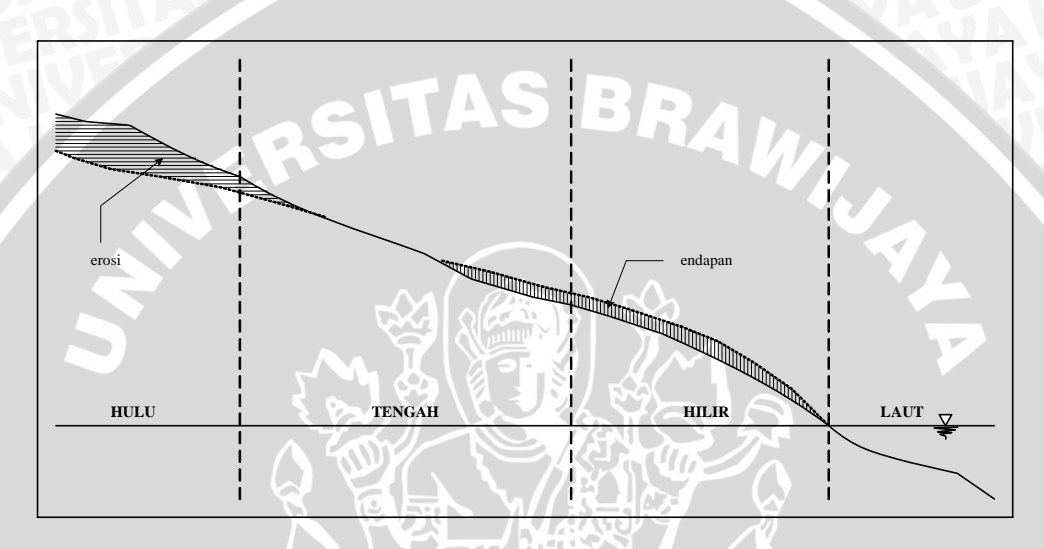
b. Bagian Tengah

Bagian ini merupakan daerah peralihan dari bagian hulu dan hilir. Kemiringan dasar sungai lebih landai sehingga kecepatan aliran relatif lebih kecil dari pada bagian

hulu. Bagian ini merupakan daerah keseimbangan antara proses erosi dan sedimentasi yang sangat bervariasi dari musim ke musim.

c. Bagian Hilir

Alur sungai dibagian hilir biasanya melalui dataran yang mempunyai kemiringan dasar sungai yang landai sehingga kecepatan alirannya lambat. Keadaan ini sangat memudahkan terbentuknya pengendapan atau sedimen. Endapan yang terbentuk biasanya berupa endapan pasir halus, lumpur, endapan organik, dan jenis endapan lain yang sangat labil.



Gambar 2.2. Sketsa profil memanjang alur sungai

2.1.4. Pola Aliran Sungai

Sungai di dalam semua DAS mengikuti suatu aturan yaitu aliran sungai dihubungkan oleh suatu jaringan satu arah dimana cabang dan anak sungai yang mengalir ke dalam sungai induk yang lebih besar dan membentuk suatu pola tertentu. Pola itu tergantung dari kondisi topografi, geologi, iklim dan vegetasi yang terdapat dalam DAS yang bersangkutan.

Di Indonesia ada beberapa pola aliran sungai, dimana pola aliran tersebut dibedakan berdasarkan jenis batuan dan sedimennya. Pola aliran tersebut antara lain (Soewarno, 1995):

a. Pola Radial

Pola ini biasanya banyak dijumpai pada daerah lereng gunung berapi atau daerah dengan topografi berbentuk kubah. Misalnya sungai di lereng Gunung Semeru, Merapi, Ijen dan Slamet.

b. Pola Rektangular

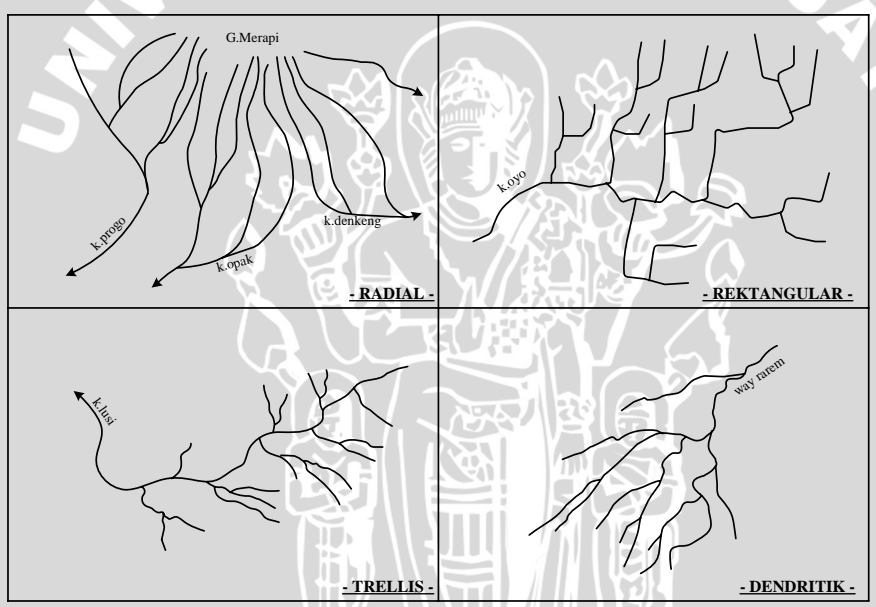
Pola ini banyak dijumpai pada daerah pengunungan kapur, misalnya Gunung Kidul.

c. Pola Trellis

Pola ini biasanya banyak dijumpai pada daerah pegunungan dengan lipatanlipatan yang juga terdapat lapisan sedimen. Misalnya pada daerah pegunungan di Sumatera barat dan Jawa Tengah.

d. Pola Dendritik

Pola aliran sungai seperti ini banyak dijumpai di daerah dengan komposisi batuan penyusun yang sejenis dan penyebarannya luas. Misalnya pada daerah pegunungan di Sumatera dan Kalimantan.



Gambar 2.3 Sketsa pola aliran sungai di indonesia Sumber: Suwarno, 1995

Pola aliran sungai pada DAS Cideres Deet mengikuti pola aliran trellis.

2.2. Analisa Curah Hujan

2.2.1. Uji Konsistensi Data

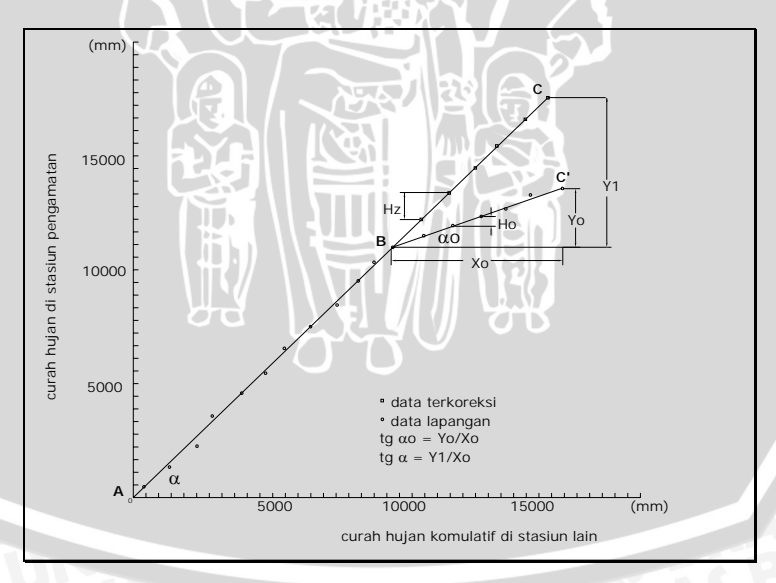
Ketelitian hasil perhitungan hidrologi dari curah hujan sangat bergantung dari konsistensi data yang tersedia. Di dalam data pengamatan hujan, bisa terdapat non homogenitas dan ketidaksesuaian yang dapat mengakibatkan penyimpangan pada hasil perhitungan. Oleh karena itu, sebelum data hidrologi dapat digunakan untuk berbagai analisa, data tersebut harus diolah terlebih dahulu menjadi data siap pakai. Untuk menjadi

data siap pakai, maka harus dilakukan pengujian tentang konsistensi (consistency) dan kesamaan jenis (homogenity).

Uji konsistensi data hujan diperlukan untuk mengetahui kesalahan data atau penyimpangan data. Data hujan yang tidak konsisten ini disebabkan oleh :

- a. Perubahan mendadak pada sistem lingkungan hidrolis, misal karena adanya pembangunan gedung-gedung atau tumbuhnya pohoon-pohon, karena gempa bumi, meletusnya gunung api, dan lain-lain.
- b. Pemindahan alat ukur.
- c. Perubahan cara pengukuran (misalnya berhubungan dengan adanya alat baru atau metode baru).
- d. Perubahan iklim.
- e. Perubahan letak stasiun.

Pengujian sederhana yang dilakukan untuk mendeteksi penyimpangan ini, umumnya dilakukan dengan analisa kurva massa ganda (double mass curve analysis). Data curah hujan tahunan jangka waktu tertentu pada stasiun yang diuji harus dibandingkan dengan besaran komulatif rata-rata hujan dari beberapa stasiun referensi sekitarnya.



Gambar 2.4. Gambar analisa Kurva Massa Ganda Sumber: Harto, Sri, 1993: 46

Ketidakkonsistenan (inconsistency) data dapat ditunjukkan oleh penyimpangan garisnya dari garis lurus. Jika terjadi penyimpangan, maka data hujan dari stasiun yang diuji harus dikoreksi sesuai dengan kemiringan garisnya, dengan rumus berikut ini:

$$H_z = Fk \times H_0 \tag{2-1}$$

$$Fk = \left(\frac{\tan \alpha}{\tan \alpha_0}\right) \tag{2-2}$$

dengan:

H_z = data hujan yang diperbaiki

H_o = data hujan hasil pengamatan

Fk = faktor koreksi

 $\tan \alpha$ = kemiringan garis sebelum ada perubahan

 $\tan \alpha_a$ = kemiringan garis setelah ada perubahan

2.2.2. Uji Homogenitas Data

Data di luar ambang batas (outlier) adalah data yang menyimpang cukup jauh dari trend kelompoknya. Keberadaan outlier biasanya mengganggu pemilihan jenis distribusi suatu sampel data, sehingga outlier perlu dibuang. Uji Grubbs and Beck menetapkan dua batas ambang bawah X_L dan ambang atas X_H sebagai berikut (Chow, 1988 : 403) :

$$X_H = \overline{x} + K_n.S \tag{2-3}$$

$$X_L = \overline{x} - K_n.S \tag{2-4}$$

dengan:

 X_H = nilai ambang atas

X_L = nilai ambang bawah

 \bar{x} = nilai rata-rata

s = simpangan baku dari logaritma terhadap sampel data

 K_n = besaran yang tergantung pada jumlah sampel data (tabel 2.1)

n = jumlah sampel data

Data yang nilainya diluar X_H dan X_L diklasifikasikan sebagai *outlier*.

Tabel 2.1. Harga Kn untuk Pemeriksaan *Outlier*

Jumlah Data (n)	Kn						
10	2.036	24	2.467	38	2.661	60	2.837
11	2.088	25	2.486	39	2.671	65	2.866
12	2.134	26	2.502	40	2.682	70	2.893
13	2.175	27	2.519	41	2.692	75	2.917
14	2.213	28	2.534	42	2.700	80	2.940
15	2.247	29	2.549	43	2.710	85	2.961
16	2.279	30	2.563	44	2.719	90	2.981
17	2.309	31	2.577	45	2.727	95	3.000
18	2.335	32	2.591	46	2.736	100	3.017
19	2.361	33	2.604	47	2.744	110	3.049
20	2.385	34	2.616	48	2.753	120	3.078
21	2.408	35	2.628	49	2.760	130	3.104
22	2.429	36	2.39	50	2.768	140	3.129
23	2.448	37	2.65	55	2.804		

Sumber: Chow, 1988: 404

2.2.3. Curah Hujan Rerata Daerah

Curah hujan yang diperlukan untuk penyusunan suatu rancangan pengendalian banjir adalah curah hujan rata-rata diseluruh daerah yang bersangkutan, bukan curah hujan pada suatu titik tertentu. Curah hujan ini disebut curah hujan daerah yang dinyatakan dalam satuan milimeter (Sosrodarsono, 1987:27).

Secara umum terdapat tiga metode untuk mendapatkan curah hujan rerata daerah, yaitu:

- 1. Metode Rata-rata Aljabar
- 2. Metode Poligon Thiessen
- 3. Metode Garis Isohyet

Data hujan yang digunakan untuk perhitungan hujan rancangan diperoleh dari Sub Dinas Pengairan Kabupaten Majalengka dalam bentuk curah hujan harian tahunan selama 9 tahun, yaitu mulai tahun 1992 sampai 2000. Jumlah stasiun hujan yang digunakan ada 4 (empat) stasiun hujan yang terletak dalam wilayah DAS Cideres Deet, yaitu stasiun hujan Jatiwangi, stasiun Kadipaten, stasiun Sukahaji, dan stasiun Majalengka.

Selain berdasarkan stasiun pengamatan, curah hujan daerah dapat dihitung dengan parameter luas daerah tinjauan sebagai berikut (Sosrodarsono, 2003: 51):

- 1. Untuk daerah tinjauan dengan luas 250 ha dengan variasi topografi kecil diwakili oleh sebuah stasiun pengamatan.
- 2. Untuk daerah tinjauan dengan luas 250 50.000 ha yang memiliki 2 atau 3 stasiun pengamatan dapat menggunakan metode rata-rata aljabar.

IVERSITAS 2 ANTITAVA

- 3. Untuk daerah tinjauan dengan luas 120.000 500.000 ha yang memiliki beberapa stasiun pengamatan tersebar cukup merata dan dimana curah hujannya tidak terlalu dipengaruhi oleh kondisi topografi dapat menggunakan metode rata-rata aljabar, tetapi jika stasiun pengamatan tersebar tidak merata dapat menggunakan metode Thiessen.
- 4. Untuk daerah tinjauan dengan luas lebih dari 500.000 ha menggunakan metode Isohiet atau metode potongan antara.

Dalam studi ini perhitungan curah hujan rerata daerah menggunakan metode ratarata aljabar. Hal tersebut menjadi pertimbangan karena luas DAS Cideres Deet adalah 22,179 km² atau 2217,9 ha termasuk dalam rentang luas antara 250 - 50.000 ha. Adapun cara perhitungannya menggunakan rumus sebagai berikut :

$$\overline{R} = \frac{1}{n} (R_1 + R_2 + \dots + R_n)$$
 (2-5)

dengan:

 \overline{R} = curah hujan rerata daerah (mm/hari)

n = jumlah titik pengamatan

 $R_1, R_2, ...R_1 = curah hujan di tiap titik pengamatan (mm/hari)$

Berdasarkan metode Rata-rata Aljabar dapat dihitung curah hujan rerata maksimum daerah untuk masing-masing pengamatan.

2.2.4. Curah Hujan Rancangan

Hujan rancangan maksimum adalah besarnya curah hujan terbesar tahunan mungkin terjadi di suatu daerah dengan periode kala ulang tertentu. Ada beberapa metode yang dapat digunakan dalam menghitung besarnya curah hujan rancangan pada suatu daerah tertentu, antara lain distribusi *Gumbel, Gamma, Log Normal, Log Pearson Type III, Hazen,* dan lain-lain.

Untuk menentukan metode yang sesuai, maka terlebih dahulu harus dihitung besarnya parameter-parameter statistik seperti koefisien Cs (koefisien kepencengan) dan Ck (koefisien puncak). Persamaan yang digunakan adalah :

$$Cs = \frac{n\sum(x-\bar{x})^3}{(n-1)(n-2)S^3}$$
 (2-6)

$$Ck = \frac{n^2 \sum (x - \bar{x})^4}{(n - 1)(n - 2)(n - 3)S^4}$$
 (2-7)

dengan:

Cs = *skewness* / kepencengan

Ck = *kurtosis* / koefisien puncak

S = simpangan baku

jumlah data n

Tabel 2.2. Syarat Pemilihan Metode Frekuensi

Jenis Metode	Ck	Cs
Gumbel	5.4002	1.1396
Normal	3.000	0.0000
Log Pearson Type III	bebas	bebas

Sumber : Harto, Sri, 1993 : 245

Metode Log Pearson Type III

Distribusi Log Pearson Type III banyak digunakan dalam analisis hidrologi, terutama dalam analisis data maksimum (banjir) dan minimum (debit minimum) dengan nilai ekstrim. Parameter-parameter statistik yang diperlukan oleh distribusi Log Pearson Type III adalah (CD. Soemarto, 1987:243):

- Harga rata-rata.
- Standart deviasi.
- Koefisien kepencengan.

Distribusi frekuensi komulatif akan tergambar sebagai garis lurus pada kertas lognormal jika koefisien asimetri Cs = 0.

Prosedur untuk menentukan kurva distribusi Log Pearson Type III, adalah:

- Mengubah data debit banjir tahunan sebanyak n buah X1, X2, X3,, Xn menjadi $\log X_1$, $\log X_2$, $\log X_3$,, $\log X_n$.
- b. Menghitung nilai rata-rata dengan rumus:

$$\frac{\log X}{\log X} = \frac{\sum \log X}{n} \tag{2-8}$$

dengan:

n = jumlah data.

c. Menghitung nilai Deviasi standar dari log X, dengan rumus sebagai berikut :

$$\overline{S \log X} = \sqrt{\frac{\sum (\log X - \overline{\log X})^2}{(n-1)}}$$
 (2-9)

Menghitung nilai koefisien kemencengan, dengan rumus sebagai berikut :

$$CS = \frac{n \sum (\log X - \overline{\log X})^{3}}{(n-1)(n-2)(\overline{S \log X})^{3}}$$
 (2-10)

e. Menghitung logaritma debit dengan waktu balik yang dikehendaki dengan rumus sebagai berikut:

$$\log X = \overline{\log X} + k \overline{S \log X}$$
 (2-11)

Harga-harga k dapat dilihat dari Tabel 2.3 dan 2.4 dengan tingkat peluang atau periode tertentu sesuai dengan nilai CS nya.

Mencari anti log X untuk mendapatkan debit banjir dengan waktu balik yang dikehendaki.

Tabel 2.3. Nilai Cs Negatif distribusi Log Pearson Type III

T (th)	1.0101	2	5	10	20	25	50	100	200	1000
Cs:P(%)	99	50	20	10	C5	4 ^	2	1	0.5	0.1
				$\preceq XA \mid \land$	(iii)					
0	-2.326	0.000	0.842	1.282	1.595	1.751	2.054	2.326	2.576	3.090
-0.1	-2.400	0.017	0.846	1.270	1.567	1.716	2.000	2.252	2.482	2.950
-0.2	-2.472	0.033	0.850	1.258	1.539	1.680	1.945	2.178	2.308	2.810
-0.3	-2.544	0.050	0.853	1.245	1.510	1.643	1.890	2.104	2.291	2.670
-0.4	-2.615	0.066	0.855	1.231	1.481	1.606	1.834	2.029	2.201	2.530
-0.5	-2.606	0.083	0.856	1.216	1.450	1.567	1.777	1.955	2.108	2.400
-0.6	-2.755	0.099	0.857	1.200	1.419	1.528	1.720	1.880	2.016	2.270
-0.7	-2.824	0.116	0.857	1.183	1.386	1.488	1.663	1.806	1.926	2.140
-0.8	-2.021	0.132	0.856	1.166	1.354	1.448	1.606	1.733	1.837	2.020
-0.9	-2.057	0.140	0.854	1.147	1.320	1.407	1.549	1.660	1.749	1.900
-1.0	-3.022	0.164	0.852	1.170	1.301	1.366	1.492	1.508	1.664	1.790

Tabel 2.4. Nilai Cs Positif distribusi Log Pearson Type III

					7	12.12				
T (th)	1.0101	2	5	10	20	25	50	100	200	1000
Cs:P(%)	99	50	20	10	5	4	2	1	0.5	0.1
						7 11 14				
0.0	-2.326	0.000	0.842	1.282	1.595	1.751	2.045	2.376	2.576	3.090
0.1	-2.252	0.017	0.836	1.297	1.622	1.785	2.107	2.400	2.670	3.230
0.2	-2.170	0.033	0.830	1.301	1.646	1.818	2.159	2.472	2.763	3.380
0.3	-2.130	0.050	0.824	1.309	1.669	1.849	2.211	2.544	2.856	3.520
0.4	-2.029	0.066	0.816	1.317	1.692	1.880	2.261	2.615	2.947	3.670
0.5	-1.955	0.083	0.808	1.323	1.714	1.910	2.311	2.606	3.041	3.810
0.6	-1.880	0.079	0.800	1.328	1.735	1.939	2.359	2.755	3.132	3.960
0.7	-1.806	0.116	0.790	1.333	1.756	1.967	2.407	2.824	3.223	4.100
0.8	-1.733	0.132	0.780	1.336	1.774	1.993	2.453	2.891	3.312	4.240
0.9	-1.660	0.148	0.769	1.339	1.792	2.018	2.498	2.957	3.401	4.390
1.0	-1.588	0.164	0.758	1.340	1.809	2.043	2.542	3.022	3.489	4.530
1.1	-1.518	0.180	0.745	1.341	1.824	2.066	2.585	3.087	3.575	4.670

Sumber: CD Soemarto, Hidrologi Teknik

2.2.5. Uji Kesesuaian Distribusi

Uji kesesuaian distribusi ini dimaksudkan untuk mengetahui apakah distribusi yang dipilih dapat digunakan atau tidak untuk serangkaian data yang tersedia. Dalam studi ini, untuk keperluan analisis uji kesesuaian distribusi diperlukan dua metode statistik, yaitu *Uji Chi Square* dan *Uji Smirnov Kolmogorov*. 2.2.5.1. Uji Chi-Square

Uji Chi Square digunakan untuk menguji simpangan secara vertikal apakah distribusi pengamatan dapat diterima oleh distribusi teoritis.

Perhitungannya dengan menggunakan persamaan (Soewarno, 1995: 194)

$$x_h^2 = \sum_{i=1}^G \frac{(O_i - E_i)^2}{E_i}$$
 (2-12)

dengan:

= parameter chi-kuadrat terhitung

= jumlah sub-kelompok

= jumlah nilai pengamatan pada sub-kelompok ke-i O_i

jumlah nilai teoritis pada sub-kelompok ke-i E_{i}

Prosedur perhitungannya adalah:

- Urutkan data pengamatan dari kecil ke besar
- Kelompokkan data menjadi G sub group
- Jumlahkan data pengamatan sebesar O_i tiap-tiap sub group
- 4. Jumlahkan data dari persamaan distribusi yang digunakan sebesar E_i
- Tiap-tiap sub group hitung nilai:

$$(O_i - E_i)dan \frac{(O_i - E_i)^2}{E_i}$$

6. Jumlah seluruh G sub group nilai $\frac{(O_i-E_i)^2}{E_i}$ untuk menentukan nilai *Chi-Kuadrat* hitung

Tabel 2.5. Harga untuk Chi-Kuadrat Test

Derajat Bebas (g)	0.200	0.100	0.050	0.010	0.001
	MU		MAT	1324	Tibe
1	1.642	2.706	3.841	6.635	10.827
2	3.219	4.605	5.991	9.210	13.815
3	4.642	6.251	7.815	11.345	16.268
4	5.989	7.779	9.488	13.277	18.465
5	7.289	9.236	11.070	15.086	20.517
6	8.558	10.645	12.592	16.812	22.457
7	9.803	12.017	14.067	18.475	24.322
8	11.030	13.362	15.507	20.090	26.125
9	12.242	14.987	16.919	21.666	27.877
10	13.442	15.987	18.307	23.209	29.588
11	14.631	17.275	19.675	24.725	31.264
12	15.812	18.549	21.026	26.217	32.909
13	16.985	19.812	22.362	27.688	34.528
14	18.151	21.064	23.685	29.141	36.123
15	19.311	22.307	24.996	30.578	37.697
16	20.465	23.542	26.296	32.000	39.252
17	21.615	24.769	27.587	33.409	40.790
18	22.760	25.989	28.869	34.805	42.312
19	23.900 /	27.204	30.144	36.191	43.820
20	25.038	28.412	31.410	37.566	45.315

Sumber : Soewarno, 1995 : 223

2.2.4.2.Uji Smirnov Kolmogorof

Uji Smirnov Kolmogorov digunakan untuk menguji kesesuaian distribusi secara horisontal dari probabilitas. Rumus yang digunakan adalah (Soewarno, 1995 : 199) :

$$D = maksimum |P(Xm) - P'(Xm)|$$
 (2-13)

dengan:

D = selisih terbesar antara peluang pengamatan dengan peluang teoritis

P(Xm) = peluang pengamatan

P'(Xm) = peluang teoritis dari persamaan distribusi yang dipakai

Dengan pemeriksaan uji ini akan diketahui:

- 1. Kebenaran antara hasil pengamatan dengan model distribusi yang diharapkan atau yang diperoleh secara teoritis.
- 2. Kebenaran hipotesa diterima atau ditolak.

Uji kesesuaian Smirnov-Kolmogorov, sering juga disebut uji kecocokan non parametrik (non parametric test), karena pengujiannya tidak menggunakan fungsi distribusi tertentu.

Prosedurnya adalah sebagai berikut:

- 1. Urutkan data (dari besar ke kecil atau sebaliknya) dan juga besarnya peluang dari masing-masing data tersebut (P(Xm))
- 2. Tentukan nilai masing-masing peluang teoritis dari hasil penggambaran data (persamaan distribusinya) P'(Xm)
- 3. Dari kedua nilai peluang ditentukan selisih terbesarnya antara peluang pengamatan dengan peluang teoritis

D = maksimum |P(Xm) - P'(Xm)|

4. Berdasarkan tabel nilai kritis (Smirnov-Kolmogorov Test), lihat Tabel 2.7. bisa tentukan harga Do.

Apabila D < Do maka distribusi teoritis yang digunakan untuk menentukan persamaan distribusi dapat diterima, apabila D lebih besar dari Do maka distribusi teoritis yang digunakan untuk menentukan persamaan distribusi tidak dapat diterima.

Tabel 2.6. Nilai kritis Do untuk uji Smirnov-Kolmogorov

				/ /						
N		a (derajat kepercayaan)								
14	0.200	0.100	0.050	0.010						
5										
10	0.450	0.510	0.560	0.670						
15	0.320	0.370	0.410	0.490						
20	0.270	0.300	0.340	0.400						
25	0.230	0.260	0.290	0.360						
30	0.210	0.240	0.270	0.320						
35	0.190	0.220	0.240	0.290						
40	0.180	0.200	0.230	0.270						
45	0.170	0.190	0.210	0.250						
50	0.160	0.180	0.200	0.240						
PA	0.150	0.170	0.190	0.230						
n > 50	<u>1.07</u>	<u>1.22</u>	<u>1.36</u>	1.63						
	n ^{0,5}	n ^{0,5}	$n^{0,5}$	$n^{0,5}$						

Sumber: Soewarno, 1995: 199

2.3. Analisa Debit Banjir Rancangan

2.3.1. Koefisien Pengaliran

Pada saat hujan turun sebagian akan meresap ke dalam tanah dan sebagian lagi akan menjadi limpasan permukaan. Koefisien pengaliran (C) adalah suatu variabel untuk menentukan besarnya limpasan permukaan tersebut dimana penentuannya didasarkan pada kondisi Daerah Aliran Sungai dan kondisi hujan yang jatuh di daerah tersebut. Angka koefisien pengaliran ini merupakan suatu indikator untuk menentukan apakah

suatu DAS telah mengalami gangguan (Asdak, 2001 :157). Nilai C yang besar menunjukkan bahwa lebih banyak air hujan yang menjadi air limpasan. Hal tersebut kurang menguntungkan karena besarnya air yang akan menjadi air tanah akan berkurang. Kerugian lainnya adalah dengan semakin besarnya jumlah air hujan yang melimpas, maka ancaman terjadinya erosi dan banjir menjadi lebih besar.

Besarnya nilai koefisien pengaliran pada suatu daerah aliran sungai dipengaruhi oleh kondisi karakteristik, seperti :

- Kondisi hujan
- b. Luas dan bentuk daerah pengaliran
- c. Kemiringan daerah aliran dan kemiringan dasar sungai
- d. Daya infiltrasi dan perkolasi tanah
- e. Suhu udara dan angin serta evaporasi
- f. Tata guna lahan

Apabila tataguna lahan suatu daerah termasuk campuran, maka nilai tetapan C harus diberi bobot (weighted) untuk memperoleh nilai rata-rata tertimbang (Asdak, 2001:165):

$$C_{tertimbang} = \sum_{i=1}^{n} \frac{A_i \cdot C_i}{A_i}$$
 (2-14)

dengan:

luas daerah

koefisien limpasan

Tabel 2.7. Nilai Koefisien Pengaliran

Tataguna lahan	c c			Tataguna lahan	C		
Perkantoran		F		Tanah Lapang		5	RE
Daerah pusat kota	0.70	7.1	0.95	Berpasir, datar 2%	0.05	2	0.10
Daerah sekitar kota	0.50	-	0.70	Berpasir, agak rata, 2-7%	0.10	7	0.15
Perumahan				Berpasir, miring 7%	0.15	+9	0.20
Rumah tunggal	0.30	-	0.50	Tanah berat, datar 2%	0.13	(-)	0.17
Rumah susun, terpisah	0.40	-	0.60	Tanah berat, agak rata 2-7%	0.18	1	0.22
Rumah susun, bersambung	0.60	-	0.75	Tanah berat, miring 7%	0.25	V.	0.35
Pinggiran kota	0.25	-	0.40	Tanah Pertanian	41		
Daerah Industri				Tanah kosong			
Kurang padat industri	0.50	-	0.80	Rata	0.30	4	0.60
Padat industri	0.60	-	0.90	Kasar	0.20	-	0.50
Taman, Kuburan	0.10	-	0.25	Ladanga garapan			
Tempat bermain	0.20	-	0.35	Tanah berat, tanpa vegetasi	0.30	-	0.60
Daerah stasiun KA	0.20	-	0.40	Tanah berat, dengan vegetasi	0.20	-	0.50
Daerah tak berkembang	0.10	-	0.30	Berpasir, tanpa vegetasi	0.20	-	0.25
Jalan Raya				Berpasir, dengan vegetasi	0.10	-	0.25
Beraspal	0.70	Ā	0.95	Padang rumput			
Berbeton	0.80	$\not \hookrightarrow \not \subset$	0.95	Tanah berat	0.15	-	0.45
Berbatu bata	0.70	7	0.85	Berpasir	0.05	2	0.25
Trotoar	0.75	な	0.85	Hutan/bervegetasi	0.05	-	0.25
Daerah beratap	0.75) -)/	0.95	Tanah Tidak Produktif, >30%	0.70	-	0.90
	M)	Y		Rata, kedap air	0.50	-	0.70
			7 ,	Kasar			

Sumber: Asdak, 2001: 164

2.3.2. Intensitas Hujan

2.3.2.1.Sebaran Hujan Jam-jaman

Berdasarkan hasil pengamatan data sebaran hujan di Indonesia, hujan terpusat tidak lebih dari 7 (tujuh) jam, maka dalam perhitungan ini diasumsikan hujan terpusat maksimum adalah 6 (enam) jam sehari. Sebaran hujan jam-jaman dihitung dengan menggunakan rumus Monobe sebagai berikut:

$$R_{t} = \frac{R_{24}}{t} \left[\frac{t}{T} \right]^{2/3} \tag{2-15}$$

$$R_T = t.R_t - (t-1)R_{t-1}$$
 (2-16)

dengan:

intensitas curah hujan rerata sampai jam ke-T (mm/jam) Rt

curah hujan harian yaitu curah hujan dalam 24 jam (mm) R_{24}

waktu konsentrasi hujan (jam)

T waktu mulai hujan sampai jam ke T (jam)

 R_T intensitas curah hujan pada jam ke T (mm/jam)

2.3.2.2.Curah Hujan Netto Jam-jaman

Hujan netto adalah bagian hujan total yang menghasilkan limpasan langsung (direct run-off). Limpasan langsung ini terdiri dari limpasan permukaan (surface run-off) dan interflow (air yang masuk ke dalam lapisan tipis di bawah permukaan tanah dengan permeabilitas rendah yang keluar lagi di tempat yang lebih rendah dan berubah menjadi limpasan permukaan).

Besarnya curah hujan netto R_n dapat dinyatakan sebagai berikut:

$$R_n = C.R \tag{2-17}$$

dengan:

hujan netto (mm/hari) R_n

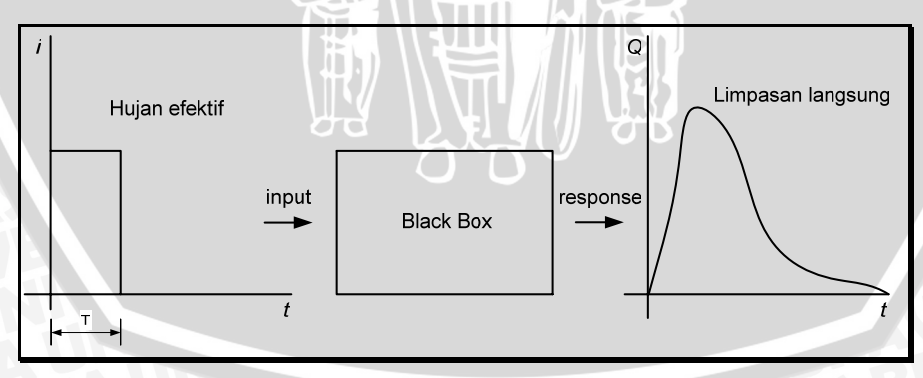
C koefisien pengaliran

SBRAWIU = curah hujan harian maksimum rancangan (mm/hari) R

2.3.3. Debit Banjir Rancangan

Teori hidrograf satuan merupakan penerapan teori sistem linear dalam hidrologi. Watershed dipandang sebagai black box dan sistemnya ditandai oleh tanggapan (response) Q terhadap input tertentu. Inputnya adalah hujan merata, yaitu hujan dengan intensitas konstan sebesar i dan durasi T yang terbagi rata di atas watershed.

Hidograf satuan suatu watershed adalah suatu limpasan langsung yang diakibatkan oleh suatu satuan volume hujan efektif, yang terbagi rata dalam waktu dan ruang.



Gambar 2.5. Hubungan antara hujan efektif dengan limpasan langsung Sumber: Soemarto, CD, 1987: 165

Debit banjir rancangan adalah debit maksimum yang mungkin terjadi pada suatu daerah dengan peluang kejadian tertentu. Untuk menaksir besarnya banjir rancangan dapat digunakan hidrograf satuan sintetis dengan menggunakan hidrograf banjir pada sungai yang bersangkutan terlebih dahulu. Pada kajian ini debit banjir dihitung dengan menggunakan metode hidrograf satuan sintetik Nakayasu. Nakayasu telah menurunkan rumus hidrograf satuan sintetis berdasarkan hasil pengamatan dan penelitian berulang kali diterapkan pada daerah aliran sungai di Pulau Jawa dan hingga saat ini hasilnya cukup memuaskan. Penggunaan metode ini memerlukan beberapa karakteristik parameter daerah alirannya sebagai berikut :

- a. Tenggang waktu dari permulaan hujan sampai puncak hidrograf (time of peak)
- b. Tenggang waktu dari titik berat hujan sampai titik berat hidrograf (time lag)
- c. Tenggang waktu hidrograf (time base of hydrograph)
- d. Luas daerah tangkapan air
- e. Panjang alur sungai utama terpanjang (length of the longest channel)
- f. Koefisien pengaliran.

Besarnya nilai debit puncak hidrograf satuan dihitung dengan rumus (Soemarto, 1987 : 166) :

$$Q_{p} = \frac{(CA).R_{o}}{3.6(0.3T_{p} + T_{0,3})}$$
(2-18)

dengan:

 Q_p = Debit puncak banjir (m³/det)

R_o = Hujan satuan (mm)

T_p = Tenggang waktu dari permulaan hujan sampai puncak banjir (jam)

T_{0,3} = Waktu yang diperlukan oleh penurunan debit, dari puncak sampai 30% dari debit puncak

C.A = Luas daerah tangkapan sampai outlet (km^2)

Untuk menentukan T_p dan T_{0,3} digunakan pendekatan rumus sebagai berikut :

$$T_p = tg + 0.8 t_r$$
 (2-19)

$$T_{0,3} = \alpha tg (2-20)$$

$$t_r = 0.5 \text{ tg sampai tg}$$
 (2-21)

tg adalah time lag yaitu waktu antara hujan sampai debit puncak banjir (jam). tg dihitung dengan ketentuan sebagai berikut :

- Sungai dengan panjang alur L > 15 km :

$$tg = 0.4 + 0.058 L \tag{2-22}$$

- Sungai dengan panjang alur L < 15 km :

$$tg = 0.21 L^{0.7}$$
 (2-23)

dengan:

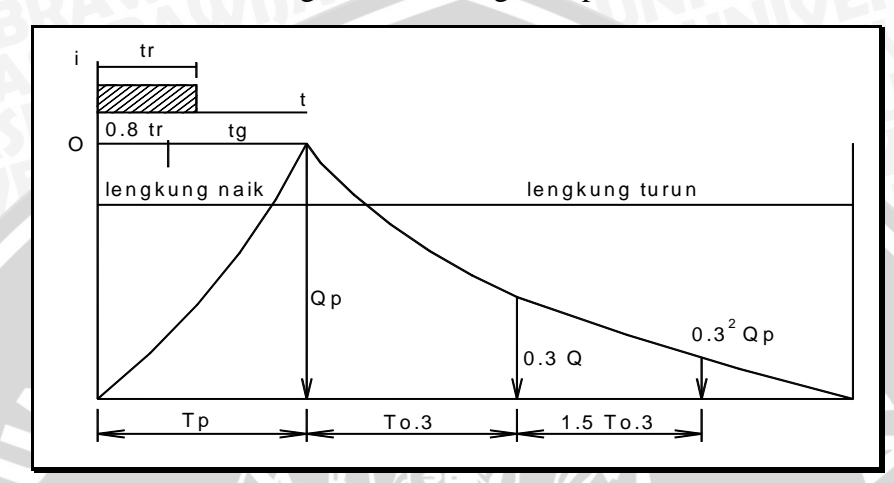
tr = Satuan Waktu hujan (jam)

 α = Parameter hidrograf, untuk

 $\alpha = 2$ \longrightarrow Pada daerah pengaliran biasa

 $\alpha = 1.5$ Pada bagian naik hidrograf lambat, dan turun cepat

 $\alpha = 3$ Pada bagian naik hidrograf cepat, turun lambat



Gambar 2.6. Bentuk Hidrograf Satuan Sintetik Metode Nakayasu Sumber : Soemarto, CD, 1987 : 168

1. Pada waktu naik : $0 < t < T_p$

$$Q_p = (\frac{t}{T_p})^{2,4} Q_{(t)}$$
 (2-24)

dengan:

 $Q_{(t)}$ = Limpasan sebelum mencari debit puncak (m³)

t = Waktu (jam)

2. Pada kurva turun (decreasing limb)

a. Selang nilai : $Tp \le t \le (T_p + T_{0,3})$

$$Q_{(t)} = Q_p.0,3^{\frac{(t-T_p)}{T_{0,3}}}$$
 (2-25)

b.Selang nilai: $(T_p+T_{0,3}) \le t \le (T_p+T_{0,3}+1.5 T_{0,3})$

$$Q_{(t)} = Q_p.0.3^{\frac{(t-T_p+1.5T_{0,3})}{1.5T_{0,3}}}$$
(2-26)

c. Selang nilai : $t > (T_p + T_{0,3} + 1.5 T_{0,3})$

$$Q_{(t)} = Q_p.0,3^{\frac{(t-Tp+1,5T_{0,3})}{2.0T_{0,3}}}$$
(2-27)

BRAWIJAYA

Rumus tersebut diatas merupakan rumus empiris, maka penerapannya terhadap suatu daerah aliran harus didahului dengan suatu pemilihan parameter-parameter yang sesuai yaitu Tp dan α , dan pola distribusi hujan agar didapatkan suatu pola hidrograf yang sesuai dengan hidrograf banjir yang diamati.

Hidrograf banjir dihitung dengan persamaan sebagai berikut :

$$Qk = \sum_{i=1}^{n} U_i \cdot P_{n-(i-1)}$$
(2-28)

dengan:

 Q_k = Debit Banjir pada jam ke - k

 U_i = Ordinat hidrograf satuan (I = 1, 2, 3 ...n)

 P_n = Hujan netto dalam waktu yang berurutan (n = 1,2,..n)

 B_f = Aliran dasar (base flow)

2.3.4. Penelusuran Banjir

Penelusuran banjir adalah peramalan hidrograf di suatu titik pada suatu aliran atau bagian sungai yang didasarkan atas pengamatan hidrograf di titik lain. Penelusuran banjir dalam studi ini menggunakan metode Muskingum, yang hanya berlaku pada kondisi sebagai berikut :

- a. Tidak ada anak sungai yang masuk ke dalam bagian memanjang alur sungai yang ditinjau.
- b. Penambahan atau kehilangan air oleh curah hujan, aliran masuk atau keluar air tanah dan evaporasi, kesemuanya ini diabaikan.

Persamaan kontinuitas yang umum dipakai dalam penelusuran banjir adalah sebagai berikut (Soemarto, CD, 1987:176) :

$$I - Q = \frac{dS}{dt} \tag{2-29}$$

dengan:

- I = debit yang masuk ke dalam permulaan bagian memanjang palung sungai yang ditinjau (m³/dt)
- Q = debit yang keluar dari akhir bagian memanjang palung sungai yang ditinjau (m³/dt)
- S = besarnya tampungan (*storage*) dalam bagian memanjang palung sungai yang ditinjau (m³)

Jika periode penelusurannya diubah dari dt menjadi Δt maka :

$$I = \frac{I_1 + I_2}{2} \tag{2-30}$$

$$Q = \frac{Q_1 + Q_2}{2} \tag{2-31}$$

$$dS = S_2 - S_1 (2-32)$$

Sehingga rumus () dapat diubah menjadi:

$$I = \frac{I_1 + I_2}{2} + Q = \frac{Q_1 + Q_2}{2} = S_2 - S_1$$
 (2-33)

dimana indeks-indeks 1 merupakan keadaan pada saat permulaan periode penelusuran, dan indeks-indeks 2 merupakan keadaan pada akhir periode penelusuran.

Hubungan antara besarnya penampungan S dan debit Q dapat dinyatakan dengan persamaan sebagai berikut:

$$S = k.Q \tag{2-34}$$

Untuk angka perbandingan aliran masuk dan aliran keluar yang mempengaruhi besarnya penampungan itu berturut-turut x dan (1-x), maka:

$$S = K[x.I + (1-x).Q]$$
 (2-35)

Pada sungai alam 0<x<0,5 biasanya harga x bekisar antara 0,1 dan 0,3.

Untuk permulaan dan akhir waktu t dan besarnya tampungan adalah S1 dan S2, maka :

$$S_1 = K[x.I_1 + (1-x).Q_1]$$
 (2-36)

$$S_2 = K[x.I_2 + (1-x).Q_2]$$
 (2-37)

Dengan menggabungkan kedua persamaan di atas maka didapat :

$$Q_2 = c_0 I_2 + c_1 I_1 + c_2 Q_1 (2-38)$$

dengan:

$$c_0 = -\frac{kx - 0.5t}{k - kx + 0.5t} \tag{2-39}$$

$$c_1 = \frac{kx - 0.5t}{k - kx + 0.5t} \tag{2-40}$$

$$c_2 = \frac{k - kx - 0.5t}{k - kx + 0.5t} \tag{2-41}$$

$$c_0 + c_1 + c_2 = 1 (2-42)$$

k adalah koefisien penampungan yang besarnya kira-kira sama dengan waktu perpindahan banjir dan dinyatakan dalam rumus :

$$k = \frac{L}{V} \tag{2-43}$$

dengan:

k = waktu perpindahan banjir (jam)

L = panjang sungai (km)

BRAWINA V = kecepatan perambatan banjir (m/dt)

2.4. **Analisa Profil Aliran**

Elevasi muka air pada alur sungai perlu dianalisis untuk mengetahui pada bagian (section) manakah terjadi luapan pada alur sungai, sehingga dapat ditentukan dimensi untuk perbaikan sungai.

Sebagai alat bantu untuk menganalisa profil muka air digunakan program HEC-RAS versi 3.1.3 untuk kondisi aliran steady (tanpa pengaruh bangunan) dan unsteady (dengan pengaruh bangunan). Paket model HEC RAS adalah salah satu model yang dikeluarkan oleh U.S. Army Corps of Engineers River Analysis System (HEC-RAS) yang di susun oleh Hydrologic Engineering Center. Software ini memiliki kemampuan penggunaan: perhitungan jenis aliran steady flow dan unsteady flow satu dimensi, dan sedimen transport yang akan ditambahkan pada versi berikutnya (new version).

Pada software HEC-RAS ini, dapat ditelusuri kondisi air sungai dalam pengaruh hidrologi dan hidrolikanya, serta penanganan sungai lebih lanjut sesuai kebutuhan. Dari hasil analisa tersebut dapat diketahui ketinggian muka air dan limpasan apabila kapasitas tampungan sungai tidak mencukupi.

Secara umum HEC-RAS dapat dipakai untuk menghitung aliran tunak berubah perlahan dengan penampang saluran prismatik atau non – prismatik, baik untuk aliran sub-kritis maupun super-kritis. Di samping itu HEC-RAS juga dapat dipakai untuk menghitung saluran gabungan (compound channels).

Umumnya pada beberapa lokasi di sungai atau saluran ada bangunan air seperti pilar jembatan, gorong-gorong, bendung dll. Kita sudah mengetahui bahwa aliran sungai di sekitar bangunan air mengalami perubahan dari aliran seragam, aliran berubah cepat dan aliran berubah perlahan dengan perubahan aliran tergantung dari kondisi sungai tersebut. Artinya bisa aliran dari seragam ke aliran berubah cepat, dari aliran berubah perlahan ke aliran berubah cepat, dari aliran berubah cepat ke aliran seragam atau aliran berubah perlahan yang kesemuanya ini tergantung dari situasi dan kondisi aliran sungai/saluran yang ditinjau.

Paket program HEC-RAS dapat menghitung profil muka air dengan proses iterasi dari data masukan yang sudah kita olah sesuai dengan kriteria dan standar yang diminta oleh paket program ini.

Sistem HEC-RAS meliputi tiga perhitungan analisa hidrolik satu dimensi yaitu :

- a. Perhitungan profil muka air steady flow (steady flow water surface profile computation)
- b. Unsteady flow analysis
- c. Analisa movable boundary sediment transport.

Element yang dibutuhkan untuk ke tiga perhitungan tersebut diatas adalah data geometri dan data hidrolik.

2.4.1. Persamaan Energi

Persamaan energi digunakan sebagai dasar perhitungan untuk aliran steady dalam saluran terbuka, diberikan oleh persamaan berikut ini :

$$h_1 + \alpha_1 \frac{U_1}{2g} + z_1 = h_2 + \frac{U_2^2}{2g} + z_2 + h_f + h_e$$
 (2-44)

dengan:

g = percepatan gravitasi (m³/dt)

h_f = kehilangan tinggi akibat gesekan (m)

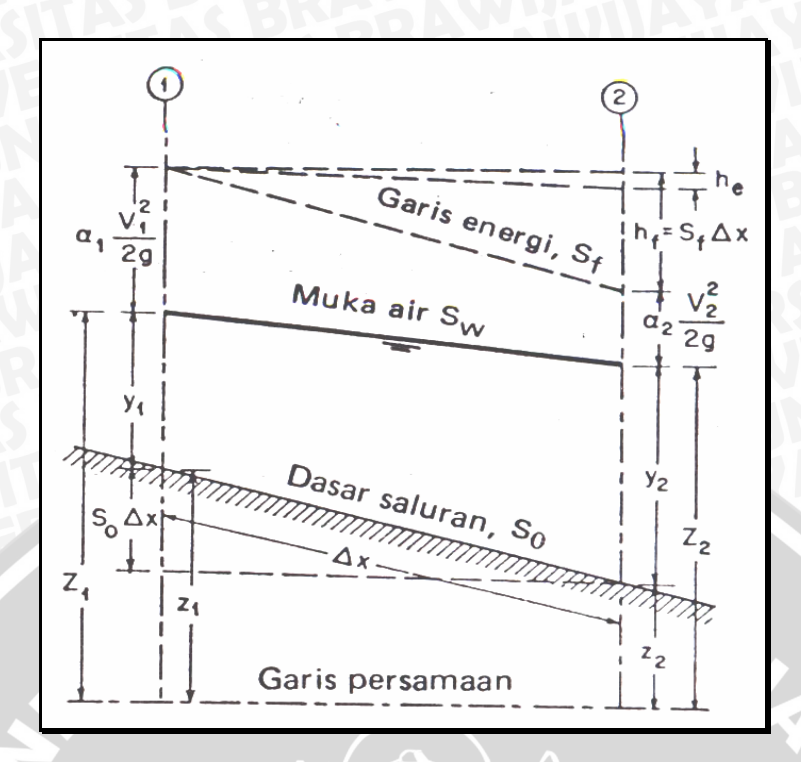
 h_e = kehilangan tinggi akibat perubahan penampang (m)

U = kecepatan rerata (m/dt)

 α = koefisien distribusi kecepatan

z = ketinggian air dari datum (m)

h = kedalaman air (m)



Gambar 2.7. Energi dalam saluran terbuka Sumber: Chow, 1997: 239

2.4.2. Kehilangan Tinggi Energi

Kehilangan tinggi energi pada penampang sungai diakibatkan oleh gesekan dan perubahan penampang. Kehilangan akibat gesekan dievaluasi sebagai hasil dari kemiringan garis energi S_f dan panjang L, seperti terlihat pada persamaan berikut :

$$h_f = L.\overline{S_f} \tag{2-45}$$

$$S_f = \left(\frac{Q}{K}\right)^2 \tag{2-46}$$

$$\overline{S_f} = \frac{S_{f1} + S_{f2}}{2} \tag{2-47}$$

dengan:

kehilangan energi akibat gesekan (m) $h_{\rm f}$

jarak antar sub bagian (m) L

kemiringan garis energi (friction slope) $S_{\rm f}$

K pengangkutan aliran tiap sub bagian

debit air (m³/dt) Q

Adapun kehilangan tinggi energi akibat perubahan diakibatkan oleh dua kejadian, yaitu kontraksi dan ekspansi. Kontraksi dan ekspansi terjadi akibat back water yang disebabkan perubahan penampang atu perubahan kemiringan dasar saluran yang sangat curam sekali. Kehilangan tinggi energi akibat kontraksi dan ekspansi dapat dihitung dengan menggunakan persamaan sebagai berikut :

$$h_c = C \left| \frac{\alpha_2 \cdot v_2^2}{2g} - \frac{\alpha_1 \cdot v_1^2}{2g} \right| \tag{2-48}$$

dengan:

C = koefisien akibat kehilangan tinggi kontraksi dan ekspansi

Program ini mengasumsikan bahwa kontraksi terjadi jika kecepatan di hilir lebih tinggi jika dibandingkan dengan kecepatan di hulu, sedangkan ekspansi terjadi jika kecepatan di hilir lebih tinggi jika dibandingkan dengan kondisi di hulu.

2.4.3. Pengangkutan Aliran

Penentuan pengangkutan aliran total dan koefisien kecepatan untuk suatu penampang melintang mengharuskan aliran dibagi menjadi bagian-bagian dimana kecepatan tersebut akan didistribusikan secara merata. Pendekatan yang digunakan dalam program ini adalahmembagi aliran di daerah pinggir sungai dengan menggunakan nilai kekasaran n sebagai dasar pembagian penampang melintang.

Pengangkutan aliran K_{j} dihitung berdasarkan persamaan sebagai berikut :

$$K_j = \frac{1,49}{n_j} A_j R_j^{2/3} \quad \text{(dalam satuan Inggris)}$$
 (2-49)

$$K_{j} = \frac{1}{n_{j}} A_{j} R_{j}^{2/3} \qquad \text{(dalam satuan Metrik)}$$
 (2-50)

Dalam program ini penambahan pengangkutan di daerah pinggir sungai akan dijumlahkan untuk mendapatkan pengangkutan di bagian samping kanan dan kiri sungai. Pengangkutan di bagian utama saluran dihitung sebagai elemen pengangkutan tunggal, sedangkan pengangkutan total pada penampang melintang didapatkan dengan menjumlahkan pengangkutan di tiga bagian (kiri, tengah, dan kanan).

$$K_t = \sum_{i=1}^n K_j \tag{2-51}$$

dengan:

n = jumlah sub bagian pada suatu penampang melintang sungai

2.4.4. Koefisien Kekasaran

Aliran pada suatu penampang melintang tidak dibagi menjadi beberapa sub bagian, kecuali terjadi perubahan pada area saluran utama. Program ini akan menerapkan dalam perhitungan penampang melintang. Jika tidak dapat diterapkan, maka akan dihitung satu nilai kekasaran untuk seluruh bagian sungai. Untuk perhitungan n komposit, saluran utama dibagi menjadi beberapa bagian (n), dimana pada setiap sub bagian diketahui parameter basah P_i dan koefisien kekasarannya n_i .

$$n_{c} = \left| \frac{\sum_{i=1}^{n} P_{i} n_{i}^{1.5}}{P} \right|^{2/3}$$

$$\vdots$$

$$n_{c} = \text{koefisien kekasaran komposit}$$

$$P = \text{parameter basah untuk saluran utama}$$

$$(2-52)$$

dengan:

n_c = koefisien kekasaran komposit

P = parameter basah untuk saluran utama

P_i = parameter basah untuk sub bagian ke-i

n_i = koefisien kekasaran untuk sub bagian ke-i

2.4.5. Persamaan Kontinuitas

Dasar persamaan kontinuitas unsteady flow pada saluran terbuka diturunkan pada persamaan berikut (Raju, Rangga, K.G, 1986:9):

$$\frac{dQ}{dx} + \frac{dA}{dt} = 0 {(2-53)}$$

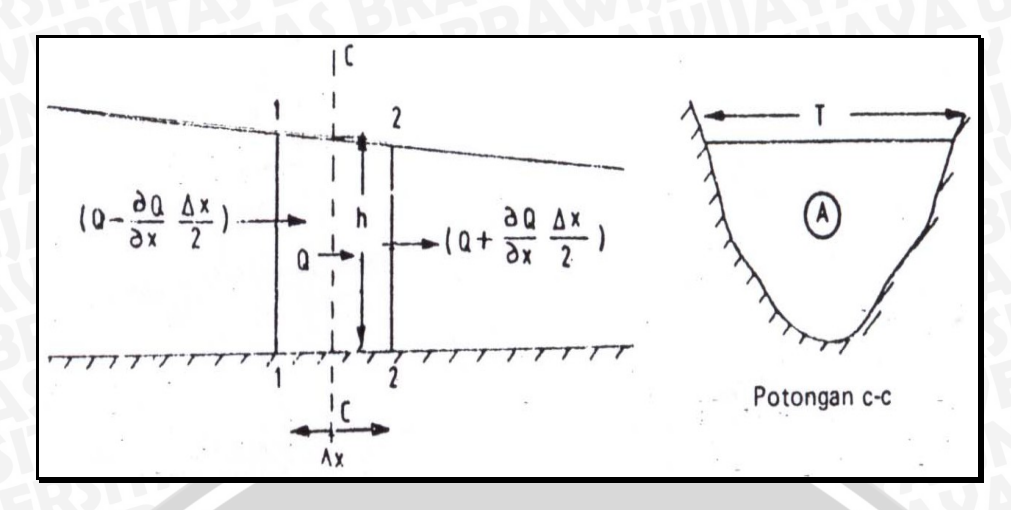
dengan:

= $debit (m^3/dt)$ Q

= panjang pias (m)

= luas penampang (m²) A

= waktu (detik)



Gambar 2.8. Kontinuitas aliran tak tetap Sumber: Raju, Rangga, K.G, 1986: 9

Persamaan Momentum

Persamaan momentum menyatakan bahwa pengaruh dari semua gaya luar terhadap volume kontrol dari cairan dalam setiap arah sama dengan besarnya perubahan momentum dalam arah tersebut (Raju, 1986: 11):

$$\sum F_x = \rho \cdot Q \cdot \Delta U \tag{2-54}$$

$$W\sin\theta + P_1 - P_2 - F_f - Fa = \rho \cdot Q(U_2 - U_1)$$
 (2-55)

dengan:

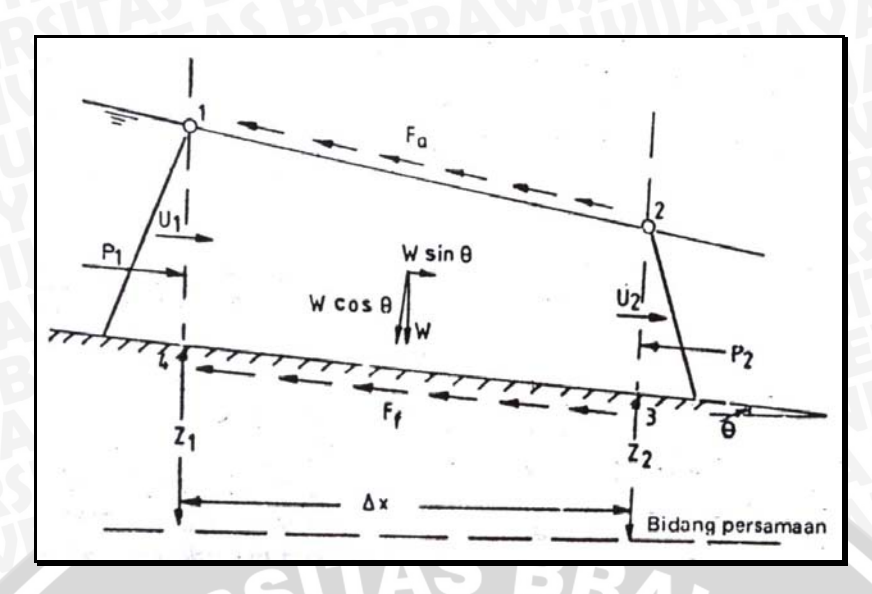
 P_1 dan P_2 = muatan hidrostatis pada potongan 1 dan 2

W = berat volume kontrol

 θ = kemiringan dasar terhadap garis mendatar

 $F_{\rm f}$ gesekan batas terhadap panjang Δx

 F_{a} tahanan udara pada permukaan bebas



Gambar 2.9. Prinsip momentum pada saluran terbuka Sumber : Raju, 1986 : 10

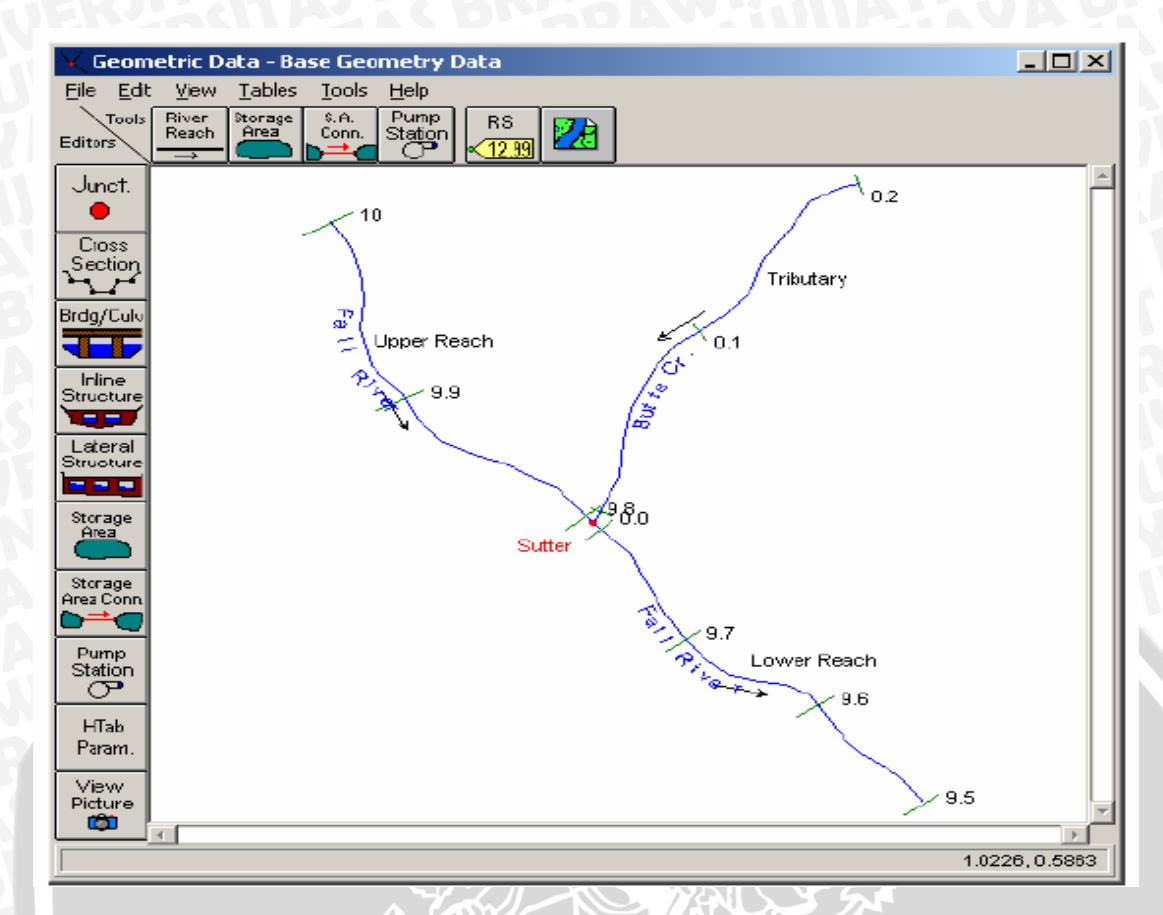
2.4.7. Geometri Data

Data utama yang dibutuhkan pada suatu sistem sungai antara lain data potongan melintang sungai, jarak antara potongan melintang (panjang jangkauan), koefisien kehilangan energi, dan data pada percabangan sungai.

2.4.7.1.Skema Sistem Sungai

Skema sungai menggambarkan berbagai variasi jangkauan sungai yang saling berhubungan. Pada program ini, skema sistem sungai merupakan data awal yang dibutuhkan sebelum data lain dimasukkan.

Setiap penampang sungai pada skema sistem sungai diberi nama stasiun sebagai identifikasi yang dapat berupa nama sungai dan nomor stasiun dimana penampang melintang sungai itu berada.



Gambar 2.10. Data geometri pada HEC-RAS

a. Koefisien Kekasaran Manning

Untuk menentukan angka kekasaran Manning dihitung berdasarkan kondisi sungai. Angka kekasaran Manning tersebut ditentukan berdasarkan rumus COWAN (Chow, 1997 : 96)

$$n = m (n_b + n_1 + n_2 + n_3 + n_4)$$
 (2-56)

dengan:

 n_b = nilai dasar untuk saluran lurus, seragam dan alamiah menurut bahan-bahan alamiah yang dikandungnya

 n_1 = nilai untuk koreksi efek ketidakteraturan permukaan

 $n_2 = nilai untuk variasi bentuk dan ukuran penampang saluran$

 n_3 = nilai untuk hambatan

 n_4 = nilai untuk kondisi tetumbukan dan aliran

m = faktor koreksi untuk belokan-belokan saluran

Tabel 2.8. Nilai Koefisien Kekasaran Manning

Keadaan Salura	A	Nilai-nilai		
AYTOAUETO	Tanah		0.020	
Bahan pembentuk	Batu pecah	nb	0.025	
Bahan pembentak	Kerikil Halus	110	0.024	
DANCEMBER	Kerikil Kasar		0.028	
P. TORANGO III	Sangat kecil		0.000	
Derajat ketidakteraturan	Sedikit	n1	0.005	
Derajat ketidakteraturan	Sedang	111	0.010	
L'ATAZ SE P	Besar		0.020	
Vonicei nonomnono malintono	Bertahap		0.000	
Variasi penampang melintang saluran	Kadang berganti	n2	0.005	
Saturan	Sering berganti		0.010-0.015	
	Dapat diabaikan		0.000	
Efek relatif dari hambatan	Kecil	n3	0.010-0.015	
Lick relatif dan nambatan	Cukup	113	0.020-0.030	
	Besar		0.040-0.050	
	Rendah	$\overline{}$	0.005-0.010	
Tetumbuhan	Sedang	n4	0.010-0.025	
retumbunan	Tinggi		0.025-0.050	
	Sangat tinggi		0.050-0.100	
	Kecil	15)	1.000	
Derajat kelokan	Cukup	m	1.150	
	Besar	75	1.300	

Sumber: Chow, 1997: 98

Jarak jangkauan

Ukuran jarak antara potongan melintang diberikan dengan jarak jangkauan. Jarak jangkauan antar potongan melintang untuk saluran kiri, utama, dan kanan memiliki jarak yang sama pada sungai lurus. Namun ada beberapa kondisi dimana ketiga saluran tersebut memiliki jarak yang berbeda, misalnya pada belokan sungai.

c. Koefisien Kontraksi dan Ekspansi

Kontraksi dan ekspansi terjadi akibat back water yang disebabkan perubahan penampang atau perubahan kemiringan dasar saluran yang sangat curam sekali. Angka koefisien kontraksi dan ekspansi yang digunakan pada studi ini adalah angka koefisien untuk aliran subkritis dengan kondisi berubah berangsur-angsur (gradual transition) yaitu sebesar 0,1 dan 0,3.

Tabel 2.9. Koefisien Kontraksi dan Ekspansi untuk aliran Subkritis

Kondisi	Kontraksi	Ekspansi
No Transition Loss Computed	0.0	0.0
Gradual Transitions	0.1	0.3
Typical Bridge Section	0.2	0.5
Abrupt Transitions	0.3	0.8

2.4.7.2. Data Aliran Tetap (Steady Flow)

Data aliran ini diberikan untuk menampilkan perhitungan profil muka air. Data aliran ini terdiri dari : kondisi batas dan informasi debit puncak.

a. Kondisi Batas (Boundary Condition)

Kondisi batas diperlukan untuk menetapkan permukaan air pada akhir dari sistem sungai (hulu dan hilir). Terdapat empat macam kondisi batas :

1. Elevasi muka air yang diketahui

Kondisi batasnya merupakan elevasi muka air yang diketahui untuk setiap potongan melintang yang akan dihitung.

2. Kedalaman kritis

Jika kondisi batas ini yang dipilih, maka program akan menghitung kedalaman kritis untuk setiap potongan melintang dengan sendirinya dan akan menggunakannya sebagai kondisi batas.

3. Kedalaman normal

Untuk tipe kondisi batas ini, harus diketahui energi kemiringan yang akan digunakan pada perhitungan kedalaman kritis (menggunakan persamaan Manning). Pada umumnya energi kemiringan didapat dengan pendekatan rata-rata kemiringan saluran atau rata-rata kemiringan muka air pada penampang potongan melintang sungai.

4. Rating kurva

Kondisi batas yang digunakan adalah kurva hubungan antara debit dengan elevasi. Untuk setiap penampang melintang elevasi diperoleh dengan cara menginterpolasi dari rating kurva dengan memasukkan besarnya debit.

b. Informasi Debit Puncak

Informasi debit ini digunakan untuk menghitung profil muka air. Data debit yang dimasukkan mulai dari daerah hulu sampai daerah hilir untuk setiap jangkauan. Nilai

debit yang dimasukkan pada bagian hulu diasumsi akan konstan untuk penampang berikutnya kecuali nilai debit berubah untuk penampang tertentu.

2.4.7.3.Data Aliran Tak Tetap (Unsteady Flow)

Data aliran ini diberikan untuk menampilkan perhitungan profil muka air. Data aliran tak tetap ini terdiri dari : kondisi batas (*boundary conditions*) dan kondisi awal (*initial conditions*).

a. Kondisi Batas (Boundary Condition)

Kondisi batas diperlukan untuk menetapkan permukaan air pada akhir dari sistem sungai (bagian hulu dan hilir). Terdapat beberapa macam kondisi batas yang digunakan dalam analisa ini yaitu :

1. Flow Hydrograph

Kondisi batas ini dapat digunakan untuk dua kondisi baik kondisi batas hulu maupun kondisi batas hilir, akan tetapi pada umumnya digunakan kondisi batas hulu. Data yang dimasukkan berupa data debit.

2. Stage Hydrograph

Kondisi batas ini dapat digunakan untuk dua kondisi baik kondisi batas hulu maupun kondisi batas hilir. Data yang dimasukkan berupa data tinggi muka air.

3. Lateral Inflow Hydrograph

Hidrograf aliran lateral digunakan untuk kondisi batas internal. Kondisi batas ini dapat digunakan sebagai informasi adanya perubahan debit pada titik tertentu, yaitu dengan memasukkan hidrograf aliran lateral tepat pada bagian hulu sebelum aliran masuk.

b. Kondisi Awal (*Initial Conditions*)

Sebagai tambahan untuk kondisi batas, kita harus menetapkam suatu kondisi awal dari sistem pada saat akan memulai simulasi perhitungan unsteady flow. Kondisi awal terdiri atas informasi data aliran dan dalam versi ini kita hanya perlu memasukkan satu aliran untuk semua jangkauan (*reach*).

2.5. Sistem Pengendalian Banjir

2.5.1. Umum

Banjir merupakan suatu peristiwa meluapnya air dari badan sungai yang diakibatkan oleh kelebihan limpasan sehingga sungai tidak dapat lagi menampung seluruh air yang datang. Pengurangan kerugian akibat banjir dapat dilakukan jika penyebab banjir telah diketahui. Beberapa penyebab banjir antara lain dapat berupa :

- a. Intensitas curah hujan yang tinggi, sehingga kapasitas sungai tidak mampu lagi menampung debit dari air hujan tersebut.
- b. Adanya pertemuan anak-anak sungai dengan sungai utama.
- c. Morfologi sungai yang berkelok-kelok mengakibatkan air sungai tidak dapat segera mengalir ke hilir.
- d. Lokasi daerah aliran sungai yang terletak di daerah cekungan.
- e. Faktor kerusakan lingkungan, misalnya penggundulan hutan di daerah hulu, yang berfungsi sebagai daerah resapan air.

Upaya pengendalian banjir (*flood control*) untuk mengurangi pengaruh air yang berlebihan pada sungai tersebut dapat dilakukan dengan beberapa metode di bawah ini :

- a. Pengurangan puncak banjir dengan waduk (retarding basin).
- b. Pengurangan aliran dalam suatu alur yang ditetapkan dengan tanggul, dinding penahan (*parafet*) banjir, atau suatu aliran tertutup.
- c. Penurunan muka air banjir dengan perbaikan alur sungai.
- d. Pengaliran air banjir melalui saluran banjir (*floodway*) ke dalam alur sungai lain atau bahkan DAS lain.

Namun, untuk menentukan suatu metode yang sesuai untuk suatu jenis pengendalian banjir harus disesuaikan dengan lokasi dan sifat dari banjir yang terjadi. Sebagaimana halnya dengan banjir di bagian hulu biasanya arus banjirnya deras, daya gerusnya besar, tetapi durasinya pendek. Sedangkan di bagian hilir arusnya tidak deras (karena landai) tetapi durasi banjirnya panjang. (Sosrodarsono, 1985 : 384). Agar penanggulangan bajir dapat dilaksanakan secara efektif maka penyebab banjir dan kondisi di sepanjang sungai harus dipelajari dengan seksama supaya metode yang diterapkan sesuai.

2.5.2. Perbaikan Alur Sungai

Perencanaan perbaikan alur sungai adalah untuk menetapkan beberapa karakteristik alur sungai yaitu formasi trase alur sungai, formasi penampang sungai (lebar rencana sungai, bentuk rencana penampang sungai), kemiringan memanjang sungai dan rencana penempatan bangunan-bangunan sungai (Sosrodarsono, 1985 : 328).

a. Debit banjir rencana

Debit banjir (Q_0) dapat dihitung menggunakan beberapa metode yang ada, seperti menggunakan Hidrograf Satuan Sintesis dan *Flood Routing*. Selanjutnya untuk memperoleh debit banjir rencana (Q_P) , maka debit banjir hasil perhitungan ditambahkan dengan kandungan sedimen yang terdapat dalam aliran sebesar 10%, sehingga diperoleh hasil sebagai berikut :

$$Q_P = 1, 1.Q_0 (2-57)$$

Dalam perhitungan tersebut, kecepatan aliran banjir dianggap konstan, walaupun konsentrasi sedimennya tinggi.

b. Lebar rencana sungai

Seandainya lebar sungai diperkecil, maka kemungkinan terjadinya limpasan atau jebolnya tanggul akan semakin besar, karena daya tampung sungai akan berkurang. Disamping itu kemungkinan dapat terjadi penurunan dasar sungai yang membahayakan pondasi bangunan-bangunan sungai, mengingat sungai yang semakin dalam mempunyai daya tarik yang semakin besar. Sebaliknya apabila lebar sungai diperbesar, maka lintasan aliran air sungai semakin tidak teratur, sehingga lintasan aliran banjir tidak dapat dipastikan. Berdasarkan hal-hal tersebut, maka penentuan lebar rencana sungai adalah merupakan salah satu tahap perencanaan perbaikan dan pengaturan sungai yang paling penting.

Rumus Altunin's, mengemukakan pengaruh dari lebar sungai (B) pada rentang belokan tergantung pada besarnya debit aliran (Q) dan slope (I) pada bagian belokan tersebut, rumusan dari Altunin ini umumnya sesuai dan dapat diterapkan pada kebanyakan sungai.

$$B = \frac{AQ^{0.5}}{I^{0.2}} \tag{2-58}$$

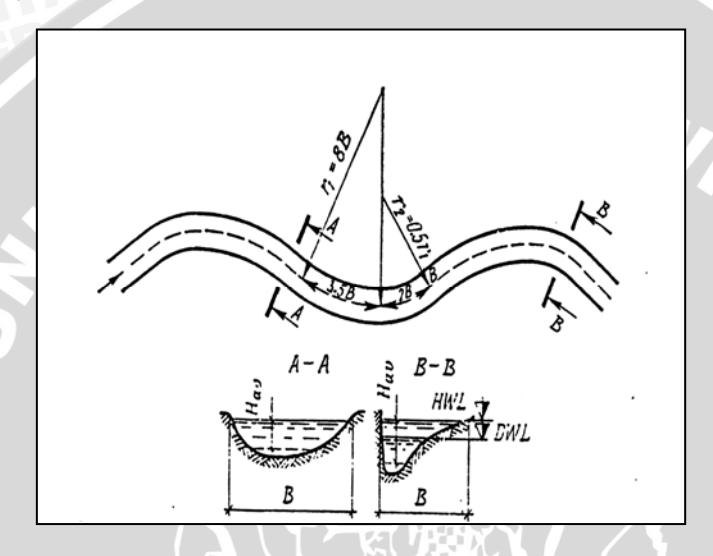
dengan:

A = koefisien, untuk arus deras A: 0.7-0.9untuk arus rendah dengan dasar berupa pasir dan tanah liat A = 1,1-1,7

Menurut S.T. Altunin, dasar sungai yang stabil adalah seperti diperlihatkan pada gambar meander sungai berikut (gambar 2.11). Kestabilan sungai dibentuk berdasarkan kurva dengan radius yang bervariasi berdasarkan lebar penampang sungainya, yaitu :

$$r_{\text{max}} \ge 8B \tag{2-59}$$

$$r_{\min} \ge 4.5B \tag{2-60}$$



Gambar 2.11. Alinyemen suatu sungai yang stabil Sumber : Kolykhmatov, V : Hydraulic Structures Vol. 2 : 222-223

c. Bentuk penampang sungai

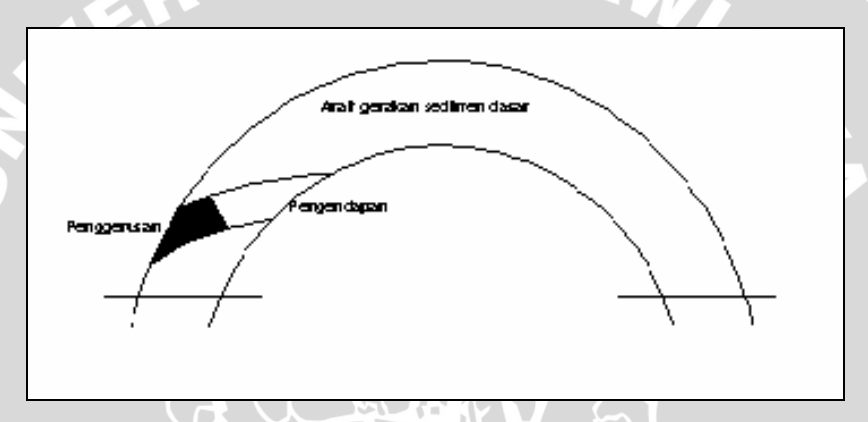
Dimensi penampang melintang didasarkan atas besarnya debit banjir maksimum yang direncanakan. Bentuk penampang sungai yang digunakan pada studi ini adalah penampang berbentuk trapesium , karena mudah dalam pelaksanaannya juga akan memberikan efisiensi yang cukup tinggi dalam mengalirkan debit.

d. Kemiringan memanjang

Sebaiknya kemiringan dasar sungai di daerah kipas pengendapan tidak perlu dirubah. Kalaupun harus diadakan perubahan seyogyanya tidak dilaksanakan secara drastis, tetapi sedikit demi sedikit. Selanjutnya apabila secara mendadak kemiringan dasar sungai menjadi lebih landai, maka pada titik transisinya (TB) terjadi proses pengendapan dan tentulah akan diikuti dengan penyempitan penampang basah sungai

serta di waktu banjir dapat terjadi luapan-luapan yang dapat menimbulkan genangan-genangan di sekitar lokasi tersebut. (Sosrodarsono, 1985 : 332).

Pada umumnya meander sungai akan mempunyai kemiringan dasar yang sangat landai. Dasar sungai pada sisi luar belokan umumnya akan lebih dalam karena adanya kecepatan yang lebih besar pada sisi luar belokan tersebut. Besarnya kecepatan arus melintang ini bekisar antara 10-15% dari kecepatan pada arah utama aliran, dengan ciri bahwa di dekat permukaan arus melintang bergerak ke arah belokan luar dan di dekat dasar arus tersebut bergerak ke arah belokan dalam. Dengan demikian akan mudah dipahami bahwa pada sungai yang bermeander, gerusan akan terjadi pada sisi luar belokan dan pengendapan akan terjadi pada sisi dalam belokan. (Legono, Djoko, 1988:35)



Gambar 2.12. Kondisi alur sungai pada belokan Sumber: Suprijanto, Heri: Diktat Kuliah

e. Perhitungan kecepatan maksimum di belokan

$$V_0 = \frac{1}{n} R^{2/3} . S^{1/2} \tag{2-61}$$

Dari grafik 2.13 dan 2.14 diperoleh:

$$\Delta x 10^2 dan \frac{2x}{B} = a$$
, sehingga

$$\frac{Vb}{Vo} = a \tag{2-62}$$

dengan:

Vb = Kecepatan maksimum pada belokan luar

Vo = Kecepatan pada bagian sungai yang lurus

a = Dari grafik 2.13 dan 2.14

Tegangan geser merupakan fungsi kuadrat dari kecepatan

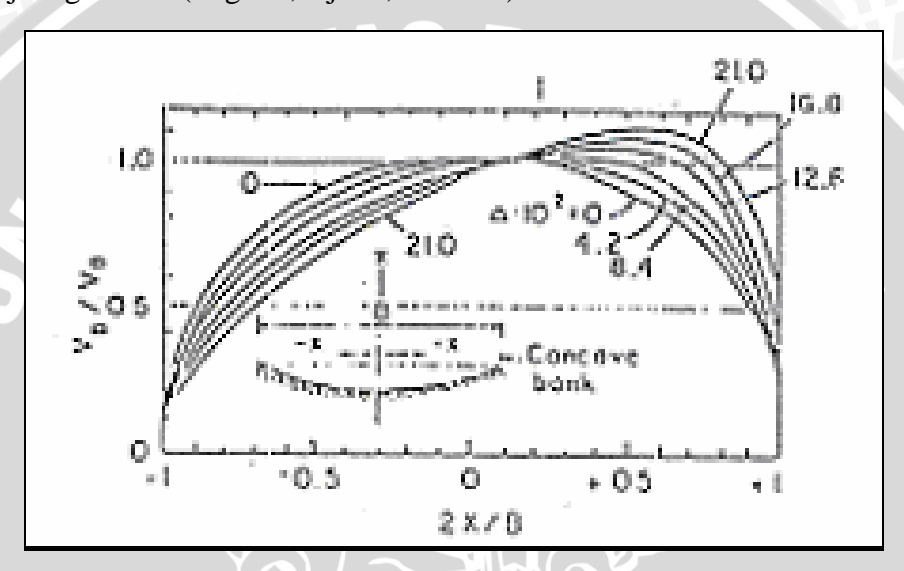
$$\frac{\tau_b}{\tau_o} = \frac{Vb^2}{Vo^2} \tag{2-63}$$

dengan:

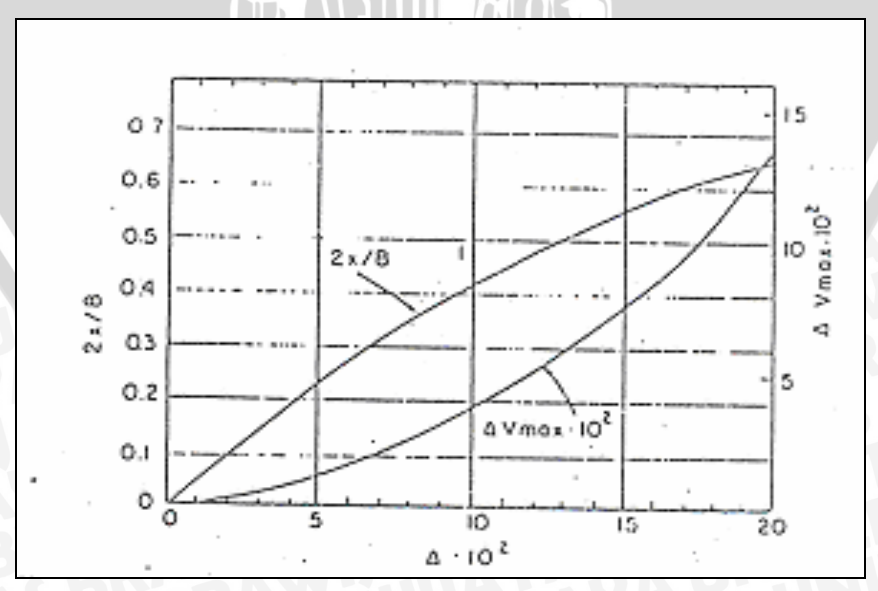
 τ_b = Tegangan geser pada belokan luar

 τ_o = Tegangan geser pada bagian sungai yang lurus

Jika kecepatan dan tegangan geser pada belokan luar mengalami peningkatan, maka akan terjadi gerusan. (Legono, Djoko, 1988:40)



Gambar 2.13. Grafik koefisien kecepatan (a) pada belokan luar Sumber : Legono, Djoko : Teknik Sungai :38



Gambar 2.14. Grafik koefisien kecepatan (b) pada belokan luar Sumber : Legono, Djoko : Teknik Sungai :38

f. Metode perhitungan kedalaman gerusan pada penampang sungai

Metode ini berasumsi bahwa gerusan terjadi pada bagian melintang sungai sampai kecepatan rata-rata berkurang atau menjadi kecil dan tidak menimbulkan perpindahan material dasar pada dasar sungai. Metode ini memberi batas maksimum untuk gerusan eksisting pada kedalaman yang terjadi pada penampang melintang sungai.

Rumus kecepatan pada belokan (Vb) berhubungan dengan kecepatan geser (shear velocity). Pertambahan kedalaman gerusan pada penampang sungai dipengaruhi oleh pertambahan kedalaman dan kecepatan yang mempengaruhinya (Vo) . Kecepatan ratarata aliran (Vo) ditentukan oleh kekasaran material pada dasar maupun tebing sungai. Hubungan antara kecepatan pada belokan (Vb), kecepatan rata-rata (Vo), kedalaman muka air, dan kedalaman gerusan dinyatakan dalam persamaan berikut:

$$d_s = H\left(\frac{V_b}{V_o} - 1\right) \tag{2-64}$$

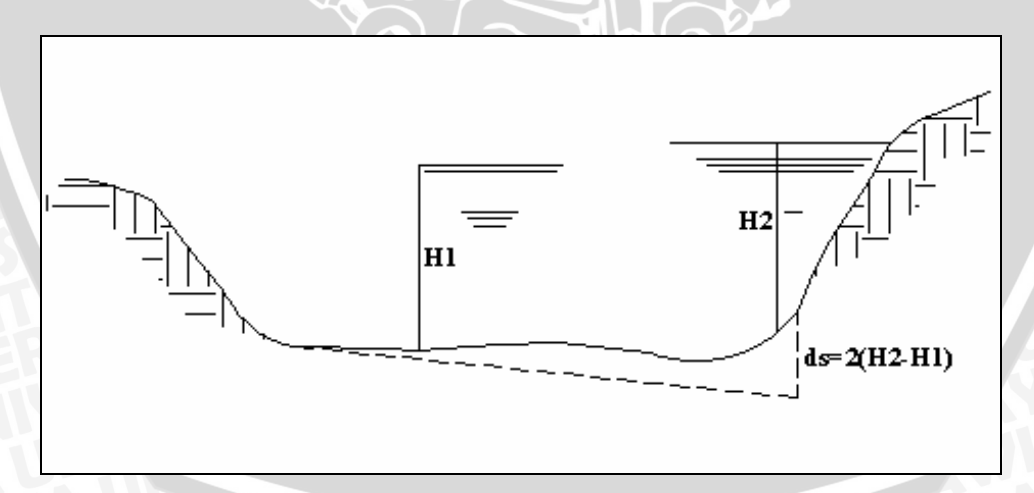
dengan:

 d_s Kedalaman gerusan (m)

Η Kedalaman aliran (m)

 V_{b} Kecepatan rata-rata pada belokan (m/dt)

Kecepatan yang sesuai dengan material dasar (m/dt)



Gambar 2.15. Penentuan kedalaman gerusan dengan mempertimbangkan koefisien kekasaran pada tebing dan dasar sungai

Sumber: Computing degradation and local Scour (USBR): 39

Perhitungan kedalaman gerusan dengan mempertimbangkan nilai koefisien kekasaran pada tebing dan dasar sungai:

$$d_s = 2(H_2 - H_1) (2-65)$$

dengan:

 d_s = Kedalaman gerusan (m)

H₂ = Kedalaman muka air dengan nilai n pada tebing sungai (m)

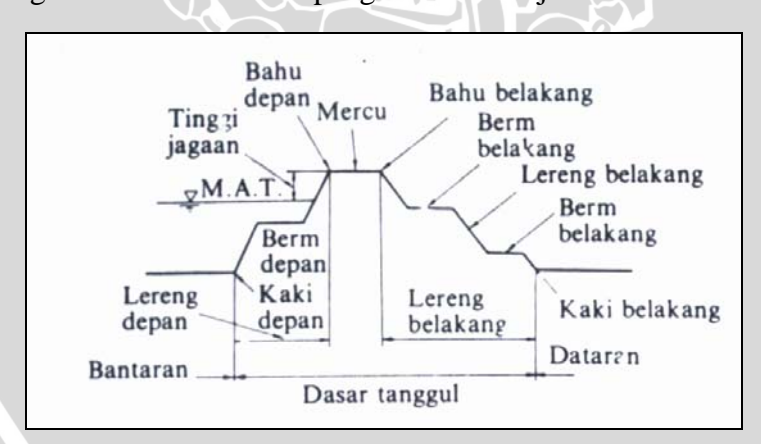
 H_1 = Kedalaman muka air dengan nilai n pada dasar sungai (m)

2.5.3. Tanggul

Tanggul disepanjang sungai adalah salah satu bangunan yang paling utama dan paling penting dalam usaha melindungi kehidupan dan harta benda masyarakat terhadap genangan-genangan yang disebabkan oleh banjir. Tanggul dibangun dengan konstruksi menerus yang sangat panjang serta membutuhkan bahan urugan yang volumenya sangat besar. (Sosrodarsono, 1985 : 83)

Bahan urugan untuk tanggul haruslah merupakan bahan yang sangat mudah penggarapannya dan setelah menjadi tanggul mudah untuk menyesuaikan diri dengan kemungkinan yang tidak rata. Oleh karena itu, biasanya tanggul dibuat dari bahan tanah. Tanah merupakan bahan bangunan yang sangat stabil dan tidak akan rusak dalam waktu yang lama. Apabila di beberapa tempat terjadi kerusakan tanggul, perbaikannya sangat mudah dan cepat menggunakan tanah yang tersedia di sekitar lokasi kerusakan.

Jenis tanggul yang direncanakan untuk pengendalian banjir.



Gambar 2.16. Bagian-bagian tanggul



a. Ketinggian tanggul dan tinggi jagaan

Tinggi tanggul akan ditentukan berdasarkan tinggi muka air rencana pada kala ulang 25 tahun dengan penambahan jagaan yang diperlukan. Jagaan adalah tinggi tambahan dari tinggi muka air rencana dimana air tidak diijinkan melimpah. Tabel di bawah ini memperlihatkan standar hubungan antara besarnya debit banjir rencana dengan tinggi jagaan yang disarankan.

BRAWINA

Tabel 2.10. Hubungan antara Debit Banjir Rencana dengan Tinggi Jagaan

No	Debit Banjir Rencana	Jagaan
110	(m3/dt)	(m)
1	Kurang dari 200	0.6
2	200-500	0.8
3	500-2000	1.0
4	2000-5000	1.2
5	5000-10000	1.5
6	10000 atau lebih	2.0

Sumber: Sosrodarsono, Suyono, 1985:87

b. Lebar mercu tanggul

Pada daerah yang padat dimana perolehan areal tanah untuk tempat kedudukan tanggul sukar untuk didapatkan sangat sukar dan mahal, pembangunan tanggul dengan mercu yang tidak lebar dan dengan lerengnya yang agak curam kelihatannya cukup memadai, khususnya apabila hanya ditinjau dari segi stabilitas tanggulnya. Akan tetapi mercu yang cukup lebar (3 - 7 m) biasanya diperlukan apabila ditinjau dari keperluan untuk perondaan di waktu banjir dan sebagai jalan-jalan inspeksi serta logistik untuk pemeliharaan tanggul. Berikut merupakan lebar standar mercu tanggul berdasarkan debit banjir rencana.

Tabel 2.11. Lebar Standar Mercu Tanggul

No	Debit Banjir Rencana	Lebar Mercu
110	(m3/dt)	(m)
1	Kurang dari 500	3.0
2	500-2000	4.0
3	2000-5000	5.0
4	5000-10000	6.0
5	10000 atau lebih	7.0

Sumber: Sosrodarsono, Suyono, 1985:88

c. Kemiringan lereng tanggul

Penentuan kemiringan lereng tanggul merupakan tahapan yang paling penting dalam perencanaan tanggul dan sangat erat kaitannya dengan infiltrasi air dalam tubuh tanggul serta karakteristik mekanika tanah tubuh tanggul tersebut. Dalam keadaan biasa

tanpa perkuatan lereng, tanggul direncanakan dengan kemiringan 1 : 2 atau lebih kecil. Berm dan elevasi kemiringan talud dasar mempunyai hubungan yang sangat erat satu sama lain dan keduanya harus ditentukan melalui pengujian terhadap bahan badan tanggul, durasi banjir, stabilitas terhadap kebocoran dari air tinggi dan pondasi *subsoil* dari pada tanggul tersebut. Hal tersebut dapat ditunjukkan sebagai berikut :

- Berm harus disediakan tiap 3 5 m dari puncak pada sisi bagian air bila tinggi tanggul 6 m atau lebih, dan tiap-tiap dari sampai 3 m dari puncak pada sisi bagian tanah bila tinggi tanggul 4 m atau lebih.
- Lebar 3 m atau lebih. Miring talud tanggul harus merupakan kemiringan landai bandingan 1:2 atau lebih, namun hal itu tidak perlu bila alud permukaan dilapisi dengan beton atau bahan serupa.

d. Bahan tanah urugan tanggul

Bahan utama untuk pembangunan tanggul adalah tanah dan karakteristik bahan tanah tersebut merupakan faktor penting dalam penentuan bentuk penampang lintang tanggul. Pada hakikatnya tanah yang baik untuk tanggul adalah bahan tanah yang mempunyai sifat-sifat antara lain kekedapannya tinggi, nilai kohesinya tinggi, dalam keadaan jenuh air sudut geser dalamnya cukup tinggi, pekat dan angka porinya rendah. Memperhatikan hal-hal tersebut di atas, maka tanah yang terdiri dari campuran pasir dan lempung dengan proporsi \pm 1/3 bagian pasir dan \pm 2/3 bagian lempung, merupakan bahan tanggul yang cukup memadai, ditinjau dari segi baik mekanika tanah maupun pelaksanaan pembangunannya.

Bahan yang sangat cocok untuk pembangunan tanggul adalah tanah dengan karakteristika sebagai berikut (Sosrodarsono, Suyono, 1985: 90) :

- Dalam keadaan jenuh air mampu bertahan terhadap gejala gelincir dan longsor.
- Pada waktu banjir yang lama tidak rembes atau bocor.
- Penggalian, transportasi dan pemadatannya mudah.
- Tidak terjadi retak-retak yang membahayakan kestabilan tubuh tanggul.
- Bebas dari bahan-bahan organis, seperti akar-akaran, pohon-pohonan dan rumputrumputan.

Kekurangan atau kelebihan dari setiap bahan tanah untuk urugan tubuh tanggul sebelumnya haruslah dianalisa secara teliti dengan memperhatikan hal-hal yang penting antara lain kekedapannya dan kemudian pengerjaannya.

Akan tetapi amatlah sukar untuk memperoleh bahan tanah dengan kualitas yang baik untuk tanggul yang sangat panjang dari lokasi yang berlainan yang berdekatan

dengan trase tanggul yang akan dibangun. Sedangkan pengambilannya dari lokasi yang sama, tetapi jaraknya jauh akan meningkatkan biaya transportasinya. Jadi tidaklah dapat dihindarkan pengambilan bahan tanah dari lokasi di sekitar tanggul, walaupun dengan resiko kualitasnya kurang memenuhi persyaratan. Dalam keadaan demikian, biasanya bahan yang kurang baik dipergunakan untuk urugan bagian dalam tubuh tanggul, sedangkan untuk bagian luarnya dipergunakan bahan yang lebih baik kualitasnya.

2.5.4. Sempadan Sungai

Dalam mewujudkan pemanfaatan sungai serta mengendalikan daya rusak sungai, perlu ditentukan garis sempadan sungai yaitu garis batas perlindungan sungai. Garis sempadan sungai ini akan menjadi acuan pokok dalam kegiatan pemanfaatan dan perlindungan sungai serta pengembangan permukiman di wilayah sekitar sungai.

Dalam penentuan garis sempadan sungai, ada tiga aspek penting yang harus dipertimbangkan, antara lain :

- 1. Aspek Legal/Hukum
- 2. Aspek Teknis
- 3. Aspek Sosial

Selain mempertimbangkan ketiga aspek di atas , perencanaan sempadan sungai ini juga harus berpedoman pada :

- 1. UU No.7 tahun 2004 tentang Sumber Daya Air
- 2. PP No. 35 Tahun 1991 tentang Sungai
- 3. Keppres No. 32 Tahun 1990 tentang pengelolaan Kawasan Lindung
- 4. Permen No. 63/KPR/1993 tentang Garis Sempadan Sungai, Daerah Manfaat Sungai dan Bekas Sungai.

Dalam UU No. 7 Tahun 2004 tentang Sumber Daya Air, dinyatakan bahwa sungai merupakan salah satu bentuk air permukaan yang harus dikelola secara menyeluruh, terpadu berwawasan lingkungan hidup dengan mewujudkan kemanfaatan sumber daya air yang berkelanjutan untuk sebesar-besarnya kemakmuran rakyat. Dengan demikian sungai harus dilindungi dan dijaga kelestariannya, ditingkatkan fungsi dan kemanfaatannya, dan dikendalikan daya rusaknya terhadap lingkungan.

Sedangkan dalam Permen No. 63/KPR/1993 ini dijelaskan tentang pengertian dan ketentuan garis sempadan sungai. Garis sempadan sungai adalah garis batas luar pengamanan sungai. Penetapan garis sempadan sungai dimaksudkan sebagai upaya agar kegiatan perlindungan, penggunaan dan pengendalian atas sumber daya yang ada pada sungai termasuk danau dan waduk dapat dilaksanakan sesuai dengan tujuannya.

Kriteria penetapan garis sempadan sungai terdiri dari:

- 1. Sungai bertanggul di luar kawasan perkotaan.
- 2. Sungai bertanggul di dalam kawasan perkotaan.
- 3. Sungai tidak bertanggul di luar kawasan perkotaan.
- 4. Sungai tidak bertanggul di dalam kawasan perkotaan.

Berdasarkan kriteria di atas penetapan garis sempadan sungai ditentukan sebagai berikut:

- 1. Penetapan garis sempadan sungai bertanggul ditetapkan sebagai berikut :
 - a. Garis sempadan sungai bertanggul di luar kawasan perkotaan ditetapkan sekurang-kurangnya 5 (lima) meter di sebelah luar sepanjang kaki tanggul.
 - b. Garis sempadan sungai bertanggul di dalam kawasan perkotaan ditetapkan sekurang-kurangnya 3 (tiga) meter di sebelah luar sepanjang kaki tanggul.
- 2. Penetapan garis sempadan sungai tidak bertanggul di luar kawasan perkotaan.
 - a. Sungai besar yaitu sungai yang mempunyai daerah pengaliran sungai seluas 500 (lima ratus) km² atau lebih.
 - b. Sungai kecil yaitu sungai yang mempunyai daerah pengaliran sungai seluas kurang dari 500 (lima ratus) km².



Gambar 2.18. Potongan melintang sempadan sungai

2.6. Stabilitas Tanggul

2.6.1. Daya Dukung Tanah

Tanah selalu mempunyai peranan penting pada suatu lokasi pekerjaan konstruksi. Bahan tanah urugan untuk tanggul dapat memanfaatkan tanah-tanah sekitar bantaran sungai-sungai yang akan dibangun tanggul, yang pada umumnya berupa lempung kelanauan dengan plastisitas tinggi. Beberapa parameter tanah yang dibutuhkan untuk menghitung daya dukung dan kestabilan lereng antara lain berat isi tanah, kohesi, dan sudut geser dalam.

Untuk menghitung daya dukung tanah digunakan rumus Terzaghi:

$$q_{ut} = c.Nc + \gamma.Df.Nq + 1/2\gamma.B.Ny$$
 (2-66)

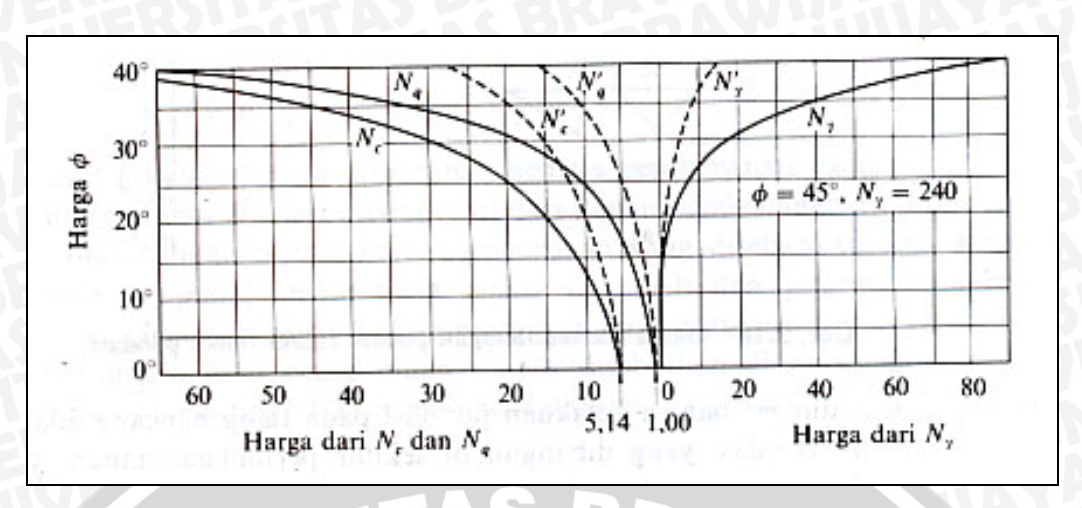
dengan:

= berat isi

= kohesi tanah

Nc,Nq,N y fungsi yang tergantung dari sudut geser dalam dari tanah tersebut

Rumus dia atas digunakan untuk pasir padat kerakal, dan lempung keras. Untuk dimana keadaan tanah pondasi adalah pasir lepas atau lempung kelanauan, maka sebagai pengganti Nc, Nq, dan N γ pada persamaan (2-66) digunakan Nc', Nq', dan N γ ', karena nilai c dan o pada keadaan ini adalah lebih kecil dari yang tersebut di atas. (Sosrodarsono, 2000:32).



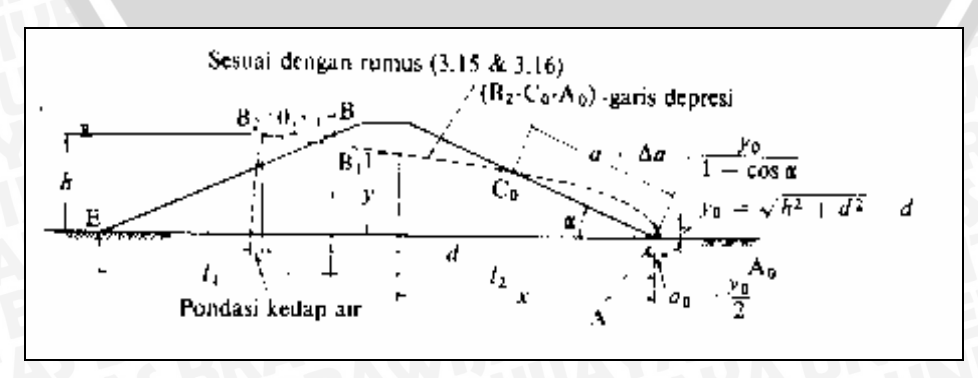
Gambar 2.19. Koefisien kapasitas daya dukung

Tabel 2.12. Koefisien daya dukung dari Terzaghi

φ.	Nc	Nq	Ny	Nc'	Nq'	Ny'
0	5.71	1.00	0.00_	3.81	1.00	0.00
5	7.32	1.64	0.00	4.48	1.39	0.00
10	9.64	2.70	1.20	5.34	1.94	0.00
15	12.80	4.44	2.40	6.46	2.73	1.20
20	17.70	7.43	4.60	7.90	3.88	2.00
25	25.10	12.70	9.20	9.86	5.60	3.30
30	37.20	22.50	20.00	12.70	8.32	5.40
35	57.80	41.40	44.00	16.80	12.80	9.60
40	95.60	81.20	114.00	23.20	20.50	19.10
45	172.00	173.00	320.00	34.10	35.10	27.00

2.6.2. Formasi Garis Depresi

Bila tedapat aliran rembesan di dalam tubuh tanggul, maka untuk menganalisa aliran rembesan diperlukan suatu formasi garis depresi dengan menggunakan metode Casagrande.(Sosrodarsono, 1981:156)



Gambar 2.20. Garis depresi pada bendungan homogen (sesuai dengan garis parabola)

Pada gambar tumit hilir lereng dianggap sebagai titik permulaan koordinat dengan sumbu-sumbu x dan y, maka garis depresi diperoleh dengan persamaan parabola bentuk dasar sebagai berikut:

$$L_1 = \frac{(Ho + Hf)}{\tan \alpha} \tag{2-67}$$

$$L_2 = B + L_1 \tag{2-68}$$

$$d = 0.3 L_1 + L_2 (2-69)$$

$$a + \Delta a = \frac{Yo}{1 - \cos \alpha} \tag{2-70}$$

$$x = \frac{y^{2} - yo^{2}}{2 yo}$$

$$y = \sqrt{2yox + yo^{2}}$$

$$yo = \sqrt{h^{2} + d^{2}} - d$$
(2-72)

$$y = \sqrt{2yox + yo^2} \tag{2-72}$$

$$yo = \sqrt{h^2 + d^2} - d {2-73}$$

dengan:

jarak vertikal antara titik A dan B h

jarak horisontal antara titik B₂ dan A

jarak horisontal antara titik B dan E l_1

jarak horisontal antara titik B dan A l_2

A ujung tumit hilir bendungan

titik perpotongan antara muka air waduk dan lereng udik bendungan В

titik perpotongan antara parabola bentuk besar garis depresi dengan garis A_1

 B_2 vertikal melalui titik B

titik yang terletak sejauh 0,3 l, horisontal ke arah udik dari titik B

2.6.3. Stabilitas Lereng Tanggul dengan Program Geoslope Versi Study

Runtuhnya suatu tanggul biasanya dimulai dengan terjadinya longsoran, baik di lereng bagian dalam maupun di bagian luar. Sehingga dalam perencanaan lereng tanggul perlu dilakukan pengujian stabilitas sehingga didapatkan lereng yang stabil.

Ada beberapa metode yang dapat digunakan untuk pengujian stabilitas lereng, antara lain metode irisan Bishop. Dalam studi ini analisa stabilitas lereng dilakukan dengan metode irisan bidang luncur menurut metode Bishop dengan menggunakan program Geoslope Versi Study.

Dalam metode ini, permukaan runtuh potensial pada potongan diasumsikan berbentuk busur lingkaran dengan pusat O dan jari-jari r. Massa tanah (ABCD) di atas permukaan runtuh coba-coba (AC) dibagi oleh bidang-bidang vertikal menjadi sejumlah irisan dengan lebar b, seperti diperlihatkan pada gambar 2.17. Dasar dari setiap irisan diasumsikan sebagai garis lurus. Untuk setiap irisan, sudut yang dibentuk oleh dasar irisan dan sumbu horisontal adalah α dan tingginya, yang diukur pada garis sumbu adalah h. Faktor keamanan didefinisikan sebagai rasio kekuatan geser yang ada (τ_f) terhadap kekuatan geser (τ_m) yang harus dikerahgkan untuk mempertahankan syarat batas keseimbangan, yaitu

$$F = \frac{\tau_f}{\tau_m} \tag{2-74}$$

Gaya (per satuan ukuran yang tegak lurus terhadap potongan) yang bekerja pada irisan adalah:

- 1. Berat total irisan, $W = \gamma bh (\gamma_{sat})$ bila diperlukan).
- 2. Gaya normal total pada dasar, N (sama dengan σl). Umumnya, gaya ini memiliki dua batas komponen, yaitu gaya normal efektif N' (sama dengan $\sigma'l$) dan gaya air batas U (boundary water force), (sama dengan ul), dimana u adalah tekanan air pori pada pusat dasar dan l adalah panjang dasar.
- 3. Gaya geser pada dasar, $T = \tau_m l$.
- 4. Gaya normal total pada sisi-sisi E_1 dan E_2 .
- 5. Gaya geser pada sisi-sisi, x_1 dan x_2 .

Setiap gaya luar harus diperhitungkan dalam analisis.

Dengan meninjau momen terhadap O, maka jumlah momen akibat gaya-gaya geser T pada busur keruntuhan AC harus sama dengan momen akibat berat massa tanah ABCD. Untuk setiap irisan, lengan momen W adalah r sin α , sehingga

$$\sum Tr = \sum Wr \sin \alpha \tag{2-75}$$

$$\therefore F = \frac{\sum \tau_f l}{\sum W \sin \alpha} \tag{2-76}$$

Penyelesaian Penyederhanaan menurut Bishop

Dalam penyelesaian ini diasumsikan bahwa resultan gaya pada sisi irisan adalah horisontal, yaitu

$$x_1 - x_2 = 0 (2-77)$$

untuk keseimbangan gaya geser pada dasar setiap irisan adalah

$$T = \frac{1}{f} \left(c'l + N' \tan \phi' \right) \tag{2-78}$$

dengan menyelesaikan kembali gaya-gaya dalam arah vertikal:

$$W = N'\cos\alpha + ul\cos\alpha + \frac{c'l}{F}\sin\alpha + \frac{N'}{F}\tan\phi'\sin\alpha$$
 (2-79)

$$\therefore N' = \left(W - \frac{c'l}{F}\sin\alpha - ul\cos\alpha\right) / \left(\cos\alpha + \frac{\tan\phi'\sin\alpha}{F}\right)$$
 (2-80)

dengan substitusi $l = b.\sec \alpha$

$$F = \frac{1}{\sum W \sin \alpha} \sum \left[\left\{ c'b + \left(W - ub \right) \tan \phi' \right\} \frac{\sec \alpha}{1 + \frac{\tan \alpha \tan \phi'}{F}} \right]$$
(2-81)

Tekanan air pori dapat dihubungkan dengan 'tekanan pengisian total' (total fill pressure) pada setiap titik dengan menggunakan rasio tekanan pori yang tak berdimensi, yang didefinisikan sebagai

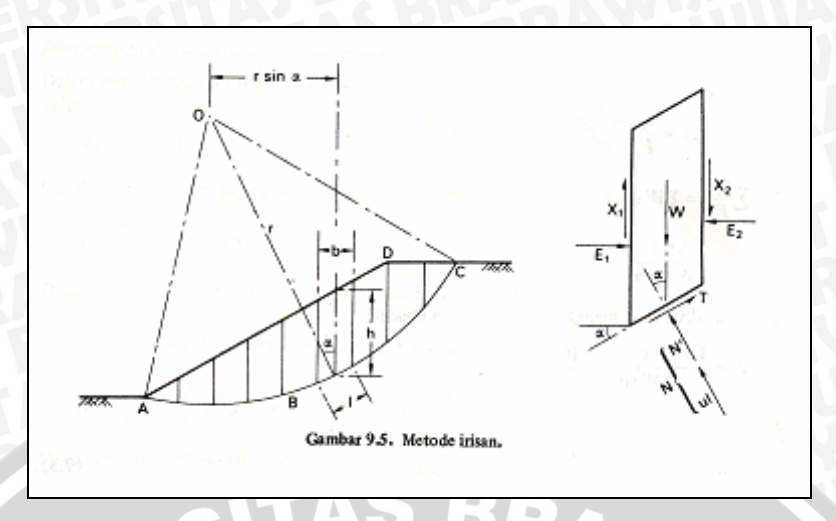
$$r_u = \frac{u}{vh} = \frac{u}{W/h} \tag{2-82}$$

$$F = \frac{1}{\sum W \sin \alpha} \sum \left\{ c'b + W(1 - r_u) \tan \phi' \right\} \frac{\sec \alpha}{1 + \frac{\tan \alpha \tan \phi'}{F}}$$
(2-83)

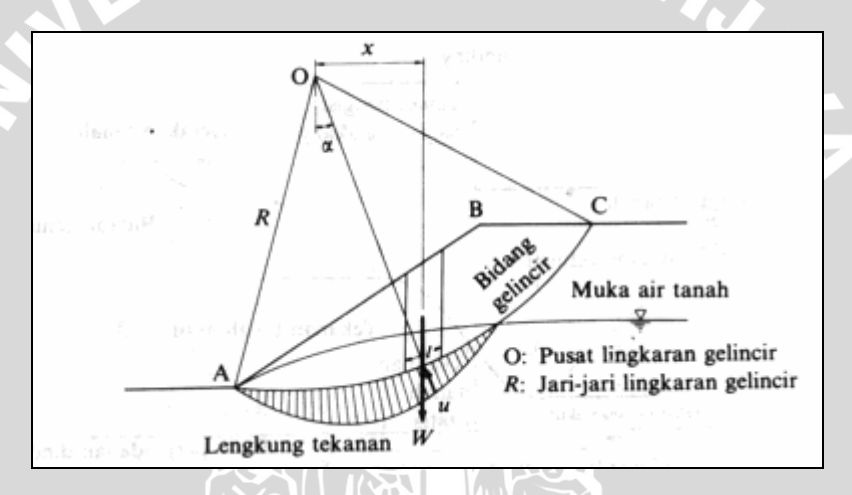
Diperlukan pemilihan sejumlah permukaan keruntuhan coba-coba yang tepat, maka metode irisan biasanya diselesaikan dengan menggunakan perhitungan geometri lereng yang lebih kompleks dan lapisan tanah yang berbeda akan dapat diselesaikan dengan metode ini.

$$Fs = \frac{gayapenahan}{gayayangmenggelincirkn} = \frac{\sum (c.l + Wi.\cos\alpha_i.\tan\theta)}{\sum Wi.\sin\alpha_i}$$
(2-84)

Untuk angka keamanan biasanya digunakan Fs>1,2 karena jika 1 maka lereng sudah dalam bahaya keruntuhan. (Sosrodarsono, 2000 : 35).



Gambar 2.21. Stabilitas lereng tanggul dengan metode Irisan



Gambar 2.22. Stabilitas lereng tanggul dengan aliran air rembesan

BAB III METODOLOGI KAJIAN

3.1. Letak Administratif DAS Cideres Deet

DAS Cideres Deet secara administratif terletak di Desa Pagandon, Cipaku Kecamatan Kadipaten, dan Desa Genteng, Bojong Cideres, Giri Mukti, Jatisawit Kecamatan Dawuan Kabupaten Majalengka, Propinsi Jawa Barat seperti yang dapat dilihat pada Gambar 1.1.

Adapun batas-batas administratif dari wilayah Sungai Cideres Deet ini meliputi daerah-daerah sebagai berikut :

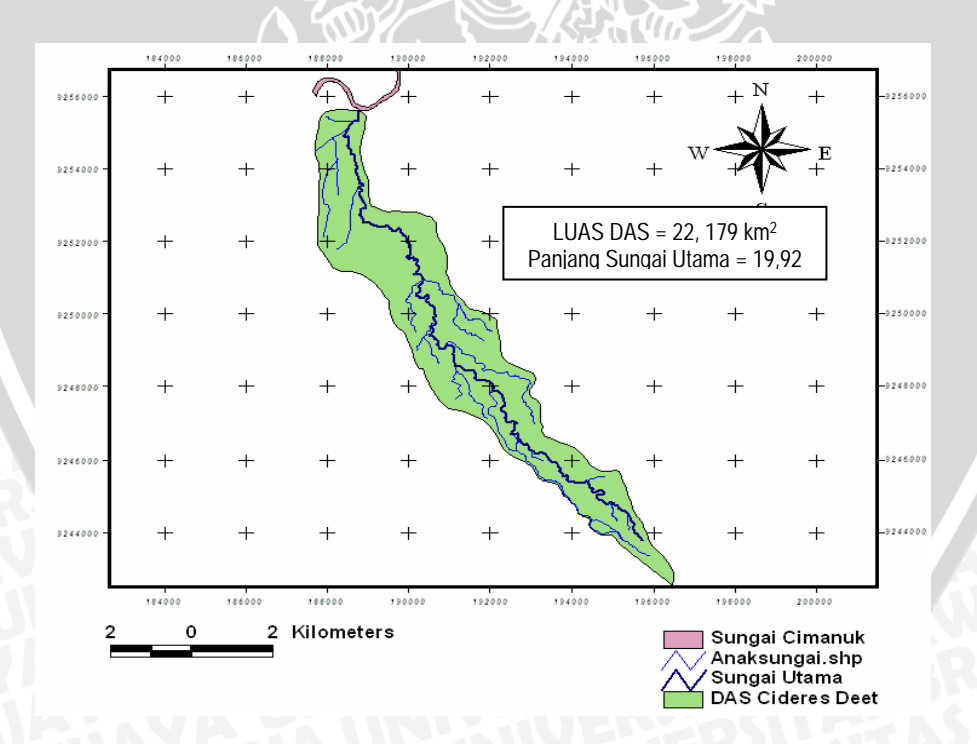
a. Sebelah Utara : Kecamatan Kertajati-Kab. Majalengka

b. Sebelah Timur : Kec. Dawuan dan Kec. Cigasong Kab. Majalengka

c. Sebelah Selatan : Kota Majalengka

d. Sebelah Barat : Kecamatan Kadipaten Kab. Majalengka

Untuk lebih jelasnya, gambar Daerah Aliran Sungai Cideres Deet dapat dilihat pada Gambar 3.1 berikut :



Gambar 3.1. Daerah aliran sungai (DAS) Cideres Deet

Luas keseluruhan dari wilayah sungai Cideres Deet ini adalah E 22,179 km² dan secara geografis terletak pada 06° 43′ 40′′ s/d 06° 50′ 45′′ Lintang Selatan serta 108° 10′ 45′′ s/d 108° 15′ 15′′ Bujur Timur. Daerah Aliran Sungai (*DAS*) Cideres Deet ini

secara administratif terletak di Kabupaten Majalengka dengan panjang sungai utama E 19,92 km. Seperti halnya sungai-sungai yang lain, Sungai Cideres Deet juga mempunyai banyak anak sungai dari bagian hulu hingga ke hilir melewati beberapa perkampungan di DAS Cideres Deet, dengan total panjang anak sungai sekitar 32,9 km.

3.2. Karakteristik DAS Cideres Deet

Sungai Cideres Deet sesuai namanya yang menurut masyarakat di sekitar, "Cideres" berarti sungai yang deras, sedangkan "Deet" berarti dangkal. Dari nama yang diberikan dapat diperkirakan bahwa Sungai Cideres Deet adalah sungai yang dangkal dengan aliran yang deras pada musim penghujan.

Kondisi morfologi Sungai Cideres Deet yang berkelok-kelok membuat pengaliran debit banjir terhambat, sehingga jika hal tersebut terjadi terus-menerus akan meluap dan mengakibatkan genangan. Bahkan pada beberapa titik, alur Sungai Cideres Deet ada yang sampai membentuk tikungan ≥ 90°. Sungai Cideres Deet mempunyai beberapa anak sungai dan saluran pembuang dari irigasi persawahan yang menambah jumlah debit di Sungai Cideres Deet. Untuk lebih jelas mengenai kondisi anak sungai dapat dilihat pada tabel 2.1.

Kondisi pada hilir sungai Cideres Deet tepatnya pada bagian outlet pertemuan/ muara dengan Sungai Cimanuk sering terjadi aliran balik (back water). Hal tersebut terjadi karena kondisi muka air dan debit di Sungai Cimanuk lebih tinggi sehingga debit dari Sungai Cideres Deet yang masuk ke Sungai Cimanuk pengalirannya terhambat.

Bentuk dari DAS Cideresdeet adalah memanjang, dengan pola menyerupai pola bulu burung, dengan panjang sungai utama 19,92 km dan luas DAS 22,580 km². Elevasi terendah terletak di Desa Genteng Kecamatan Dawuan dan Desa Bojong Cideres Kecamatan Kadipaten dengan ketinggian sekitar 23 meter, dimana daerah ini juga merupakan muara dari sungai Cideres. Sedangkan di bagian hulu, daerah aliran Cideres Deet berada diantara Kecamatan Majalengka dan Cigasong. Elevasi tertinggi berada di desa Cinenang Kecamatan Cigasong dengan puncak ketinggian 144 meter.

Tabel 3.1. Rekapitulasi panjang sungai utama di DAS Cideres Deet

Segmen	Nama Sungai	Elevasi	Panjang Sungai (m)	Panjang Sungai (km)
1	Sungai Cideres Deet	23.70	253.18	0.25
2	Sungai Cideres Deet	26.07	1950.72	1.95
3	Sungai Cideres Deet	23.22	462.29	0.46
4	Sungai Cideres Deet	26.85	677.84	0.68
5	Sungai Cideres Deet	148.76	46.73	0.05
6	Sungai Cideres Deet	28.28	824.77	0.82
7	Sungai Cideres Deet	41.39	1386.63	1.39
8	Sungai Cideres Deet	50.74	835.15	0.84
9	Sungai Cideres Deet	61.01	1351.18	1.35
10	Sungai Cideres Deet	84.31	784.03	0.78
11	Sungai Cideres Deet	103.76	1368.04	1.37
12	Sungai Cideres Deet	110.28	733.93	0.73
13	Sungai Cideres Deet	35.25	1070.89	1.07
14	Sungai Cideres Deet	130.19	1401.17	1.40
15	Sungai Cideres Deet	137.95	589.08	0.59
16	Sungai Cideres Deet	30.91	1871.15	1.87
17	Sungai Cideres Deet	155.27	337.82	0.34
18	Sungai Cideres Deet	36.78	570.24	0.57
19	Sungai Cideres Deet	47.10	1007.09	1.01
20	Sungai Cideres Deet	137.95	509.67	0.51
21	Sungai Cideres Deet	77.90	1888.18	1.89

Sumber: Hasil Perhitungan

Tabel. 3.2. Panjang anak Sungai Cideres Deet

Anak Sungai	Panjang Sungai (m)	DAS
Anak S. Cangkudu Kaler	1838.38	Cideres Deet
Anak S. Cangkudu Kidul	1839.63	Cideres Deet
Anak S. Cibiuk	4102.7	Cideres Deet
Anak Sungai Gandasari	5008.37	Cideres Deet
Anak S. Jatisawit	2862.33	Cideres Deet
Anak S. Cibatu	4257.99	Cideres Deet
Anak S. Leuweungbata	711.11	Cideres Deet
Saluran Gandarasih	983.34	Cideres Deet
Saluran Cikasarung	3926.11	Cideres Deet
Saluran Cimarutud	1017.94	Cideres Deet
Saluran Mangga	482.46	Cideres Deet
Saluran Mekarguna	2977.89	Cideres Deet
Saluran Mekarjaya	1040.92	Cideres Deet
Saluran Pagandon	1837.41	Cideres Deet

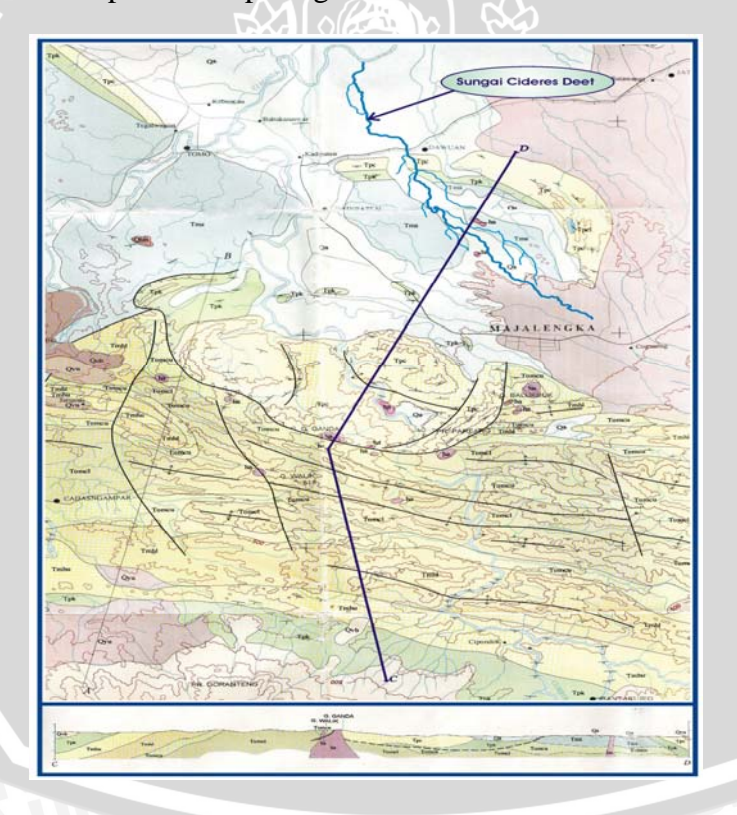
Sumber: Hasil Perhitungan

Kondisi geologi DAS Cideres Deet yang berada di Kecamatan Dawuan dan Kecamatan Kadipaten Kabupaten Majalengka, formasi batuan pembentuk sungai Cideres Deet dari hulu ke hilir dapat dijelaskan sebagai berikut:

BRAWIIAW

- a. Formasi Citalang (Tpc): Terdiri dari batupasir tufan berwarna coklat muda, lempung tufan, konglomerat, setempat ditemukan lensa-lensa batu pasir gampingan yang keras.
- b. Anggota batu Lempung dari Formasi Subang (Tms): Terdiri dari batulempung mengandung lapisan batugamping napalan abu-abu tua, batu gamping. Setempat juga ditemukan sisipan batupasir glokonit hijau.
- c. Formasi Kaliwungu (Tpk): Terdiri dari batu lempung dengan sisipan batupasir tufan, konglomerat; Setempat ditemukan lapisan-lapisan batupasir gampingan dan batugamping.

Sedangkan sebagian besar alur sungai Cideres Deet, yaitu mulai bagian tengah hingga ke hilir (muara) berada pada Formasi Formasi Aluvium (Qa): Lempung, lanau, pasir, kerikil; terutama endapan sungai Holosen. Untuk lebih jelas kondisi geologi di DAS Cideres Deet ini dapat dilihat pada gambar 2.2.



Gambar 3.2. Formasi geologi DAS Cideres Deet

3.3. Rencana Pemecahan Masalah

Dalam studi ini, perencanaan pengendalian banjir dititikberatkan pada bagian sungai yang rawan terjadi banjir, yaitu 4 km ke arah hilir sungai Cideres Deet (dengan

batas bangunan siphon) sampai pertemuan dengan Sungai Cimanuk dari patok 1 s/d 92. Perencanaan pengendalian banjir dalam studi ini bersifat rencana awal dimana pertama kali penentuan daerah-daerah yang mengalami banjir serta tinggi muka air banjirnya, kemudian memberikan rencana pengendalian banjir yang memungkinkan pada daerah tersebut. Dimensi bangunan pengaman banjir seperti tanggul direncanakan berdasarkan studi literatur yang hanya bersifat rencana awal.

Tabel 3.3. Alternatif pengendalian banjir

No	Kondisi Lapangan	Penyebab Banjir	Alternatif Pemecahan	Alternatif Terpilih
1	Intensitas curah hujan	Debit air sungai	Tanggul	11111
	yang tinggi	besar		
2	Morfologi sungai yang	Muka air sungai	Perbaikan Alur Sungai	
	berkelok (meandering)	tinggi		Tanggul, Perbaikan
3	Kapasitas sungai tidak	Luapan air Tanggul		alur sungai
	mencukupi	sungai		
4	Penggundulan hutan di	Hilangnya daerah	Retarding Basin	
	daerah hulu	resapan air		
5	Adanya pertemuan sungai	Terjadinya aliran	Pembuatan saluran banjir	
	Cideres Deet dengan Sungai	balik (back water)	(flood way), perbaikan	
	Cimanuk	M K S	pertemuan sungai	

3.4. Data Pendukung Kajian

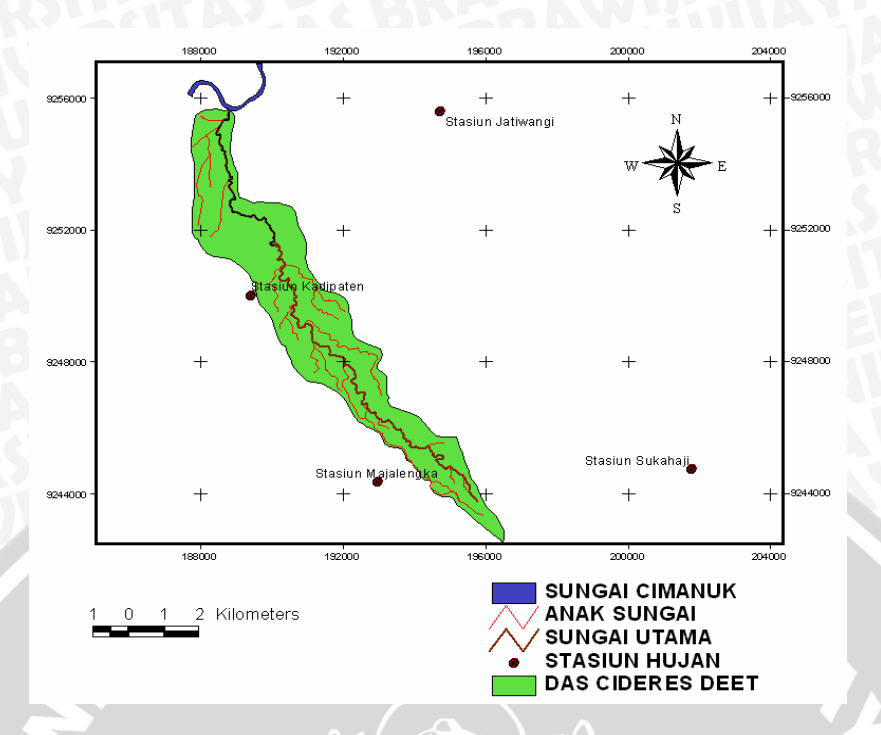
Data-data yang diperlukan dalam mendukung penyelesaian studi ini adalah :

1. Peta Daerah Aliran Sungai Cideres Deet dan peta lokasi pengukuran

Peta Daerah Aliran Sungai Cideres Deet dan peta lokasi pengukuran yang digunakan dalam kajian ini diperoleh dari Proyek Pengukuran dan Detail Desain Sungai Cideres Deet Kabupaten Majalengka.

2. Data curah hujan

Data curah hujan yang digunakan yaitu selama 13 tahun mulai tahun 1992-2005 diperoleh dari Sub Dinas Pengairan Kabupaten Majalengka menggunakan 4 stasiun hujan yang berdekatan dengan DAS Cideres Deet dengan, yaitu stasiun Jatiwangi, Kadipaten, Sukahaji, dan Majalengka.



Gambar 3.3. Lokasi stasiun hujan DAS Cideres Deet

3. Data pengukuran penampang sungai

Data potongan memanjang dan melintang sungai sepanjang 19,92 km dengan jumlah patok pengukuran 246 patok diperoleh dari Proyek Pengukuran dan Detail Desain Sungai Cideres Deet Kabupaten Majalengka dan pengukuran oleh PT. Saka Buana Yasa Selaras. Pada studi ini patok yang digunakan adalah patok no 1 s/d 92.

3.5. Langkah-langkah Pengerjaan Skripsi

Adapun langkah-langkah dalam penyusunan studi ini secara garis besar adalah :

- 1. Melakukan uji konsistensi (consistency) dan kesamaan jenis (homogenity) data hujan yang didapatkan.
- 2. Menghitung curah hujan rerata daerah maksimum dengan metode rerata aljabar.
- 3. Menghitung curah hujan rancangan dengan menggunakan distribusi Log Pearson Type III.
- 4. Untuk mengetahui kebenaran hipotesa distribusi frekuensi yang digunakan maka dilakukan uji kesesuaian distribusi frekuensi dengan metode Chi-Square dan Smirnov Kolmogorov.
- 5. Menentukan nilai koefisien pengaliran.

- 6. Menghitung hujan efektif jam-jaman dengan rumus Mononobe.
- 7. Menghitung debit banjir rancangan dengan metode HSS Nakayasu dan penelusuran banjir dengan Metode Muskingmum.
- 8. Menganalisa profil aliran sungai dengan bantuan program HEC-RAS versi 3.1.3. Dari program ini dapat diketahui kapasitas tampungan sungai serta titik-titik kritis dimana terjadi luapan sehingga mengakibatkan banjir.
- 9. Merencanakan bangunan pengendali banjir, seperti tanggul, parafet, dan perbaikan alur sungai.
- 10. Menganalisa profil aliran sungai dengan bantuan program HEC-RAS versi 3.1.3 setelah dilakukan upaya penanganan.
- 11. Menentukan pola pengendalian banjir yang sesuai dengan hasil analisa dan kondisi daerah studi.

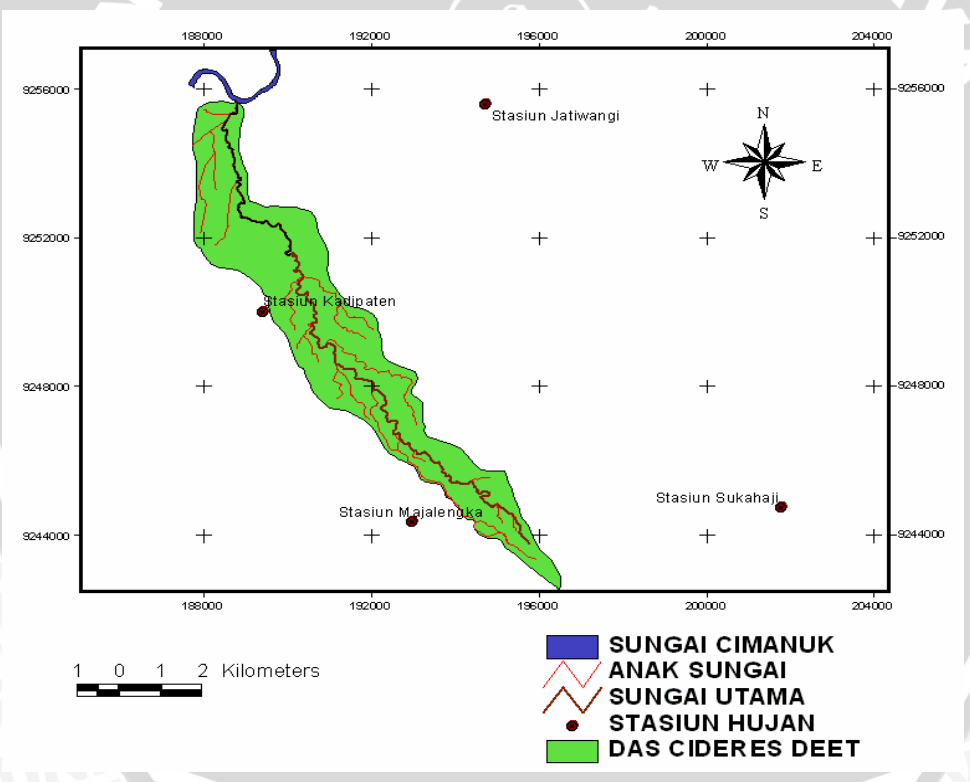


BAB IV PERHITUNGAN DAN ANALISA DATA

4.1 Analisa Hidrologi

Analisa hidrologi dalam kajian ini dilakukan untuk mendapatkan debit banjir rancangan yang terjadi di Sungai Cideres Deet Kabupaten Majalengka. Hasil perhitungan debit banjir rancangan tersebut nantinya akan digunakan sebagai input data perhitungan profil aliran dalam program HECRAS dengan kala ulang 1, 2, 5, 10, 25, dan 100 tahun.

Data hujan yang digunakan dalam kajian ini adalah data hujan yang berasal dari 4 stasiun hujan di sekitar DAS Cideres Deet, yaitu stasiun hujan Jatiwangi, Kadipaten, Majalengka, dan Sukahaji yang didapatkan dari Dinas Pengairan Kabupaten Majalengka selama 13 tahun dari tahun 1992- 2005.



Gambar 4.1. Lokasi stasiun hujan DAS Cideres Deet

4.1.1 Uji Konsistensi

Data hujan harian tiap stasiun selama 13 tahun harus diuji konsistensi terlebih dahulu dengan uji kurva massa ganda. Uji ini bertujuan untuk membandingkan data dari stasiun yang diamati dengan stasiun sekitarnya guna mendapatkan sebaran data yang seragam. Adapun stasiun pengamatan hujan yang digunakan untuk mengambil data hujan dari DAS Cideres Deet adalah 4 stasiun hujan.

Hasil pengujian data hujan ditampilkan dalam bentuk tabel dan grafik dalam tabel 4.2 - 4.5 dan gambar 4.2 - 4.5. Dari grafik-grafik uji konsistensi data hujan tidak ditemukan data yang menyimpang sehingga data hujan dianggap konsisten dan dapat digunakan untuk perhitungan debit banjir rancangan.

Tabel 4.1. Data hujan tahunan stasiun hujan Jatiwangi, Kadipaten, Majalengka, dan Sukahaji.

	C B		siun		
No	Tahun	Jatiwangi	Kadipaten	Majalengka	Sukahaji
10		(mm)	(mm)	(mm)	(mm)
1	2005	2636.7	2029.1	3120.0	2385.0
2	2004	3027.4	1832.0	3638.0	2723.0
3	2003	2382.9	1895.0	2663.0	2237.0
4	2002	2481.1	2181.0	2564.0	2438.0
5	2000	1434.0	1293.0	1507.0	1633.0
6	1999	2639.0	2743.0	3058.0	3501.0
7	1998	3154.0	2850.0	3341.0	3955.0
8	1997	1956.0	1950.0	2080.0	2592.0
9	1996	2916.0	2628.0	2623.0	2909.0
10	1995	4025.0	3084.0	4171.0	3709.0
11	1994	2454.0	2336.0	2483.0	2998.0
12	1993	3152.0	2798.0	2794.0	2767.0
13	1992	3244.0	2782.0	3606.0	3702.0

Tabel 4.2. Uji konsistensi data stasiun hujan Jatiwangi

		Stasiun	Komulatif	Stasiun	Stasiun	Stasiun	Rerata Stasiun	Komulatif Rerata
No	Tahun	Jatiwangi	Stasiun	Kadipaten	Majalengka	Sukahaji	Kadipaten, Majalengka,	Sta. Kadipaten, Majalengka,
1.0	1411411		Jatiwangi			4131	dan Sukahaji	dan Sukahaji
		(mm)	(mm)	(mm)	(mm)	(mm)	(mm)	(mm)
- 1	2005	2636.70	2636.70	2029.12	3120.00	2385.00	2511.37	2511.37
2	2004	3027.44	5664.14	1832.00	3638.00	2723.00	2731.00	5242.37
3	2003	2382.88	8047.03	1895.00	2663.00	2237.00	2265.00	7507.37
4	2002	2481.15	10528.17	2181.00	2564.00	2438.00	2394.33	9901.71
5	2000	1434.00	11962.17	1293.00	1507.00	1633.00	1477.67	11379.37
6	1999	2639.00	14601.17	2743.00	3058.00	3501.00	3100.67	14480.04
7	1998	3154.00	17755.17	2850.00	3341.00	3955.00	3382.00	17862.04
8	1997	1956.00	19711.17	1950.00	2080.00	2592.00	2207.33	20069.37
9	1996	2916.00	22627.17	2628.00	2623.00	2909.00	2720.00	22789.37
10	1995	4025.00	26652.17	3084.00	4171.00	3709.00	3654.67	26444.04
11	1994	2454.00	29106.17	2336.00	2483.00	2998.00	2605.67	29049.71
12	1993	3152.00	32258.17	2798.00	2794.00	2767.00	2786.33	31836.04
13	1992	3244.00	35502.17	2782.00	3606.00	3702.00	3363.33	35199.37

Sumber: Hasil perhitungan

Komulatif Curah Hujan Tahunan Stasiun Kadipaten, Majalengka, dan Sukahaji (mm)

Gambar 4.2. Grafik uji konsistensi data stasiun hujan Jatiwangi Tabel 4.3. Uji konsistensi data stasiun hujan Kadipaten

No	Tahun	Stasiun Kadipaten	Komulatif Stasiun Kadipaten	8	Stasiun Majalengka	Stasiun Sukahaji	Rerata Stasiun Jatiwangi, Majalengka dan Sukahaji	Komulatif Rerata Sta. Jatiwangi, Majalengka, dan Sukahaji
		(mm)	(mm)	(mm)	(mm)	(mm)	(mm)	(mm)
1	2005	2029.12	2029.12	2636.70	3120.00	2385.00	2713.90	2713.90
2	2004	1832.00	3861.12	2636.70	3638.00	2723.00	2999.23	5713.13
3	2003	1895.00	5756.12	2636.70	2663.00	2237.00	2512.23	8225.37
4	2002	2181.00	7937.12	2636.70	2564.00	2438.00	2546.23	10771.60
5	2000	1293.00	9230.12	2636.70	1507.00	1633.00	1925.57	12697.17
6	1999	2743.00	11973.12	2636.70	3058.00	3501.00	3065.23	15762.40
7	1998	2850.00	14823.12	2636.70	3341.00	3955.00	3310.90	19073.30
8	1997	1950.00	16773.12	2636.70	2080.00	2592.00	2436.23	21509.54
9	1996	2628.00	19401.12	2636.70	2623.00	2909.00	2722.90	24232.44
10	1995	3084.00	22485.12	2636.70	4171.00	3709.00	3505.57	27738.01
11	1994	2336.00	24821.12	2636.70	2483.00	2998.00	2705.90	30443.91
12	1993	2798.00	27619.12	2636.70	2794.00	2767.00	2732.57	33176.47
13	1992	2782.00	30401.12	2636.70	3606.00	3702.00	3314.90	36491.37

Sumber: Hasil perhitungan

Gambar 4.3. Grafik uji konsistensi data stasiun hujan Kadipaten

Tabel 4.4 Uji konsistensi data stasiun hujan Majalengka

No	Tahun	Stasiun Majalengka		Stasiun Jatiwangi	Stasiun Kadipaten	Stasiun Sukahaji		Komulatif Rerata Sta. Jatiwangi, Kadipaten
		(mm)	Majalengka (mm)	(mm)	(mm)	(mm)	dan Sukahaji (mm)	dan Sukahaji (mm)
1	2005	3120.00	3120.00	2636.70	2029.12	2385.00	2350.27	2350.27
2	2003	3638.00	6758.00	3027.44	1832.00	2723.00	2527.48	4877.75
3	2003	2663.00	9421.00	2382.88	1895.00	2237.00	2171.63	7049.38
4	2002	2564.00	11985.00	2481.15	2181.00	2438.00	2366.72	9416.10
5	2000	1507.00	13492.00	1434.00	1293.00	1633.00	1453.33	10869.43
6	1999	3058.00	16550.00	2639.00	2743.00	3501.00	2961.00	13830.43
7	1998	3341.00	19891.00	3154.00	2850.00	3955.00	3319.67	17150.10
8	1997	2080.00	21971.00	1956.00	1950.00	2592.00	2166.00	19316.10
9	1996	2623.00	24594.00	2916.00	2628.00	2909.00	2817.67	22133.76
10	1995	4171.00	28765.00	4025.00	3084.00	3709.00	3606.00	25739.76
11	1994	2483.00	31248.00	2454.00	2336.00	2998.00	2596.00	28335.76
12	1993	2794.00	34042.00	3152.00	2798.00	2767.00	2905.67	31241.43
13	1992	3606.00	37648.00	3244.00	2782.00	3702.00	3242.67	34484.10

Sumber: Hasil perhitungan

Gambar 4.4. Grafik uji konsistensi data stasiun hujan Majalengka

Tabel 4.5 Uji konsistensi data stasiun hujan Sukahaji

		Stasiun	Komulatif	Stasiun	Stasiun	Stasiun	Rerata Stasiun	Komulatif Rerata
No	Tahun	Sukahaji	Stasiun	Jatiwangi	Kadipaten	Majalengka	Jatiwangi, Kadipaten	Sta. Jatiwangi, Kadipaten
No	Tanun		Sukahaji				dan Majalengka	dan Majalengka
		(mm)	(mm)	(mm)	(mm)	(mm)	(mm)	(mm)
1	2005	3120.00	3120.00	2636.70	2029.12	3120.00	2595.27	2595.27
2	2004	3638.00	6758.00	3027.44	1832.00	3638.00	2832.48	5427.75
3	2003	2663.00	9421.00	2382.88	1895.00	2663.00	2313.63	7741.38
4	2002	2564.00	11985.00	2481.15	2181.00	2564.00	2408.72	10150.10
5	2000	1507.00	13492.00	1434.00	1293.00	1507.00	1411.33	11561.43
6	1999	3058.00	16550.00	2639.00	2743.00	3058.00	2813.33	14374.76
7	1998	3341.00	19891.00	3154.00	2850.00	3341.00	3115.00	17489.76
8	1997	2080.00	21971.00	1956.00	1950.00	2080.00	1995.33	19485.10
9	1996	2623.00	24594.00	2916.00	2628.00	2623.00	2722.33	22207.43
10	1995	4171.00	28765.00	4025.00	3084.00	4171.00	3760.00	25967.43
11	1994	2483.00	31248.00	2454.00	2336.00	2483.00	2424.33	28391.76
12	1993	2794.00	34042.00	3152.00	2798.00	2794.00	2914.67	31306.43
13	1992	3606.00	37648.00	3244.00	2782.00	3606.00	3210.67	34517.10

Sumber: Hasil Perhitungan

Gambar 4.5. Grafik uji konsistensi data stasiun hujan Sukahaji

4.1.2 Analisa Curah Hujan

4.1.2.1 Curah Hujan Rerata Daerah

Melihat kondisi DAS Cideres Deet dengan luas daerah kajian sebesar 22,179 km² atau 2217,9 ha, maka untuk perhitungan curah hujan rerata daerah menggunakan metode rata-rata aljabar.

Dalam kajian ini perhitungan curah hujan rerata daerah menggunakan metode rata-rata aljabar, karena lokasi studi yang mempunyai luas 22,179 km² atau 2217,9 ha termasuk dalam rentang luas antara 250 - 50.000 ha. Berdasarkan metode Rata-rata Aljabar dapat dihitung curah hujan rerata maksimum daerah untuk masing-masing pengamatan.

Contoh perhitungan curah hujan rerata daerah pada tahun 1992 :

Curah hujan harian maksimum di stasiun Jatiwangi terjadi pada tanggal 29 Februari sebesar 152 mm, stasiun Majalengka 65 mm, stasiun Kadipaten dan Sukahaji 0, maka nilai curah hujan rerata daerah sesuai dengan rumus (2-14) adalah :

$$\overline{R} = \frac{1}{n} (R_1 + R_2 + \dots + R_n)$$

$$\overline{R} = \frac{1}{4} (152 + 65 + 0 + 0)$$

= 54,25 mm

Seterusnya dengan cara yang sama dihitung nilai curah hujan rerata daerah berdasarkan stasiun lainnya, yaitu Majalengka, Kadipaten, dan Sukahaji. Dari hasil perhitungan tersebut diambil nilai maksimum dalam setiap tahunnya.

Data hujan yang terpilih setiap tahun itu merupakan curah hujan rerata daerah. Hasil perhitungan curah hujan rerata daerah selengkapnya dapat dilihat pada Tabel 4.6.



Tabel 4.6. Perhitungan curah hujan rerata daerah pada DAS Cideres Deet

Tgl	Tahun	Stasiun Jatiwangi	Stasiun Majalengka	Stasiun Kadipaten	Stasiun Sukahaji	Rerata	Max
29 Feb	1992	152.00	65.00	0.00	0.00	54.25	72.25
5-Apr		18.00	170.00	19.00	82.00	72.25	
15 Mei		42.00	17.00	116.00	69.00	61.00	
27-Nov		0.00	45.00	2.00	113.00	40.00	
29 Des	1993	158.00	0.00	74.00	40.00	68.00	131.75
31-Jan		145.00	176.00	53.00	153.00	131.75	
16-Feb		15.00	20.00	75.00	9.00	29.75	
15-Jan	1994	82.00	40.00	30.00	75.00	56.75	121.25
5-Feb		57.00	170.00	71.00	187.00	121.25	
21-Feb		8.00	14.00	104.00	39.00	41.25	
26-Feb	1995	135.00	116.00	16.00	69.00	84.00	84.00
30-Jan		102.00	145.00	0.00	13.00	65.00	400
29-Jan		0.00	0.00	98.00	13.00	27.75	
15-Feb		20.00	145.00	0.00	145.00	77.50	
25-Feb	1996	125.00	0.00	33.00	5.00	40.75	83.75
23-Mar		48.00	74.00	0.00	40.00	40.50	
26-Nov		0.00	30.00	146.00	67.00	60.75	$\Lambda \cup \Lambda$
13-Feb		125.00	52.00	44.00	114.00	83.75	
5-Feb	1997	125.00	39.00	85.00	83.00	83.00	83.00
12-Feb		56.00	96.00	56.00	73.00	70.25	
18-Jan		72.00	48.00	105.00	21.00	61.50	
25 Des		63.00	89.00	49.00	116.00	79.25	
29-Jan	1998	99.00	0.00	0.00	0.00	24.75	61.25
7-Feb		8.00	112.00	0.00	0.00	30.00	
16-Nov		0.00	24.00	90.00	23.00	34.25	
8-Feb		30.00	97.00	20.00	98.00	61.25	101
13-Apr	1999	85.00	15.00	0.00	59.00	39.75	84.50
26-Jan		54.00	127.00	67.00	90.00	84.50	
15-Mar		26.00	16.00	126.00	41.00	52.25	
30-Mar		35.00	43.00	0.00	115.00	48.25	
22-Mar	2000	74.00	37.00	29.00	26.00	41.50	70.25
11-Jan		51.00	73.00	48.00	109.00	70.25	
15-Apr		7.00	0.00	72.00	12.00	22.75	
1-Jan	2002	35.61	104.00	27.00	0.00	43.67	75.50
6-Apr		50.37	1.00	205.50	20.00	75.50	
18-Jan		42.74	70.00	50.00	109.00	67.94	
14-Jan	2003	88.27	108.00	0.00	78.00	68.57	71.37
18-Feb		53.53	68.00	75.00	46.00	60.63	
5-Feb		88.47	74.00	27.00	96.00	71.37	
13-Jan	2004	139.53	202.00	24.00	107.00	118.13	118.13
2-Jan		87.59	58.00	77.00	103.00	81.40	
9-Jan		129.04	108.00	0.00	140.00	94.26	And
5-Mar	2005	87.12	72.00	93.00	95.00	86.78	86.78
9-Mar		72.63	118.00	76.00	49.00	78.91	A V

Sumber: Hasil Perhitungan

4.1.2.2 Perhitungan Curah Hujan Rancangan

4.1.2.2.1 Pemeriksaan data di luar ambang batas (Outlier)

Outlier adalah data yang menyimpang cukup jauh dari trend kelompoknya. Keberadaan outlier ini biasanya mengganggu pemilihan jenis distribusi suatu sampel data, sehingga perlu dibuang.

Dari hasil perhitungan untuk DAS Cideres Deet batas atas (X_H) sebesar 135,436 sedangkan batas bawah (X_L) sebesar 40,529. Dari hasil perhitungan outlier diperoleh semua curah hujan rerata daerah tidak ada yang berada di luar batas atas dan bawah, sehingga semua data dapat digunakan untuk perhitungan curah hujan rancangan. Hasil perhitungan outlier selengkapnya dapat dilihat pada tabel 4.7.

Tabel 4.7. Uji Outlier Data Hujan

No	Tahun	Curah Hujan, X (mm/hr)	Log X	$(\text{LogX} - \text{Log } X_{\text{rt}})^2$	$(Log X-Log X_{rt})^3$
1	1998	61.25	1.7871	3.1937	5.7076
2	2000	70.25	1.8466	3.4101	6.2973
3	2003	71.37	1.8535	3.4354	6.3676
4	1992	72.25	1.8588	3.4553	6.4228
5	2002	75.50	1.8779	3.5267	6.6229
6	1997	83.00	1.9191	3.6829	7.0677
7	1996	83.75	1.9230	3.6979	7.1109
8	1995	84.00	1.9243	3.7029	7.1253
9	1999	84.50	1.9269	3.7128	7.1540
10	2005	86.78	1.9384	3.7575	7.2836
11	2004	118.13	2.0724	4.2947	8.9003
12	1994	121.25	2.0837	4.3417	9.0468
13	1993	131.75	2.1198	4.4933	9.5248
Jı	umlah	1143.781	n	13.000	17
Rerata		87.983	Kn 2.175		
S	D	21.818			

Sumber: Hasil Perhitungan

Batas atas
$$(X_H) = \overline{x} + K_n.SD$$

= 87,983 + (2,175.21,818)
= 135,436
Batas bawah $(X_L) = \overline{x} - K_n.SD$
= 87,983 - (2,175.21,818)
= 40,529

4.1.2.2.2 Curah hujan rancangan metode Log Pearson Type III

Untuk perhitungan curah hujan rancangan ini dipakai metode Log Pearson Type III, dengan alasan bahwa metode ini dapat digunakan untuk semua jenis sebaran data karena tidak ada ketentuan mengenai besarnya harga parameter statistic Cs dan Ck dan jika dibandingkan dengan metode lainnya hasil uji kesesuaian distribusinya paling memenuhi syarat.

Contoh perhitungan curah hujan rancangan dengan metode Log Pearson Type III untuk kala ulang 2 tahun adalah sebagai berikut :

Sehingga hujan rancangan untuk kala ulang 2 tahun didapatkan:

$$Tr$$
 = 2
 Pr = $(100/Tr) = 50$

$$G = 0.124$$

$$Log X = Log X_{rt} + G.S$$

$$= 1,93 + (0,124.0,1004) = 1.946$$

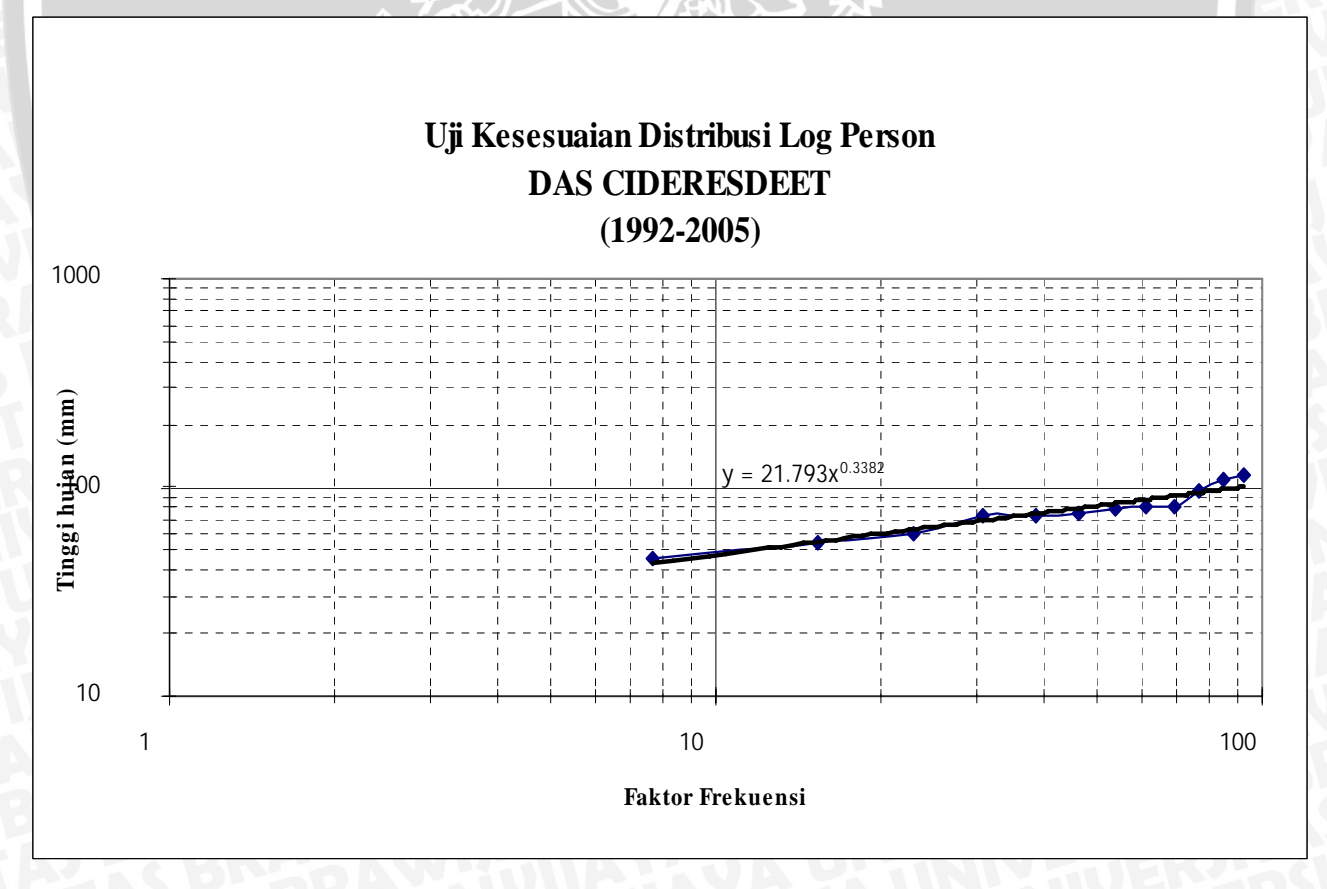
Curah hujan rancangan dengan kala ulang 2 tahun adalah antilog dari Log x, sehingga didapatkan nilai sebesar 88,244 mm

Perhitungan curah hujan rancangan selengkapnya dapat dilihat pada tabel 4.9.

Tabel 4.8. Curah hujan rancangan metode Log Pearson Type III

No	Kala Ulang (Tr) (tahun)	Pr	G (tabel)	Log x	Curah Hujan Rancangan (X) (mm)
1	1.0101	99	-1.768	1.756	56.974
2	2	50	0.124	1.946	88.244
3	5	20	0.785	2.012	102.802
4	10	10	1.335	2.067	116.741
5	20	5	1.765	2.110	128.968
6	25	4	1.981	2.132	135.554
7	50	2	2.431	2.177	150.439
8	100	1	2.859	2.220	166.093

Sumber: Hasil Perhitungan



Gambar 4.6. Grafik Log Pearson Type III Sumber: Hasil Perhitungan



renository

4.1.2.3 Uji Distribusi Frekuensi

Pemeriksaan uji kesesuaian ini dimaksudkan untuk mengetahui suatu kebenaran hipotesa distribusi frekuensi. Dengan pemeriksaan uji ini akan diketahui :

- Kebenaran antara hasil pengamatan dengan model distribusi yang diharapkan atau diperoleh secara teoritis.
- b. Kebenaran hipotesa (diterima/ditolak).

4.1.2.3.1 Uji Chi Square

Contoh perhitungan uji distribusi frekuensi

Jumlah Kelas $K = 1 + 3{,}322 \text{ Log } x = 5$

Derajat Bebas (n) 2

Significant (α , %) 5.00

Dengan $\alpha = 5\%$ dan derajat bebas (n)= 2 maka didapat nilai X^2 kritis 22,36

Expected Frequency = 13/5 = 2.6

Tabel 4.9. Uji distribusi *Chi Square*

No	Probabilitas (P)	Expected Frequency (EF)	Observed Frequency (OF)	EF - OF	(EF - OF) ²
1	0 < P <= 20	2.600	2	0.600	0.360
2	20 < P <= 40	2.600	3	0.400	0.160
3	40 < P <= 60	2.600	5	2.400	5.760
4	60 < P <= 80	2.600	0,0	2.600	6.760
5	80 < P <= 100	2.600	3	0.400	0.160
44	Jumlah	13.00	13.00		13.20

Sumber: Hasil Perhitungan

$$X^2$$
 Hitung = $\sum (EF - OF)^2 / EF$
= 13,2 / 2,6 = 5,08

 X^2 Hitung $< X^2$ kritis maka persamaan distribusi dapat diterima.

4.1.2.3.2 Uji Smirnov Kolmogorov

Contoh perhitungan uji distribusi frekuensi

Data
$$= 13$$

Significant (
$$\alpha$$
, %) = 5.00

Pe =
$$\frac{13}{n+1}x100 = \frac{13}{14}x100 = 92,857 \%$$

Pr = 4,57 (didapatkan dari tabel hubungan antara Cs, P, dan G)

Pt =
$$100 - Pr = 100 - 4,57 = 95,428 \%$$

 Δ max = 23,64

Perhitungan dilakukan sampai data terakhir, kemudian didapatkan Δ Max sebesar 23,64 % dengan n = 13 dan nilai α = 5 % dari tabel didapatkan Δ Kritis sebesar 47 %. Karena Δ Max $<\Delta$ Kritis maka persamaan distribusi dapat diterima.

Tabel 4.10. Uji distribusi Smirnov Kolmogorov

No	Curah Hujan (x)	Probabilitas Distribusi Empiris, Pe	Probabilitas Distribusi Teoritis, Pt	D Pe-Pt
	(mm)	(%)	(%)	(%)
1	61.25	92.857	95.428	2.571
2	70.25	85.714	91.902	6.188
3	71.37	78.571	90.595	12.024
4	72.25	71.429	47.789	23.640
5	75.50	64.286	44.266	20.020
6	83.00	57.143	43.481	13.662
7	83.75	50.000	43.087	6.913
8	84.00	42.857	41.897	0.960
9	84.50	35.714	29.372	6.343
10	86.78	28.571	23.552	5.019
11	118.13	21.429	21.925	0.497
12	121.25	14.286	19.835	5.549
13	131.75	7.143	3.915	3.227
		N HOST IN	Δ Max (%) =	23.64

Sumber: Perhitungan

4.1.3 Analisa Debit Banjir Rancangan

4.1.3.1 Koefisien Limpasan

Angka koefisien limpasan merupakan indikator apakah suatu DAS telah mengalami gangguan. Besar kecilnya nilai C tergantung pada permeabilitas dan kemampuan tanah dalam menampung air. Nilai C yang besar menunjukkan bahwa lebih banyak air hujan yang menjadi limpasan.

Koefisien limpasan permukaan pada kajian ini dihitung berdasarkan pola penggunaan lahan. Karena tata guna lahan pada DAS Cideres Deet termasuk campuran, maka nilai tetapan C diberi bobot (weighted) untuk memperoleh nilai rata-rata tertimbang dengan menggunakan rumus (2-14). Perhitungan selengkapnya dapat dilihat pada tabel 4.11.

Tabel 4.11. Perhitungan koefisien limpasan pada DAS Cideres Deet

No	Penggunaan Lahan	Luas (km²)	% Luas	C	C x %Luas
1	Sawah Irigasi	8.200	36.323	0.6	21.794
2	Gedung dan Pemukiman	3.620	16.036	0.7	11.225
3	Tanah Tegalan	5.409	23.960	0.6	14.376
4	Kebun	4.477	19.833	0.4	7.933
5	Semak Belukar/Rumput	0.869	3.847	0.6	2.308
SA	PHOREN	22.575	100.000		59.666

4.1.3.2 Intensitas Hujan

4.1.3.2.1. Distribusi Hujan Jam-jaman

Berdasarkan hasil pengamatan data sebaran hujan di Indonesia, hujan terpusat tidak lebih dari 7 (tujuh) jam, maka dalam perhitungan ini diasumsikan hujan terpusat maksimum adalah 6 (enam) jam sehari. Sebaran hujan jam-jaman dihitung dengan menggunakan rumus Mononobe sebagai berikut seperti pada persamaan (2-15).

Contoh perhitungan:

$$t = 6 jam$$

$$T = 0.5 \text{ jam}$$

$$R_T = \frac{R_{24}}{t} \left[\frac{t}{T} \right]^{2/3} = 0,550.R_{24}$$

Perhitungan distribusi hujan pada setiap jam kejadian hujan terhadap curah hujan efektif 1 hari (R₂₄) mengunakan persamaan (2-15).

Untuk t = 0.5 maka

$$R_{t} = t.R_{t} - (t-1).R_{t-1} = 0.50$$

Tabel 4.12. Distribusi hujan jam-jaman

Jam Ke	Rasio	Komulatif
0.50	43.68%	43.68%
1.00	11.35%	55.03%
1.50	7.96%	63.00%
2.00	6.34%	69.34%
2.50	5.35%	74.69%
3.00	4.68%	79.37%
3.50	4.18%	83.55%
4.00	3.80%	87.36%
4.50	3.50%	90.86%
5.00	3.25%	94.10%
5.50	3.04%	97.14%
6.00	2.86%	100.00%

4.1.3.2.2. Curah Hujan Netto Jam-jaman

Setelah didapatkan rasio hujan jam-jaman maka kemudian dapat dihitung besarnya curah hujan efektif jam-jaman dengan menggunakan persamaan (2-17).

Contoh perhitungan kala ulang 2 tahun.

Curah hujan rencana 2 tahun = 88,24 mm

Koefisien pengaliran =0.597

Curah hujan netto = 52,68 mm

Tabel 4.13. Distribusi hujan netto jam-jaman

Jam	A ? E			Hujan Jam-jaman (mm)						
Ke	Rasio	Komulatif	1.0101							
			th	2 th	5 th	10 th	20 th	25 th	50 th	100 th
0.50	0.44	0.44	14.86	23.01	26.81	30.44	33.63	35.35	39.23	43.31
1.00	0.11	0.55	3.86	5.98	6.97	7.91	8.74	9.19	10.20	11.26
1.50	0.08	0.63	2.71	4.20	4.89	5.55	6.13	6.44	7.15	7.90
2.00	0.06	0.69	2.16	3.34	3.89	4.42	4.88	5.13	5.69	6.29
2.50	0.05	0.75	1.82	2.82	3.29	3.73	4.12	4.33	4.81	5.31
3.00	0.05	0.79	1.59	2.47	2.87	3.26	3.60	3.79	4.20	4.64
3.50	0.04	0.84	1.42	2.20	2.57	√2.92	3.22	3.39	3.76	4.15
4.00	0.04	0.87	1.29	2.00	2.33	2.65	2.93	3.08	3.42	3.77
4.50	0.03	0.91	1.19	1.84	2.15	2.44	2.69	2.83	3.14	3.47
5.00	0.03	0.94	1.10	1.71	1.99	2.26	2.50	2.63	2.92	3.22
5.50	0.03	0.97	1.03	1.60	1.86	2.12	2.34	2.46	2.73	3.01
6.00	0.03	1.00	0.97	1.51	1.75	1.99	2.20	2.31	2.57	2.83
Probabilitas Hujan										
Hariar	Harian		56.97	88.24	102.80	116.74	128.97	135.55	150.44	166.09
Koefis	ien Peng	Pengaliran 0.597 0			0.597	0.597	0.597	0.597	0.597	0.597
Hujan	Efektif		34.01	52.68	61.37	69.69	76.99	80.93	89.81	99.16

Sumber: Hasil Perhitungan

4.1.3.3 Hidrograf Satuan Sintetis Nakayasu

Pada kajian ini debit banjir rancangan dihitung dengan menggunakan metode hidrograf satuan sintetis Nakayasu dengan beberapa pertimbangan sebagai berikut :

- Metode Nakayasu adalah metode yang paling umum digunakan untuk menghitung a. banjir rancangan pada sungai-sungai besar di pulau Jawa.
- Dengan menggunakan metode ini maka kita dapat melihat hubungan curah hujan b. terhadap air larian dalam bentuk unit hidrograf.

Dalam kajian ini, perhitungan debit banjir rancangan pada DAS Cideres Deet dengan luas Das 22,179 km² dan panjang sungai utama sungai sebesar 19,920 km masih terbagi dalam sub DAS-sub DAS yang dibuat sebagai titik kontrol debit banjir sehingga debit banjir rancangan yang terjadi di sungai Cideres Deet dari hulu ke hilir dapat

dihitung dengan lebih detail. Penentuan lokasi perhitungan sub das - sub das tersebut ditentukan dari kondisi eksisiting dari daerah tersebut sehingga dapat diketahui debit banjir yang terjadi dari kejadian banjir yang terjadi. Pembagian sub DAS – sub DAS tersebut terbagi menjadi 6 bagian :

 $22,179 \text{ km}^2$ **DAS Cideres Deet** a.

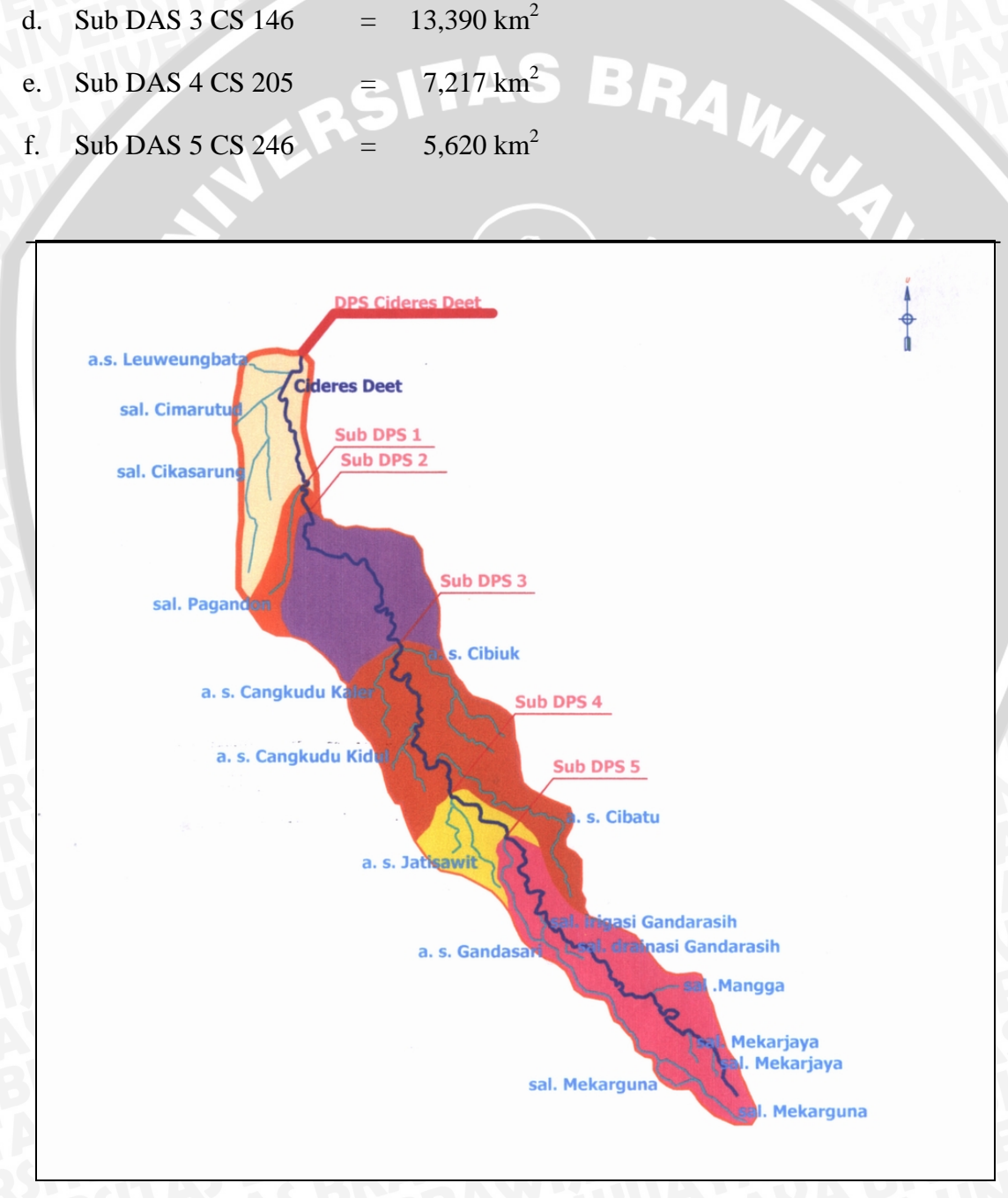
 18.826 km^2 Sub DAS 1 CS 58 b.

 $17,864 \text{ km}^2$ Sub DAS 2 CS 71 c.

 $13,390 \text{ km}^2$ Sub DAS 3 CS 146 d.

 $7,217 \text{ km}^2$ Sub DAS 4 CS 205 e.

 $5,620 \text{ km}^2$ f. Sub DAS 5 CS 246



Gambar 4.7. Pembagian DAS Cideres Deet

Contoh perhitungan banjir rancangan untuk kala ulang 2 tahun pada DAS Cideres Deet:

Beberapa parameter yang digunakan antara lain:

Luas DAS $22,179 \text{ km}^2$ 1.

2. Panjang Sungai = 19,920 km

Koefisien Limpasan 3. = 0,597

4. Curah Hujan Satuan (R_o) = 1 mm

5. Base flow diambil dari nilai rata-rata minimum debit pengamatan yaitu sebesar 1,2 m^3/dt . BRAWIUAL

Maka:

L > 15 km

$$Tg = 0.4 + (0.058.L)$$

$$= 0,4+(0,058.19,920)$$

$$Tr = 0.75.Tg$$

$$=$$
 0,75.

$$Tp = Tg+(0,8.Tr)$$

$$= 1,56 + (0,8.1,09)$$

$$T_{0,3} = \alpha . Tg$$

$$=$$
 0,78 jam

Berdasarkan persamaan (2-18), maka besarnya debit puncak adalah :

$$Q_p = \frac{A.R_0}{3.6.(0.3T_p + T_{0.3})}$$

$$=\frac{22,179.1}{3,6(0,3.2,43+0,78)}=4,09 \text{ m}^3/\text{dt}$$

1. Bagian lengkung naik

$$0 < t < T_p$$

$$Qt = Qp \left(\frac{t}{Tp}\right)^{2,4} = 4,09 \left(\frac{t}{2,43}\right)^{2,4}$$

Bagian lengkung turun

a. Tp
$$\leq$$
 t \leq (T_p+T_{0,3})
2,43 \leq t \leq (2,43+0,78)

$$Q_{(t)} = Q_p.0,3^{\frac{(t-Tp)}{T_{0,3}}} = 4,09.0,3^{\frac{(t-2,43)}{0,78}}$$

b.
$$(T_p+T_{0,3}) \le t \le (T_p+T_{0,3}+1.5 T_{0,3})$$

 $(2.43+T_{0,3}) \le t \le (2.43+0.78+1.5 .0.78)$

$$\begin{aligned} &2,43 \leq \mathsf{t} \leq (2,43+0,78) \\ &Q_{(t)} = Q_p.0,3^{\frac{(t-T_p)}{T_{0,3}}} = 4,09.0,3^{\frac{(t-2,43)}{0,78}} \\ &+ \mathsf{T}_{0,3}) \leq \mathsf{t} \leq (\mathsf{T}_p + \mathsf{T}_{0,3} + 1,5 \; \mathsf{T}_{0,3}) \\ &(2,43+\mathsf{T}_{0,3}) \leq \mathsf{t} \leq (2,43+0,78+1,5 \; .0,78) \\ &Q_{(t)} = Q_p.0,3^{\frac{(t-T_p+1,5T_{0,3})}{1,5T_{0,3}}} = 4,09.0,3^{\frac{(t-2,43+1,5.0,78)}{1,5.0,78}} \end{aligned}$$

c.
$$t > (Tp + T_{0,3} + 1,5 T_{0,3})$$

 $t > (2,43 + 0,78 + 1,5.0,78)$

$$Q_{(t)} = Q_p.0,3 \frac{(t-T_p+1,5T_{0,3})}{2.0T_{0,3}} = 4,09.0,3 \frac{(t-2,43=1,5.0,78)}{2.0.0,78}$$

Dari hidrograf satuan di atas kemudian dapat dihitung hidrograf banjir untuk berbagai kala ulang. Untuk perhitungan selengkapnya dapat dilihat pada lampiran.

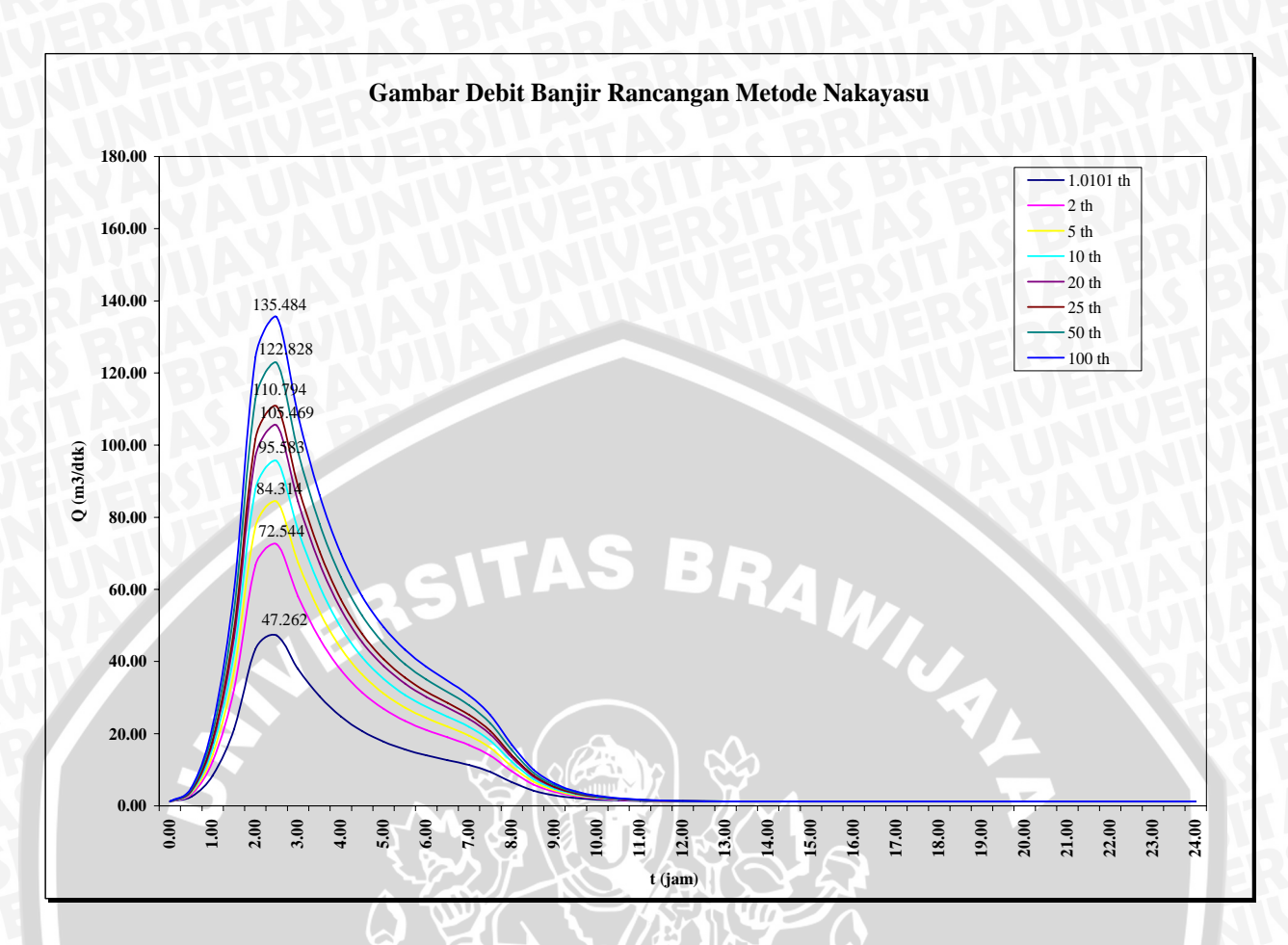
Tabel 4.14. Rekapitulasi debit banjir rancangan DAS Cideres Deet

Periode (Tahun)	Q m³/det		
1	70.095		
2	88.592		
5	125.512		
10	142.368		
20	157.154		
25	165.118		
50	183.117		
100	202.046		

Gambar 4.8. Hidrograf Banjir Rancangan DAS Cideres Deet

Tabel 4.15. Rekapitulasi debit banjir rancangan Sub DAS 1 CS 58

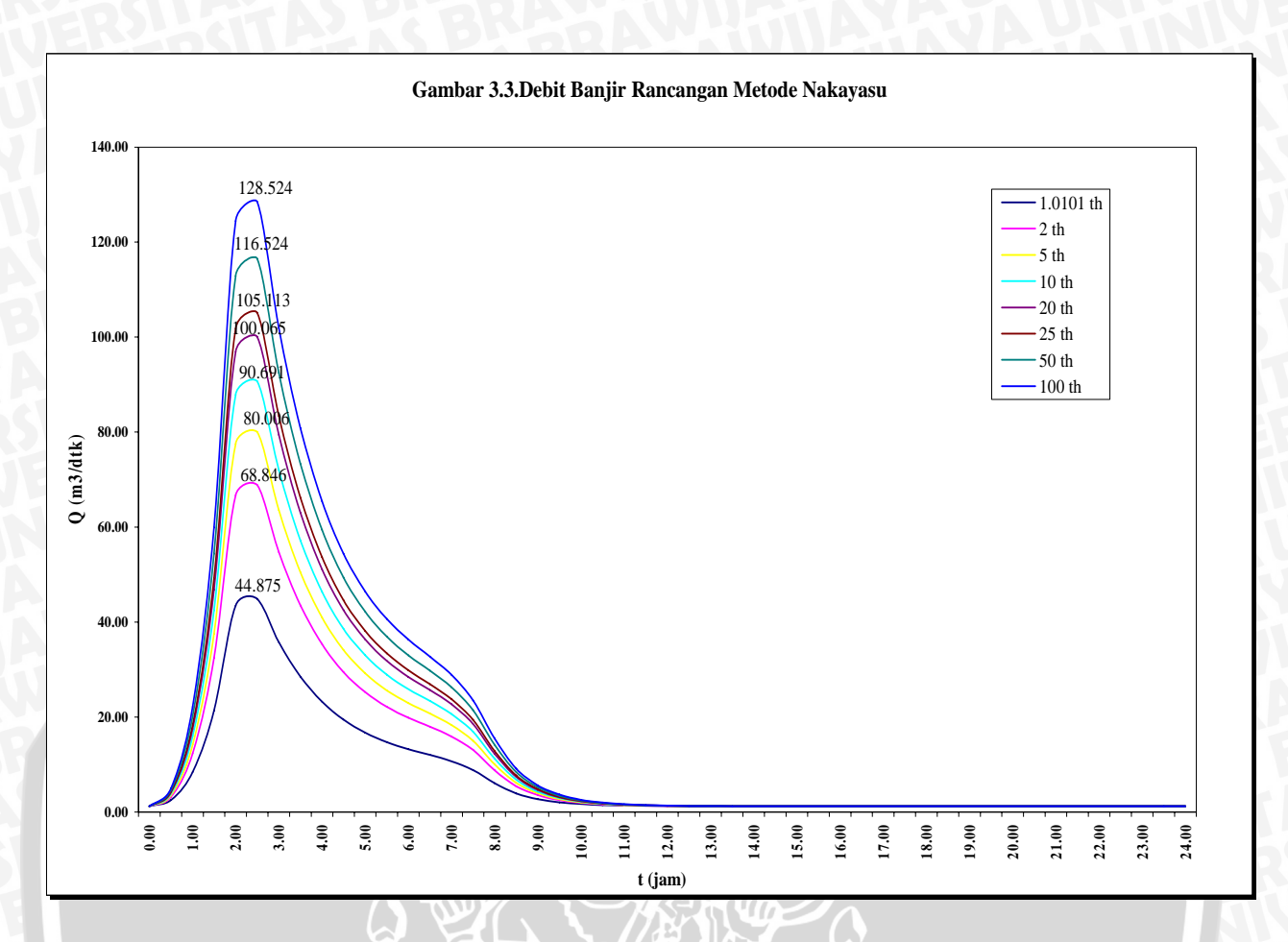
Periode (Tahun)	Q m³/det
5111	47.262
2	72.544
5	84.314
10	95.583
20	105.469
25	110.794
50	122.828
100	135.484



Gambar 4.9. Hidrograf Banjir Rancangan Sub DAS 1 CS 58

Tabel 4.16. Rekapitulasi debit banjir rancangan Sub DAS 2 CS 71

Periode (Tahun)	Q m³/det
1	44.875
2	68.846
5	80.006
10	90.691
20	100.065
25	105.113
50	116.524
100	128.524



Gambar 4.10. Hidrograf Banjir Rancangan Sub DAS 2 CS 71

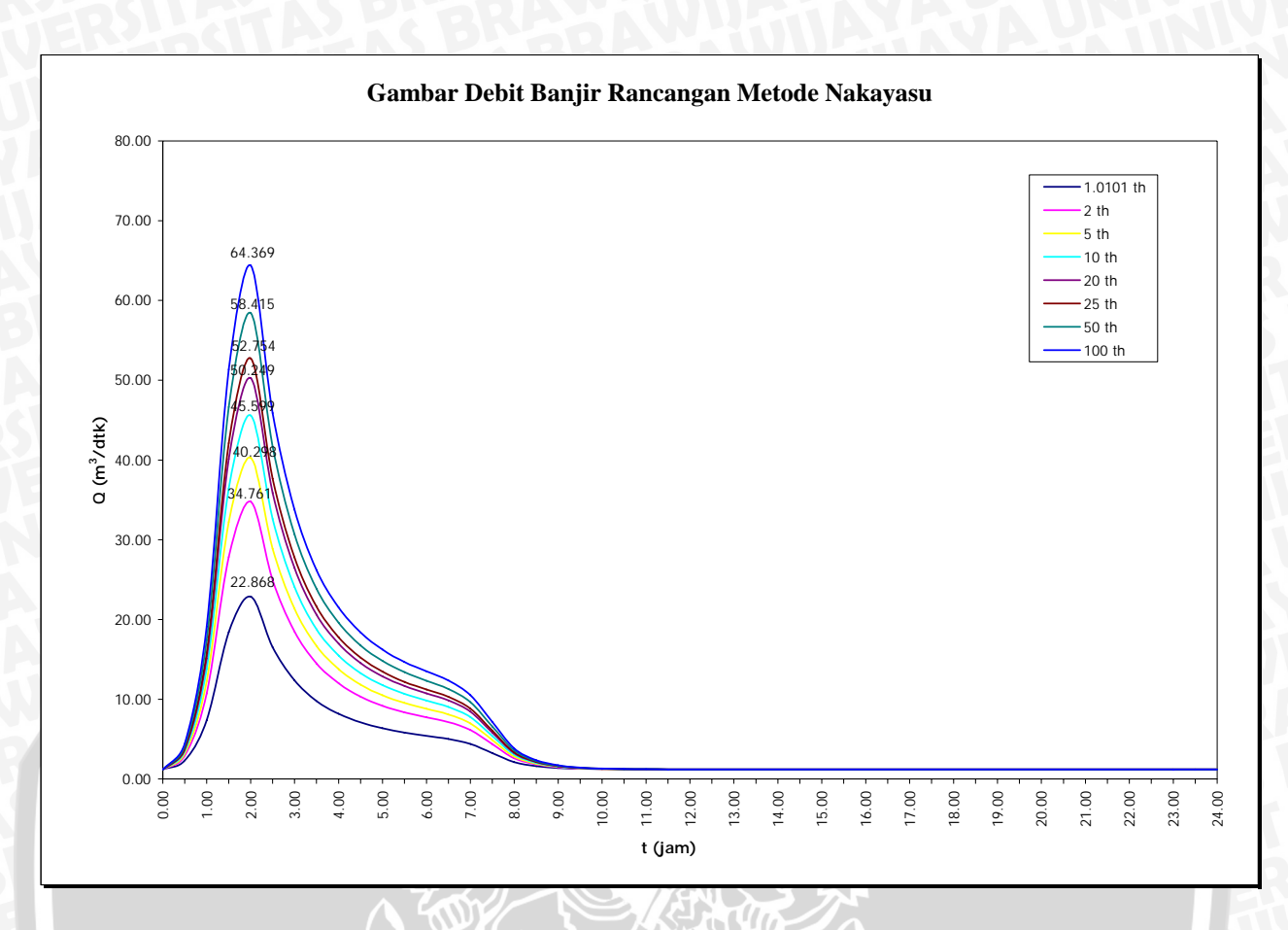
Tabel 4.17. Rekapitulasi debit banjir rancangan Sub DAS 3 CS 146

Periode	Q
(Tahun)	m ³ /det
1	40.017
2	61.322
5	71.241
10	80.738
20	89.068
25	93.555
50	103.697
100	114.362

Gambar 4.11. Hidrograf Banjir Rancangan Sub DAS 3 CS 146

Tabel 4.18. Rekapitulasi debit banjir rancangan Sub DAS 4 CS 205

Periode	Q
2 \ \ \ \ \ \ \ \ \ \ \ \ \ \ \ \ \ \ \	m³/det
(Tahun)	
AS 1	22.868
2	34.761
5	40.298
10	45.599
20	50.249
25	52.754
50	58.415
100	64.369



Gambar 4.12. Hidrograf Banjir Rancangan Sub DAS 4 CS 205

Tabel 4.19. Rekapitulasi debit banjir rancangan Sub DAS 5 CS 246

Periode	Q
(Tahun)	m³/det
3 1	18.248
2	27.605
5	31.961
10	36.132
20	39.791
25	41.762
50	46.216
100	50.900

Gambar 4.14. Skema debit Sungai Cideres Deet

4.2 Data Masukan Program HEC-RAS

Analisa profil aliran sepanjang sepanjang 19,92.km mulai patok 1 (muara sungai) sampai dengan patok 246 pada studi ini menggunakan paket program HEC-RAS 3.1.3. Rangkaian kegiatan yang harus dilakukan pada program ini adalah sebagai berikut:

- 1. Skematisasi system sungai
- 2. Penyiapan data masukan
- 3. Eksekusi program
- 4. Evaluasi hasil perhitungan

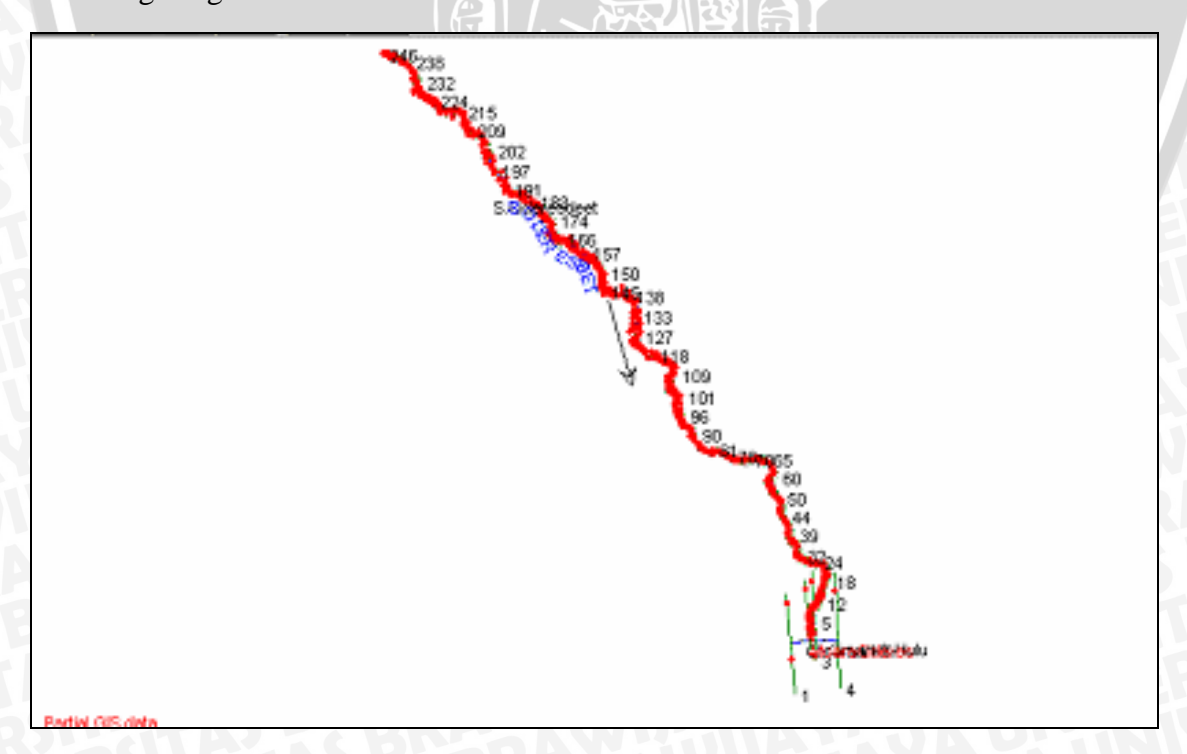
4.2.1. Data Geometri

Data utama yang dibutuhkan pada suatu sistem sungai antara lain data potongan melintang sungai, jarak antara potongan melintang (panjang jangkauan), koefisien kehilangan energi, dan data pada percabangan sungai.

a. Skema sistem sungai

Skema sungai menggambarkan berbagai variasi jangkauan sungai yang saling berhubungan. Pada program ini, skema sistem sungai merupakan data awal yang dibutuhkan sebelum data lain dimasukkan.

Setiap penampang sungai pada skema sistem sungai diberi nama stasiun sebagai identifikasi yang dapat berupa nama sungai dan nomor stasiun dimana penampang melintang sungai itu berada.



Gambar 4.15. Skema sistem sungai Cideres Deet

b. Geometri potongan melintang

Data penampang melintang digambarkan berupa titik-titik koordinat yang merupakan stasiun dan elevasi dari kiri ke kanan secara berurutan dan sistematis dari daerah hulu menuju hilir.

Sebagai data masukan pada program HEC-RAS, maka penyiapan data fisik sungai harus diperhatikan secara teliti karena akan mempengaruhi hasil keluaran perhitungan.

Secara umum profil Sungai Cideres Deet sangat beragam dan tidak beraturan. Hal ini dapat dilihat dari ketidak seragaman bentuk penampang sungai yang telah ada, dimana tebing-tebing pada setiap patok yang ada mempunyai kemiringan dan tinggi yang beraneka ragam.Data geometri selengkapnya disajikan pada lampiran.

c. Koefisien kekasaran Manning

Untuk menentukan angka kekasaran Manning dihitung berdasarkan kondisi sungai. Angka kekasaran Manning tersebut ditentukan berdasarkan rumus COWAN

$$n = m (n_b + n_1 + n_2 + n_3 + n_4)$$

Dari data didapatkan nilai kekasaran Manning untuk dasar saluran adalah 0,025 dan untuk tebing sungai adalah 0,020. Nilai koefisien kekasaran tersebut diambil dengan anggapan bahwa disekitar penampang sungai terdapat rerumputan.

4.2.2. Data Aliran tetap (steady flow data)

Data aliran ini diberikan untuk menampilkan perhitungan profil muka air. Data aliran ini terdiri dari : kondisi batas dan informasi debit puncak.

a. Kondisi Batas (Boundary Condition)

Kondisi batas diperlukan untuk menetapkan permukaan air pada akhir dari sistem sungai (hulu dan hilir). Terdapat empat macam kondisi batas :

1. Elevasi muka air yang diketahui

Kondisi batasnya merupakan elevasi muka air yang diketahui untuk setiap potongan melintang yang akan dihitung.

2. Kedalaman kritis

Jika kondisi batas ini yang dipilih, maka program akan menghitung kedalaman kritis untuk setiap potongan melintang dengan sendirinya dan akan menggunakannya sebagai kondisi batas.

3. Kedalaman normal

Untuk tipe kondisi batas ini, harus diketahui energi kemiringan yang akan digunakan pada perhitungan kedalaman kritis (menggunakan persamaan Manning). Pada umumnya energi kemiringan didapat dengan pendekatan rata-rata kemiringan saluran atau rata-rata kemiringan muka air pada penampang potongan melintang sungai.

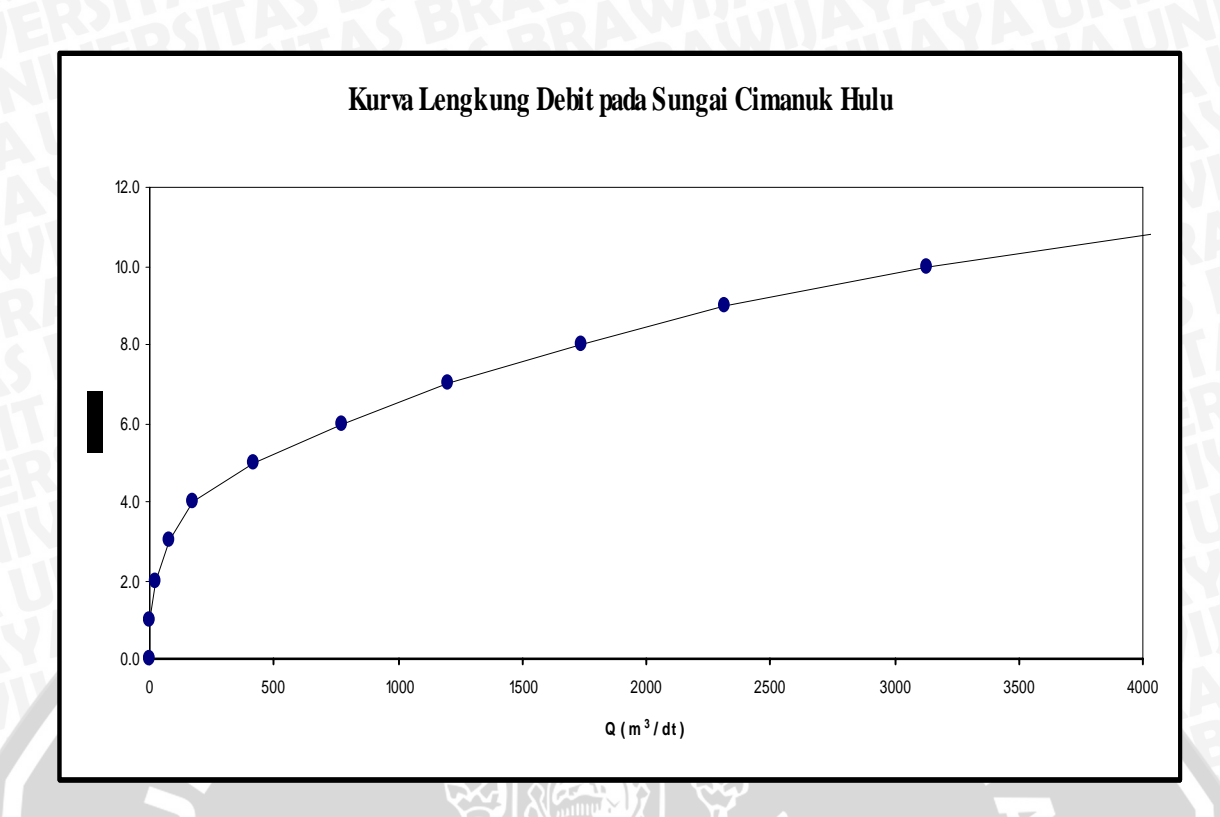
4. Rating kurva

Kondisi batas yang digunakan adalah kurva hubungan antara debit dengan elevasi. Untuk setiap penampang melintang elevasi diperoleh dengan cara menginterpolasi dari rating kurva dengan memasukkan besarnya debit.

Pada percabangan sungai Cideres Deet dengan Sungai Cimanuk, besarnya debit di Sungai Cimanuk dihitung dengan menggunakan rating curve sebagai berikut :

Tabel 4.20. Perhitungan Debit Sungai Cimanuk Hulu

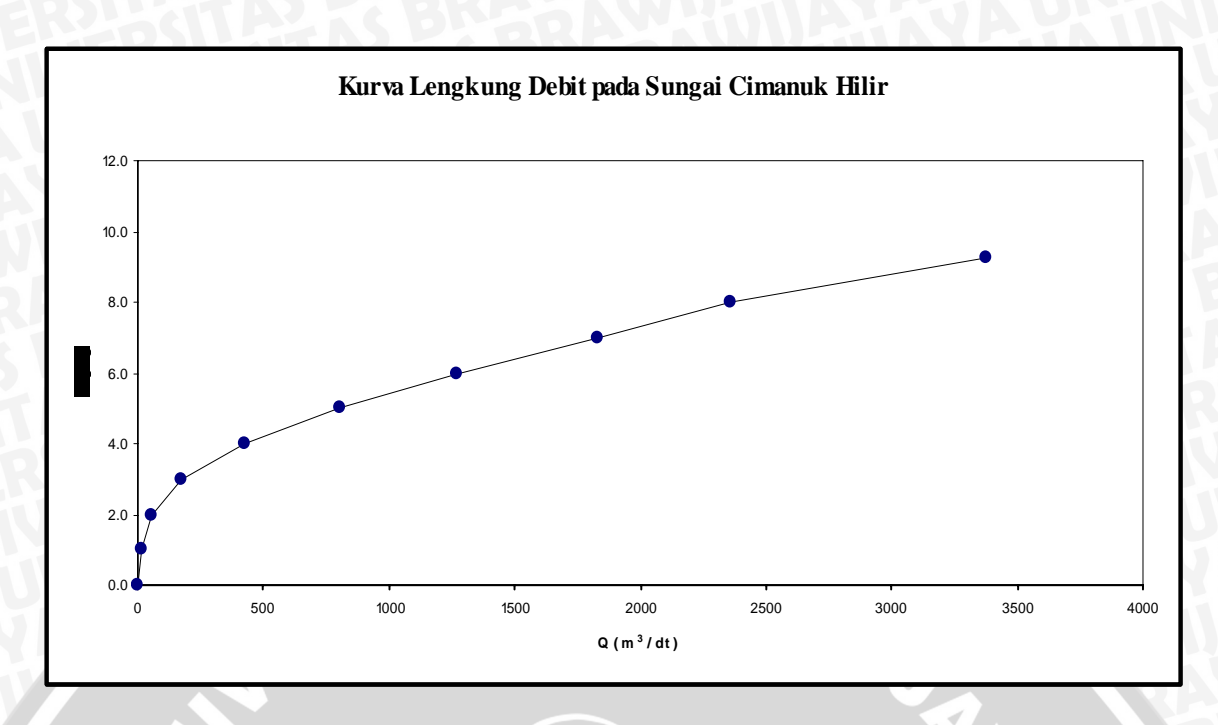
					\wedge		
Elevasi (m)	h (m)	n	P (m)	(m2)	S	V (m/dt)	Q (Eksisting) (m3/dt)
17.730	0.000	0.025	0.000	0.000	0.00185	0.000	0.000
18.730	1.000	0.025	7.370	3.536	0.00185	1.054	3.728
19.730	2.000	0.025	16.606	15.016	0.00185	1.609	24.157
20.730	3.000	0.025	22.361	33.439	0.00185	2.250	75.234
21.730	4.000	0.025	63.619	84.235	0.00185	2.075	174.747
22.730	5.000	0.025	73.980	151.723	0.00185	2.777	421.363
23.730	6.000	0.025	82.875	228.200	0.00185	3.380	771.297
24.730	7.000	0.025	93.902	313.388	0.00185	3.842	1204.117
25.730	8.000	0.025	106.396	410.917	0.00185	4.235	1740.283
26.730	9.000	0.025	125.132	520.076	0.00185	4.447	2313.011
27.730	10.000	0.025	140.394	653.155	0.00185	4.795	3131.666
28.570	10.840	0.025	143.795	769.037	0.00185	5.262	4046.331



Gambar 4.16. Kurva Lengkung Sungai Cimanuk Hulu

Tabel 4.21. Perhitungan Debit Sungai Cimanuk Hilir

			4		KER III.			
Elevasi	h	n 😞	P	A //	S	V	Q (Eksisting)	
(m)	(m)	A	(m)	(m2)		(m/dt)	(m3/dt)	
			7 (1)		XX/			
18.780	0.000	0.025	0.000	0.000	0.00185	0.000	0.000	
19.780	1.000	0.025	15.212	9.852	0.00185	1.288	12.689	
20.780	2.000	0.025	23.563	29.018	0.00185	1.977	57.359	
21.780	3.000	0.025	62.020	83.784	0.00185	2.102	176.154	
22.780	4.000	0.025	75.966	154.794	0.00185	2.765	428.043	
23.780	5.000	0.025	81.769	232.238	0.00185	3.450	801.323	
24.780	6.000	0.025	88.279	315.757	0.00185	4.024	1270.558	
25.780	7.000	0.025	95.108	404.989	0.00185	4.520	1830.514	
26.780	8.000	0.025	113.886	506.729	0.00185	4.654	2358.440	
28.050	9.270	0.025	126.828	656.292	0.00185	5.147	3378.030	



Gambar 4.17. Kurva Lengkung Sungai Cimanuk Hilir

b. Informasi Debit Puncak

Informasi debit ini digunakan untuk menghitung profil muka air. Data debit yang dimasukkan mulai dari daerah hulu sampai daerah hilir untuk setiap jangkauan. Nilai debit yang dimasukkan pada bagian hulu diasumsi akan konstan untuk penampang berikutnya kecuali nilai debit berubah untuk penampang tertentu. Dari data lapangan didapatkan besarnya debit pada sungai Cimanuk 1800-2200 m³/dt.

4.2.3. Hasil Running HEC-RAS

Dari hasil running HEC-RAS dapat diketahui ketinggian muka air sungai Cideres Deet dan tinggi limpasan muka air sungai jika kapasitas tampungan sungai tersebut tidak mencukupi. Dari data lapangan didapatkan bahwa pada saat terjadi banjir ketinggian muka air pada patok 71 sekitar 50 cm. Dari hasil simulasi program HEC-RAS untuk debit yang setara dengan banjir historis, tinggi limpasan sekitar 0,3 m. Berdasarkan uraian di atas dapat disimpulkan bahwa hasil keluaran HEC-RAS cukup representatif terhadap kondisi lapangan.



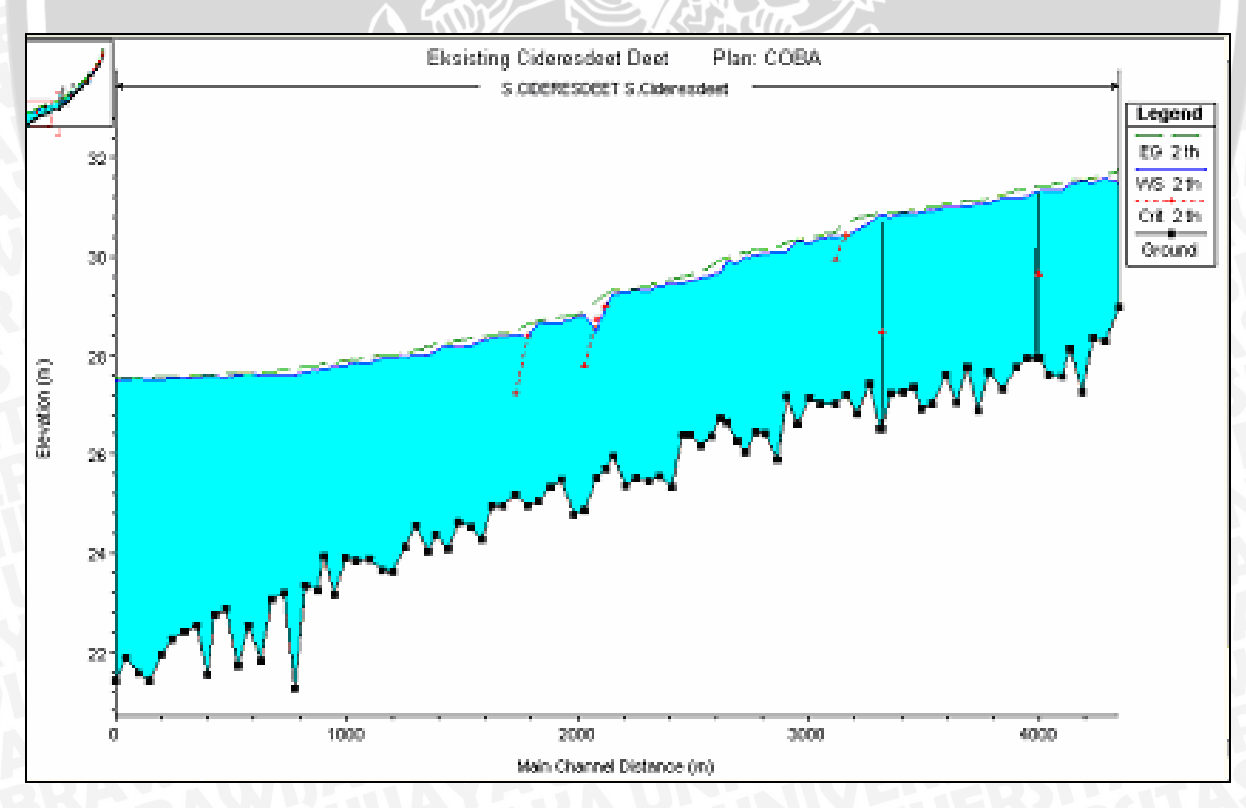
Gambar 4.19 Kondisi eksisting sungai Cideres Deet (CS 1-91) dengan Q_{25th}

Dari hasil running program HEC-RAS dapat diketahui bahwa dengan debit kala ulang 25 tahun hampir semua patok (dari 1-91) mengalami luber. Hal tersebut ditunjukkan oleh gambar 4.19, dimana kapasitas sungai sudah tidak mampu lagi

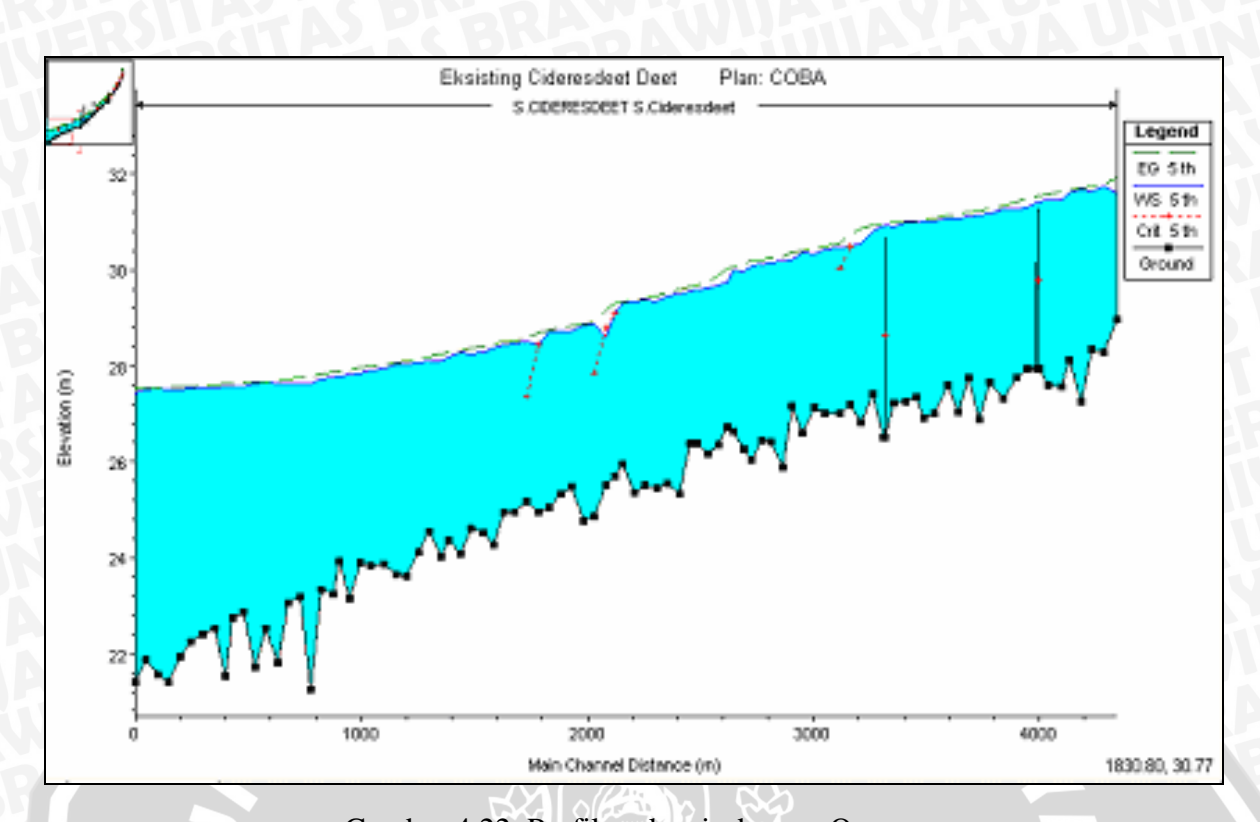
menampung debit banjir dengan kala ulang tersebut.. Rekapitulasi hasil perhitungan disajikan pada tabel 4.22 dan untuk tinggi luberan pada tiap-tiap patok dapat dilihat pada lampiran.

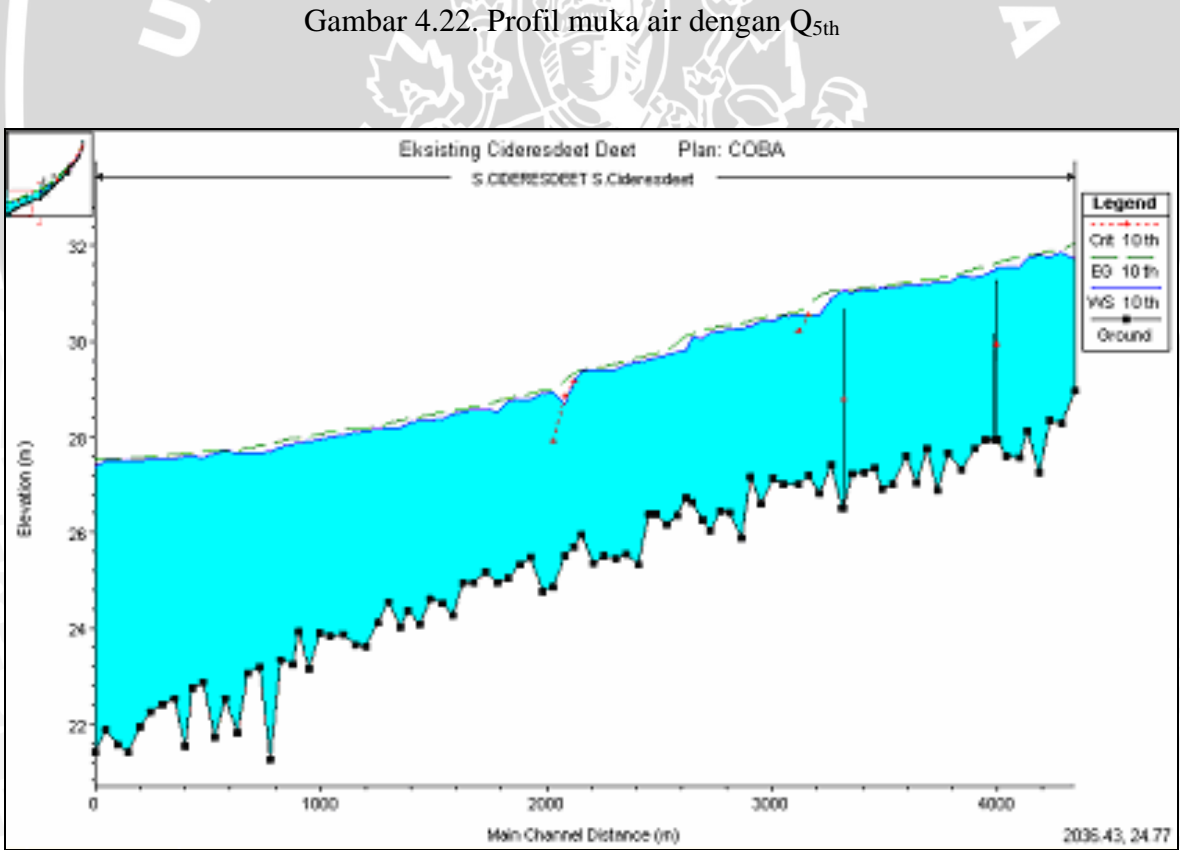
Tabel 4.22. Penampang sungai yang mengalami luberan dari hasil running program HEC-RAS

Patok-patok yang meluber
230,199,106,105,74-71,69,65-63,58,47-46,43,41,39,31,28,27,25,23,21,
16,13
230,211,204-203,201.5,199,193,179,173,170,167,165-164,158,109-
108,106-100,94,91,84-83,80-79,77-68,65-62,60-56,54-45,43,41-35,33-
31,28-25,23-20,18,16,13
230,211,204-203,202-201.5,199,193,179,173,170,167,165-
164,158,129,109-108,106-100,94,91,84-82,80-79,77-67,65-56,54-45,43,41-
31,29-25,23-20,18,16,13
230,228,211,204-201.2,199,193,189,184,179,173,170,167,165-163,159-158,
155.5,129,109-108,106-100,94,91-89,87-85.3,84-82,80-79,77-67,65-56,54-
45 ,43-31,29-18,16-15,13-12
240, 230, 228, 211, 205-201, 199-197, 193, 189, 184,180, 179,177, 176,173,
172,170, 167, 165, 163, 159-157, 155.5, 147, 136, 128, 109, 108, 106,105-
100,94,91-68,65-57,55-9,7,6.

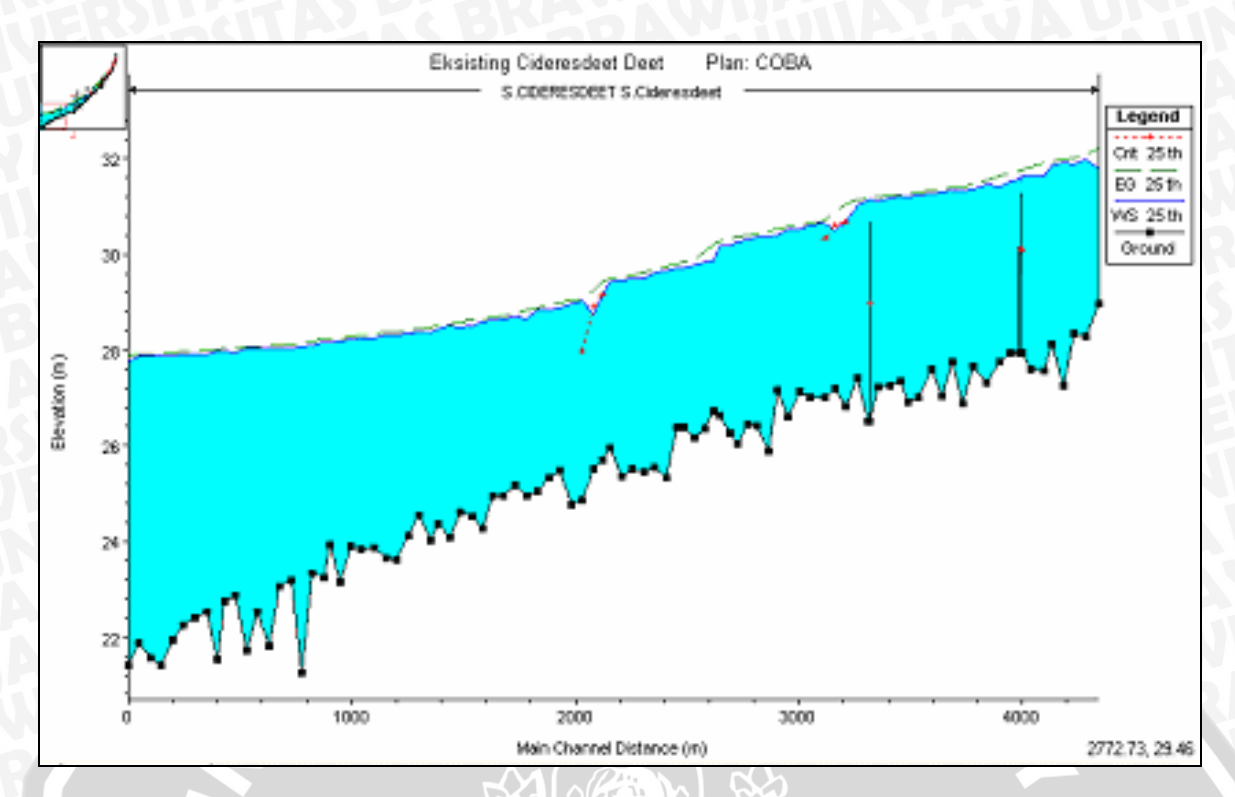


Gambar 4.21. Profil muka air dengan Q_{2th}





Gambar 4.23. Profil muka air dengan Q_{10th}



Gambar 4.24. Profil muka air dengan Q_{25th}

Upaya Penanganan

Dari hasil analisa profil muka air pada kondisi eksisting, dapat dikatahui bahwa daerah hilir (patok 6 s/d 91) merupakan daerah yang rawan terjadi banjir sedangkan pada daerah hulu (patok 92 s/d 246) hanya pada beberapa patok saja yang terjadi banjir.

Dalam kajian ini perencanaan pengendalian banjir tidak hanya ditujukan untuk mangatasi masalah banjir yang tiap tahun terjadi di Sungai Cideres Deet, akan tetapi juga direncanakan untuk mengatasi banjir dengan kala ulang 25 tahun sesuai dengan standar perencanaan perbaikan sungai.

Ada 2 alternatif perencanaan yang diusulkan dalam mengatasi masalah banjir di Sungai Cideres Deet.

- 1. Pembuatan tanggul di sisi sungai yang mengalami limpasan jika penampang sungai masih cukup untuk menampung debit yang lewat dengan kala ulang 25 tahun.
- 2. Perbaikan alur (perbaikan penampang) sungai jika bentuk penampang sungai sempit dan tidak beraturan sehingga aliran air sungai terhambat.

4.3.1. Perencanaan Tanggul

Sebelum merencanakan tanggul terlebih dahulu harus diperhatikan dengan teliti situasi sungai, sehingga dalam perencanaan pembuatan tanggul terutama penempatan tanggul akan sesuai dengan situasi sungai sesungguhnya dan juga tidak mengganggu masyarakat sekitar.

Dasar perencanaan tanggul adalah sebagai berikut :

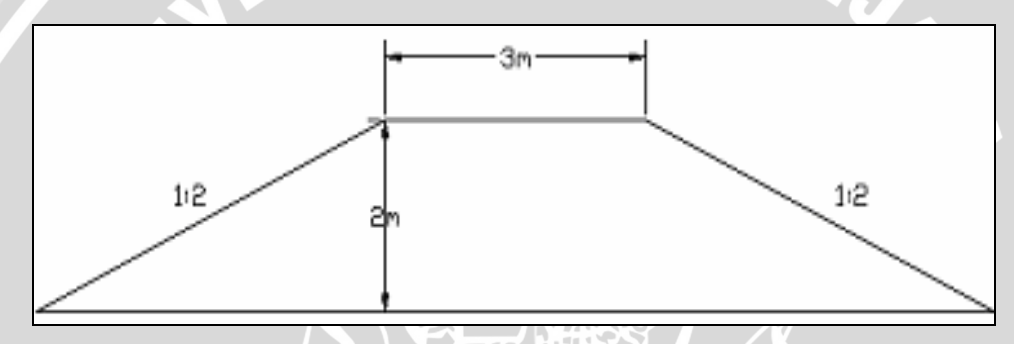
1. Debit rencana : Q 25 th

2. Bahan : Urugan tanah

3. Tinggi tanggul : 2 m (el.muka air rencana + tinggi jagaan)

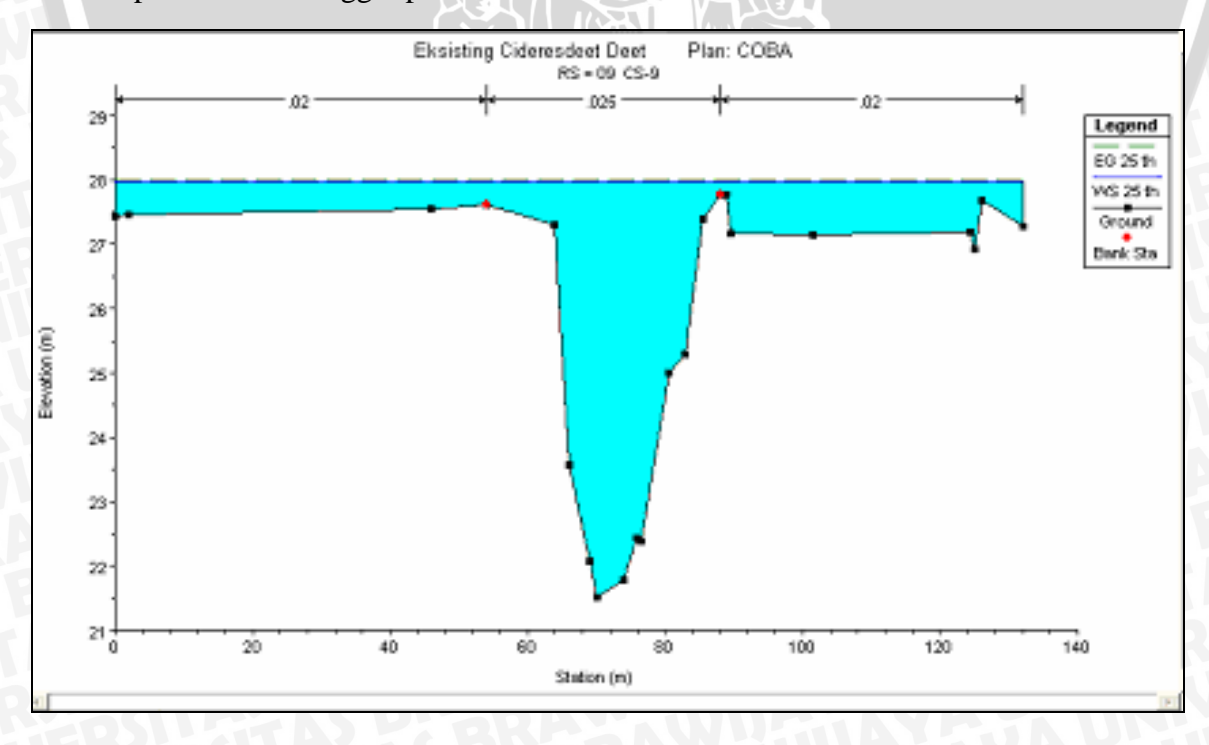
4. Tinggi jagaan : 1/3 tinggi muka air

Tanggul sungai direncanakan di sepanjang ruas sungai mulai patok 1 sampai dengan patok 16. Pada bagian hulu patok 92 sampai dengan 246, tanggul sungai ditempatkan pada patok-patok yang terdapat limpasan. Dimensi tanggul sungai disajikan pada gambar 4.24 dan selengkapnya terdapat pada lampiran.

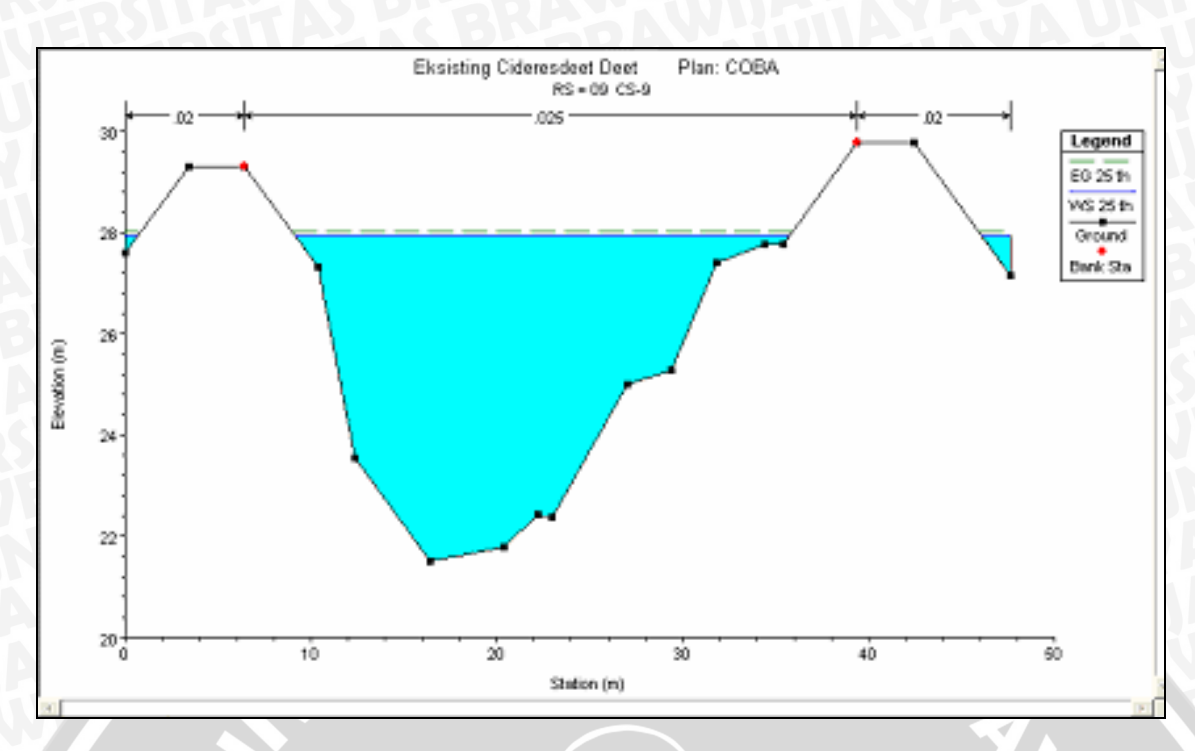


Gambar 4.25. Dimensi perencanaan tanggul sungai

Contoh perencanaan tanggul pada cross section 9



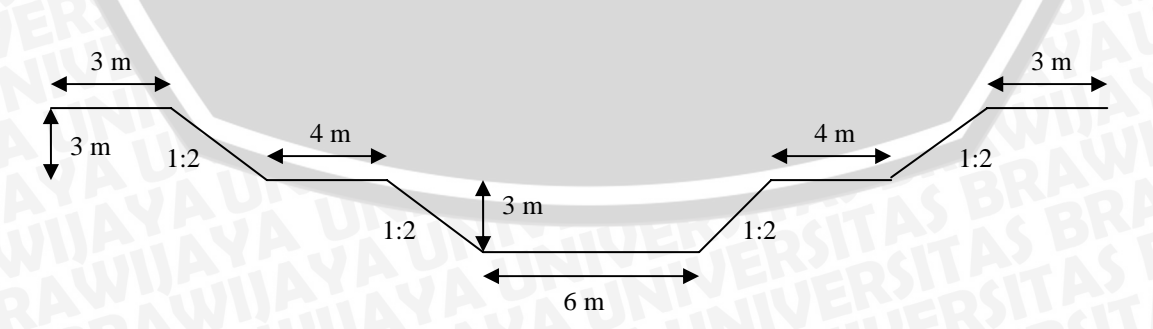
Gambar 4.26. Kondisi sungai eksisting pada cross section 9



Gambar 4.27. Kondisi sungai setelah dibangun tanggul pada cross section 9

4.3.2. Rencana Perbaikan Alur

Rencana perbaikan alur yang dimaksud adalah dengan melakukan perbaikan penampang sungai yang sempit. Bentuk penampang sungai direncanakan trapesium berganda, penampang I digunakan untuk mengalirkan debit Q_{2th} sedangkan penampang II untuk mengalirkan debit dengan Q_{25th}. Dalam menentukan dimensi penampang sungai harus diperhatikan morfologi sungai yang sudah ada untuk menjaga agar aliran debit rendah tetap ada. Untuk elevasi dasar sungai tetap menggunakan elevasi eksisting, sehingga kemiringan sungai (slope) tidak berubah. Perbaikan alur sungai yang direncanakan mulai patok 17 sampai dengan patok 91 dengan dimensi penampang sungai seperti gambar berikut:



Gambar 4.28. Dimensi perencanaan perbaikan penampang sungai

a. Debit banjir rencana

Untuk memperoleh debit banjir rencana (Qp), maka debit banjir hasil perhitungan ditambahkan dengan kandungan sedimen yang terdapat dalam aliran banjir

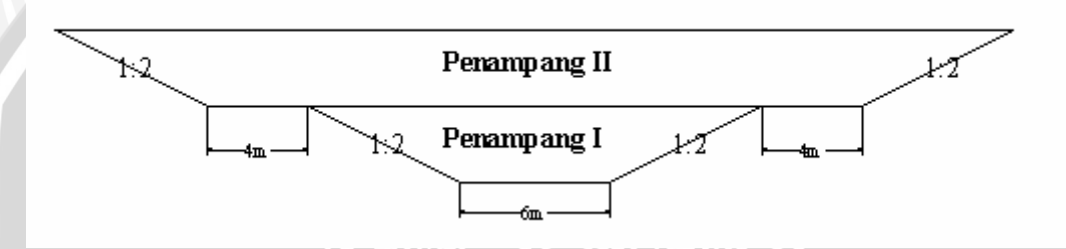
Debit banjir rencana = $165,118 \text{ m}^3/\text{dt}$

Qp = 1,1.165,118

 $= 181,630 \text{ m}^3/\text{dt}$

b. Kemiringan tebing sungai direncanakan 1:2. Kondisi ini menghindarkan tebing dari kelongsoran.

Contoh perhitungan perbaikan penampang sungai pada cross section 19



- Untuk penampang I (Q_{2th})

Luas penampang (A) $= 36 \text{ m}^2$

Kecepatan Aliran (V) = $1/n.R^{2/3}.S^{0.5}$

= $1/0,020.(1,85)^{2/3}.(0,00180)^{0,5} = 2,420 \text{ m/dt}$

Q penampang = $V.A = 99.34 \text{ m}^3/\text{dt}$

 $Q_{2th} = 88,529 \text{ m}^3/\text{dt}$

Qp = $1,1.88,529 = 97,382 \text{ m}^3/\text{dt}$

- Untuk penampang $I + II (Q_{25th})$

Luas penampang (A) = $36 + 48 = 84 \text{ m}^2$

Kecepatan Aliran (V) = $1/n.R^{2/3}.S^{0.5}$

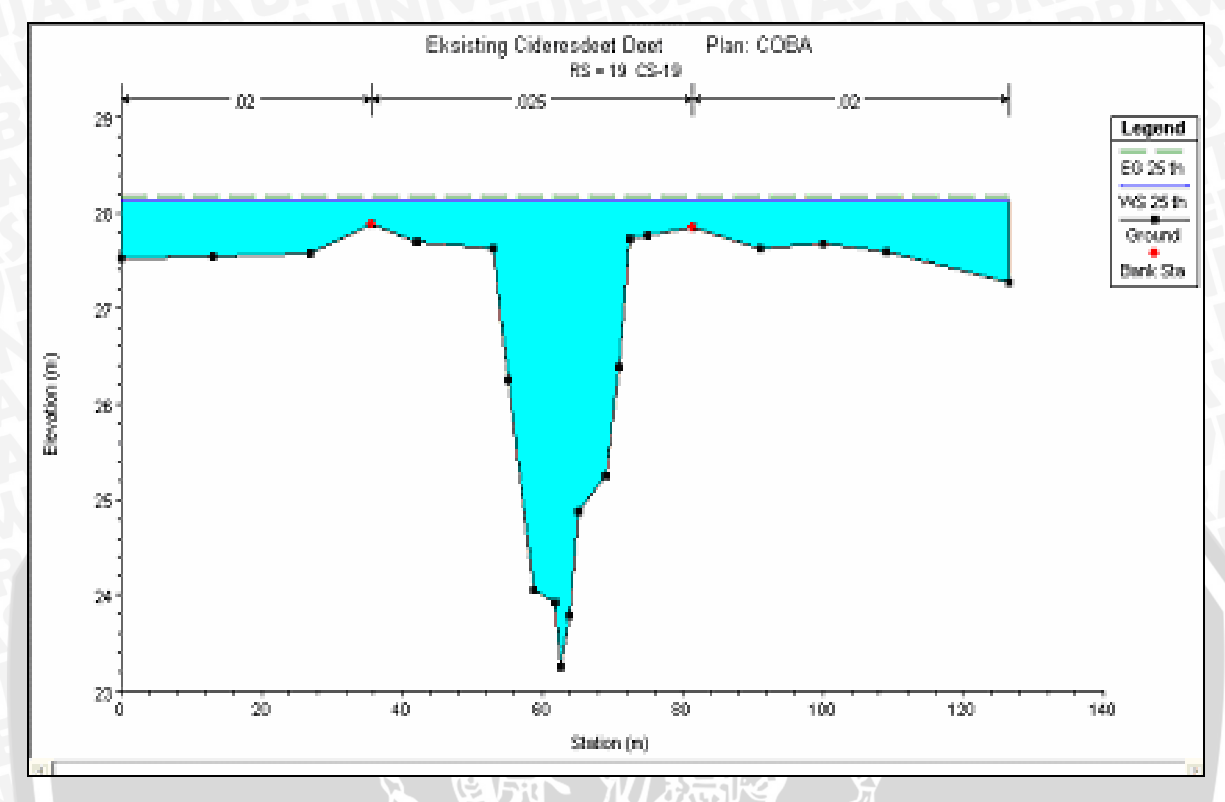
= $1/0,020.(2,057)^{2/3}.(0,00180)^{0,5} = 2,991 \text{ m/dt}$

Q penampang = $V.A = 251,365 \text{ m}^3/\text{dt}$

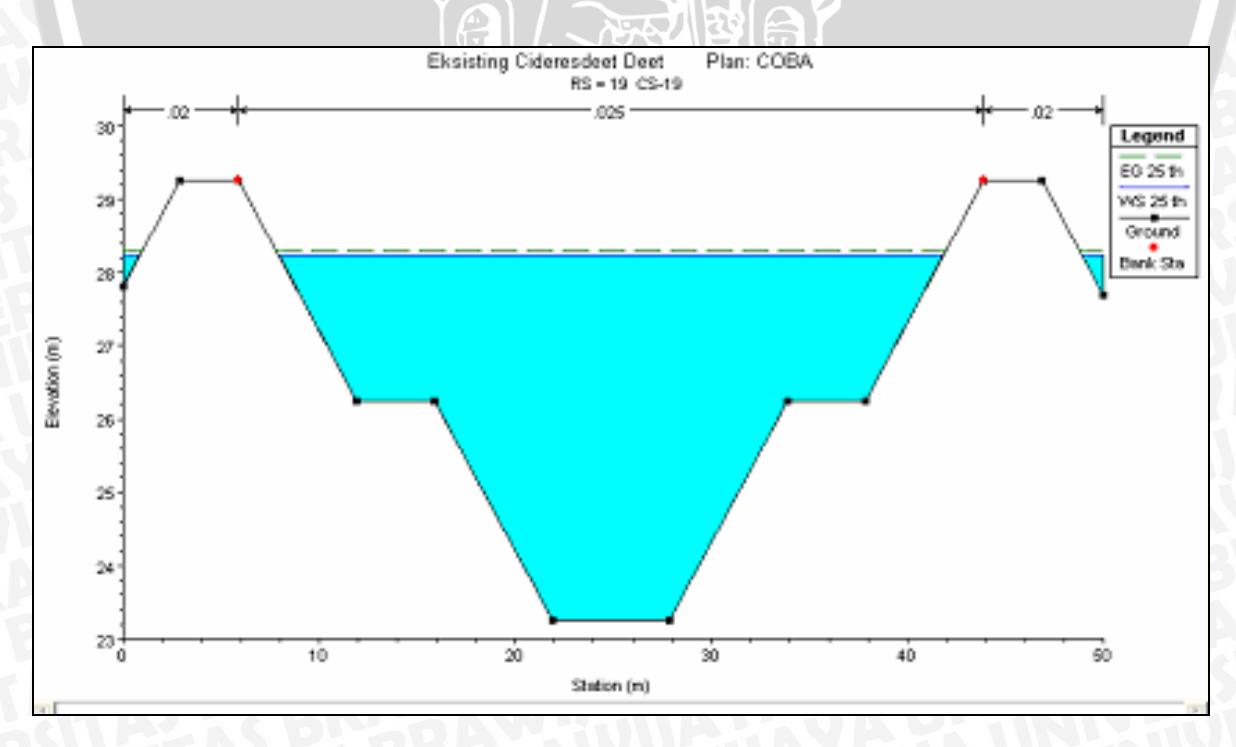
 $Q_{25th} = 165,118 \text{ m}^3/\text{dt}$

Qp = $1,1.165,118 = 181,630 \text{ m}^3/\text{dt}$

Jadi, kapasitas penampang yang direncanakan mencukupi untuk menampung debit dengan kala ulang 2 tahun untuk penampang I dan 25 tahun unruk penampang I+II. Contoh pelebaran dasar sungai pada cross section 19

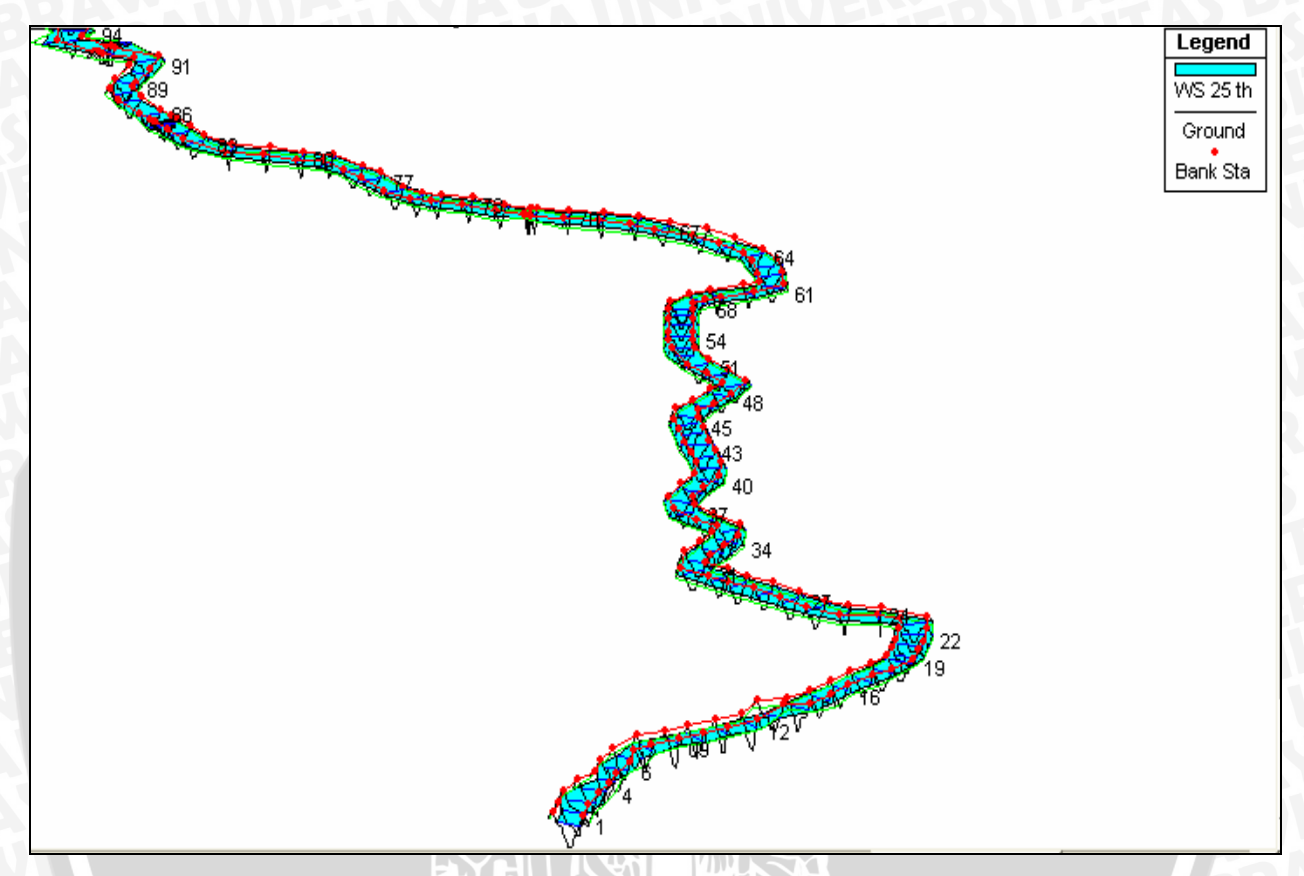


Gambar 4.29. Kondisi sungai eksisting pada cross section 19



Gambar 4.30. Kondisi sungai setelah dilakukan pelebaran penampang

Setelah dilakukan upaya pembuatan tanggul dan perbaikan penampang sungai dapat diketahui bahwa kapasitas tampungan sungai mencukupi untuk aliran debit dengan kala ulang 25 tahun. Hal itu dapat dilihat pada gambar 4.31, dimana sudah tidak ada luberan pada sampai dengan patok 91. Untuk selengkapnya disajikan pada lampiran.



Gambar 4.31. Kondisi sungai Cideres Deet setelah ada upaya penanganan (CS 1-91) dengan Q_{25th}

4.3.3. Perhitungan Kedalaman Gerusan pada Belokan

Pada sungai yang bermeander, gerusan akan terjadi pada sisi luar belokan dan pengendapan akan terjadi pada sisi dalam belokan. Terjadinya gerusan pada sisi luar belokan pada Sungai Cideres Deet dapat diketahui dengan menghitung besarnya kecepatan maksimum pada belokan untuk dibandingkan dengan kecepatan sungai pada bagian lurus.

Contoh perhitungan pada patok 87:

Diketahui: 2,36 m/dt

> Elevasi dasar sungai 27,56

> Elevasi muka air 31,59

Tinggi muka air
$$31,59-27,56 = 4,03 \text{ m}$$

$$= \frac{1}{n}.R^{1/6} = \frac{1}{0,02}.4,03^{1/6}$$
Koefisien Chezy
$$\Delta \qquad 33,58 \text{ (R} \sim \text{H)}$$

$$= 0,42.\alpha.(H/B).\left(\frac{g^{1/2}}{C}\right) = 0,42.50.(4,03/6).\left(\frac{9,81^{1/2}}{33,58}\right)$$

$$= 0,0929$$

$$\Delta.10^2 \qquad = 0,0929.100 = 9,29$$

dari gambar 2.13 dan 2.14 didapat nilai

$$V_{\text{max.}10}^2 = 5$$
, $2x/B = 0.48$, $V_b/V_o = 1.05$
 $V_b = 1.05.V_o = 1.05.2.36 = 2.48 \text{ m/dt}$
 $\frac{\tau_b}{\tau_o} = \frac{V_b^2}{V_o^2} = 1.10$

Karena kecepatan pada belokan dan tegangan geser mengalami peningkatan, maka terjadi gerusan pada patok tersebut. Perhitungan selanjutnya dapat dilihat pada tabel 4.23.

 Perhitungan kedalaman gerusan dengan memperhitungkan kecepatan pada belokan dan kecepatan rata-rata

$$d_s = H\left(\frac{V_b}{V_o} - 1\right) = 4,03\left(\frac{2,48}{2,36} - 1\right) = 0,2m$$

Perhitungan kedalaman gerusan dengan memperhitungkan nilai koefisien Kekasaran
 Manning (n) pada dasar dan tebing sungai.

$$H_1 = 3.93 \text{ m} (n=0.025)$$

$$d_s = 2(H_2-H_1) = 2(4,06-3,93) = 0,26 \text{ m}$$

$$d_{s \text{ rata-rata}} = \frac{0,20 + 0,26}{2} = 0,23m$$

Kedalaman pondasi yang disarankan $3d_s = 3.0,23 = 0,69 \text{ m} \sim 0,70 \text{ m}$

Perhitungan selanjutnya dapat dilihat pada tabel 4.24.



Gambar 4.32. Perkuatan tebing sungai yang tergerus menggunakan bronjong

Tabel 4.25. Evaluasi kestabilan alur sungai kondisi eksisting

No	No Section	Sudut belokan	В	Jari-jari eksisting		i teoritis r)	Evaluasi
1,0	T TO SCOTOR	∠(°)	(m)	(1)	min 4,5B	max 8B	Evaluati
1	86	88	6.00	18.95	27	48	Tdk stabil
2	84	65	6.00	25.33	27	48	Stabil
3	80	44	6.00	14.15	27	48	Tdk stabil
4	75	81	6.00	31.36	27	48	Stabil
5	73	65	6.00	37.33	27	48	Stabil
6	62	40	6.00	16.24	27	48	Tdk stabil
7	60	94	6.00	16.14	27	48	Tdk stabil
8	58	67	6.00	9.20	27	48	Tdk stabil
9	44	48	6.00	28.06	27	48	Stabil
10	33	49	6.00	49.08	27	48	Stabil
11	28	44	6.00	30.81	27	48	Stabil
12	23	92	6.00	21.63	27	48	Tdk stabil
13	21	50	6.00	36.80	27	48	Stabil
14	10	57 = 1	6.00	13.49	27	48	Tdk stabil
15	7	59	6.00	47.52	27	48	Stabil

Pada belokan sungai yang kondisi alurnya tidak stabil, saat perbaikan penampang harus disertai juga perbaikan alur sungai agar aliran air sungai tidak terhambat.

4.3.4. Stabilitas Tanggul

4.3.4.1.Daya Dukung Tanah

Tanah selalu mempunyai peranan penting pada suatu lokasi pekerjaan konstruksi. Bahan tanah urugan untuk tanggul dapat memanfaatkan tanah-tanah sekitar bantaran sungai-sungai yang akan dibangun tanggul, yang pada sungai Cideres Deet berupa lempung kelanauan dengan plastisitas tinggi. Parameter tanah yang dibutuhkan untuk menghitung daya dukung dan kestabilan lereng adalah sebagai berikut :

Berat isi $= \gamma_{\text{sat}} = 1,717 \text{ ton/m}^3$

Kohesi = c = 0.31 kg/cm² = 3.1 ton/m²

Sudut geser dalam $= \phi = 4.9^{\circ}$

Untuk menghitung daya dukung tanah digunakan rumus Terzaghi:

$$q_{ut} = c.Nc + \gamma.Df.Nq + 1/2\gamma.B.Ny$$

Karena jenis tanah pada bantaran sungai berupa lempung kelanauan, maka nilai yang digunakan Nc', Nq', dan N γ'.

Dengan $\phi = 4.9^{\circ}$, maka dari tabel koefisien daya dukung Terzaghi didapatkan nilai :

Nc' = 4.467

Nq' = 1.382

 $N\gamma' = 0$

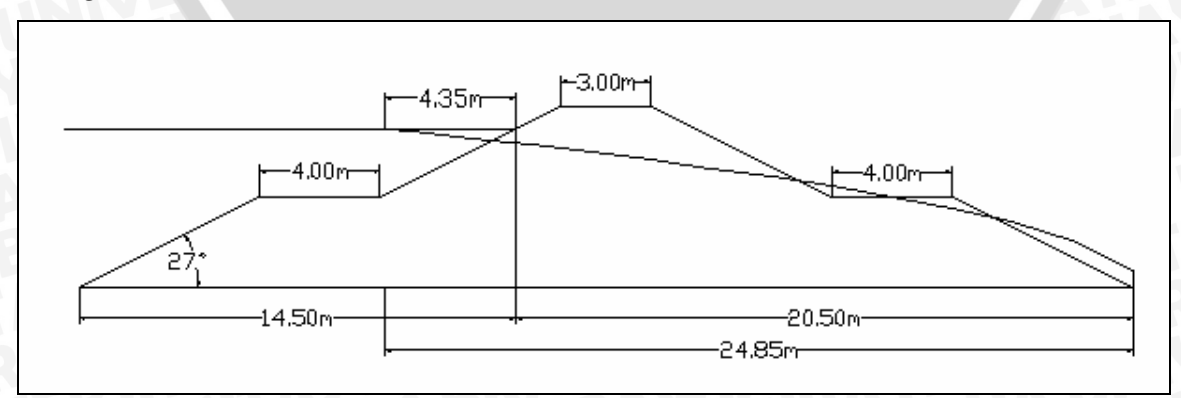
$$q_{ut} = c.Nc' + \gamma_{sat}.Df.Nq' + 1/2\gamma_{sat}.B.Ny'$$

= 3,1.4,467+1,717.0,5.1,382 +0 = 13,848 + 1,175 + 0

 $= 15.023 \text{ ton/m}^2$

4.3.4.2.Formasi garis depresi

Bila tedapat aliran rembesan di dalam tubuh tanggul, maka untuk menganalisa aliran rembesan diperlukan suatu formasi garis depresi dengan menggunakan Metode Casagrande.



Gambar 4.33. Formasi garis depresi

$$l_1 = 14,5 \text{ m}$$

$$l_2 = 20,5 \text{ m}$$

$$d = 0.3 l_1 + l_2 = 0.3.14.5 + 20.5 = 24.85 m$$

$$\alpha = 27^{\circ}$$

$$\alpha + \Delta \alpha = \frac{y_o}{1 - \cos \alpha}$$

Apabila kemiringan sudut lereng $< 30^{\circ}$, maka harga α

$$\alpha = \frac{d}{\cos \alpha} - \sqrt{\left(\frac{d}{\cos \alpha}\right)^2 - \left(\frac{h}{\sin \alpha}\right)^2}$$

$$= \frac{24,85}{\cos 27^\circ} - \sqrt{\left(\frac{24,85}{\cos 27^\circ}\right)^2 - \left(\frac{5,25}{\sin \alpha^\circ}\right)^2} = 0,42$$

$$0.47 + A\alpha = 0,549$$

$$0,47 + \Delta \alpha = \frac{0,549}{1 - \cos 27^{\circ}}$$
$$\Delta \alpha = 4,567m$$

$$y_0 = \sqrt{h^2 + d^2} - d = \sqrt{5,25^2 + 24,85^2} - 24,85$$

= 0,549 m

Maka garis parabola bentuk dasar (freatik) dpat dipeoleh dengan persamaan :

$$y = \sqrt{2yox + yo^2} = \sqrt{1,091x + 0,549^2}$$

Hasil perhitungan koordinat garis freatik dapat dilihat pada tabel 4.26 berikut.

Tabel 4.26. Nilai koordinat garis freatik

x	y
0	0.549
1	1.182
2	1.580
3	1.895
4	2.165
5	2.405
6	2.624
7	2.825
8	3.013
9	3.190
10	3.357
11	3.517
12	3.670

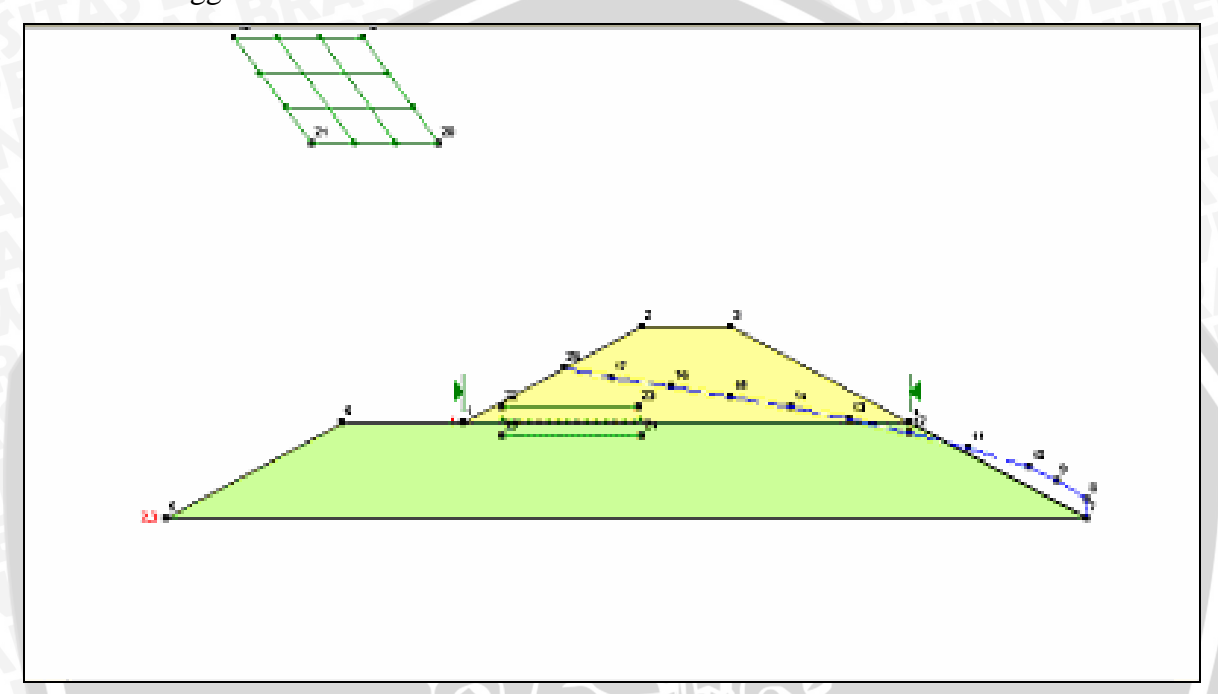
		y
1.	3	3.816
14	4	3.957
1:	5	4.093
10	6	4.225
1	7	4.353
18	8	4.477
19	9	4.598
20	\mathbf{C}	4.716
2	1	4.831
2:	2	4.943
2:	3	5.053
2	4	5.160

4.3.4.3. Stabilitas lereng tanggul

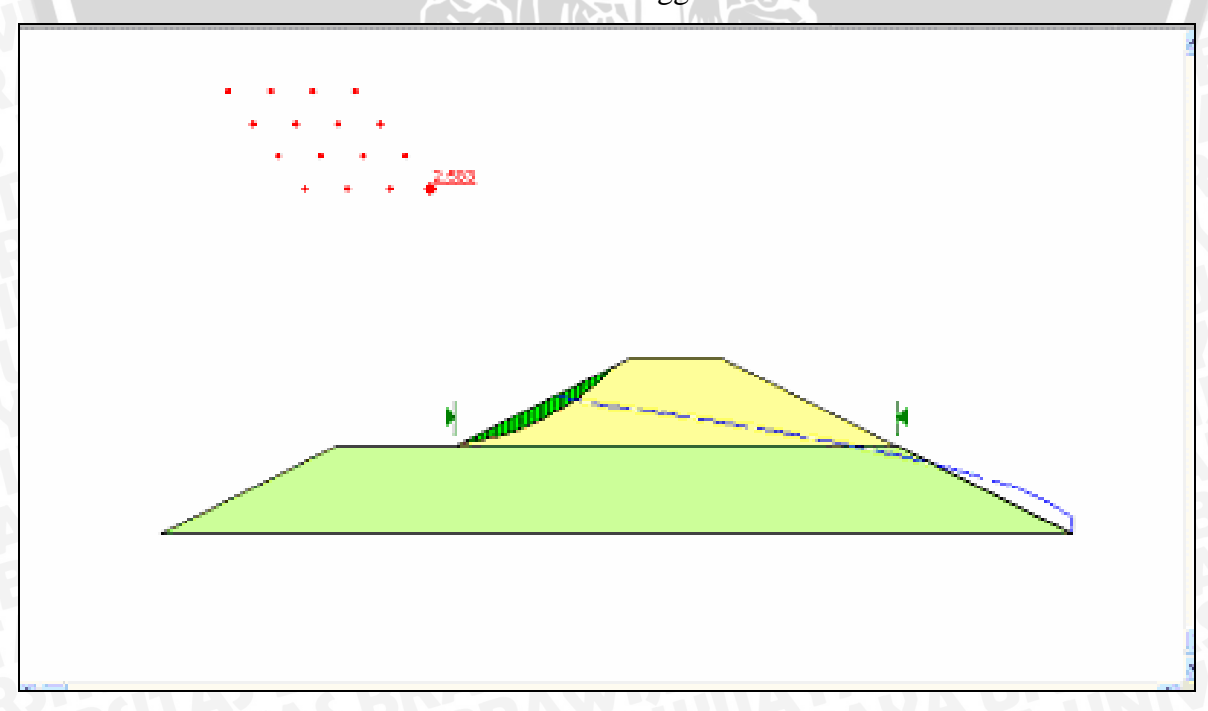
Untuk perhitungan stabilitas lereng tanggul digunakan program geoslope versi studi yang dalam perhitungannya menggunakan metode *Bishop, Janbu, Ordinary*, dan *Mergenstern Price*.

Hasil perhitungan nilai keamanan minimum (*safety factor*) tanggul kanan dan kiri dapat dilihat pada tabel 4.25-4.28.

Stabilitas tanggul kanan

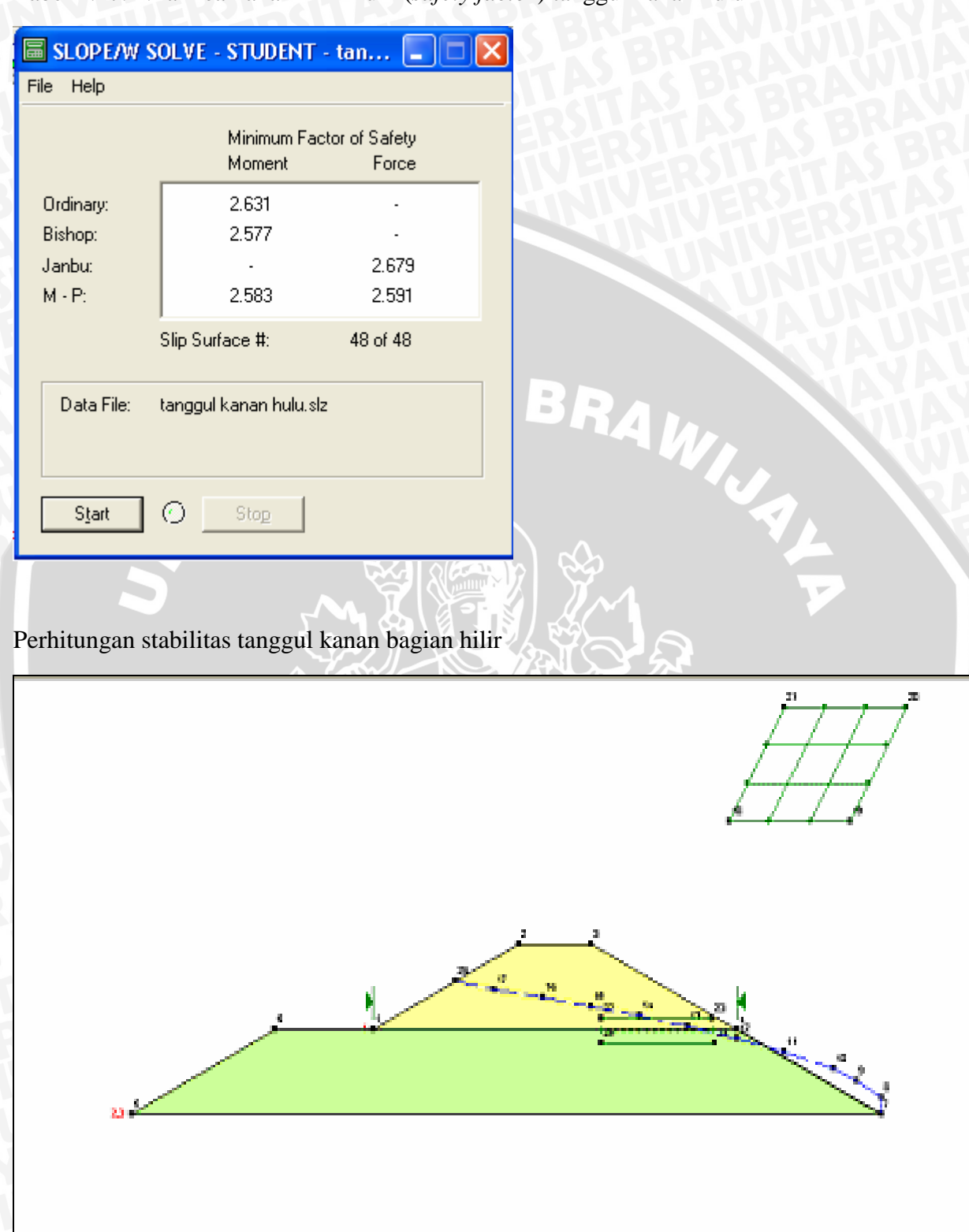


Gambar 4.34. Stabilitas tanggul kanan hulu

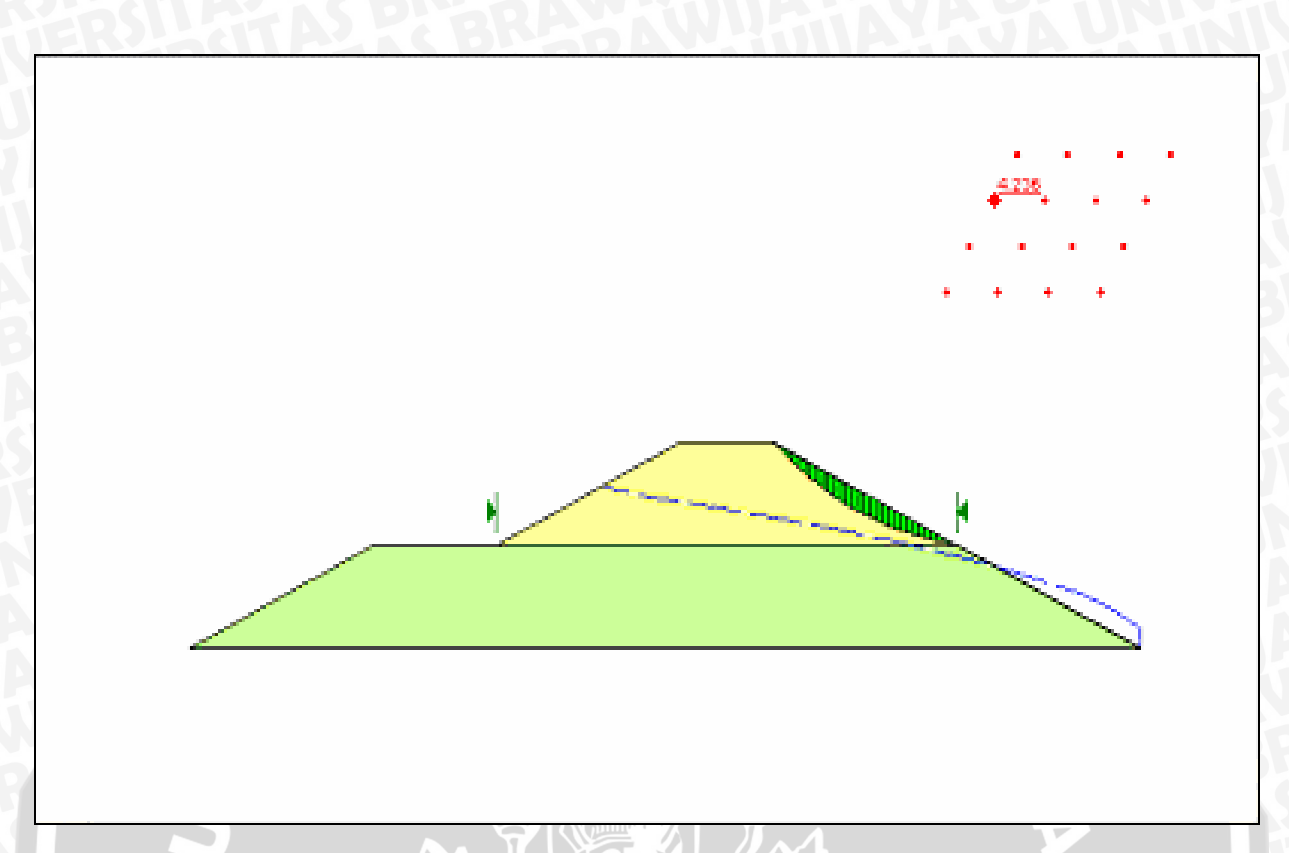


Gambar 4.35. Bidang longsoran tanggul kanan hulu

Tabel 4.27. Nilai keamanan minimum (safety factor) tanggul kanan hulu

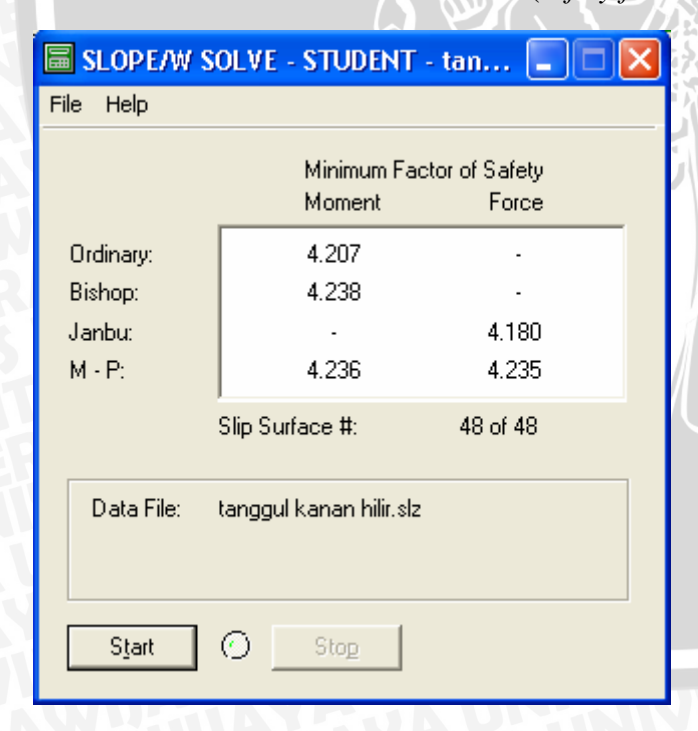


Gambar 4.36. Stabilitas tanggul kanan hilir

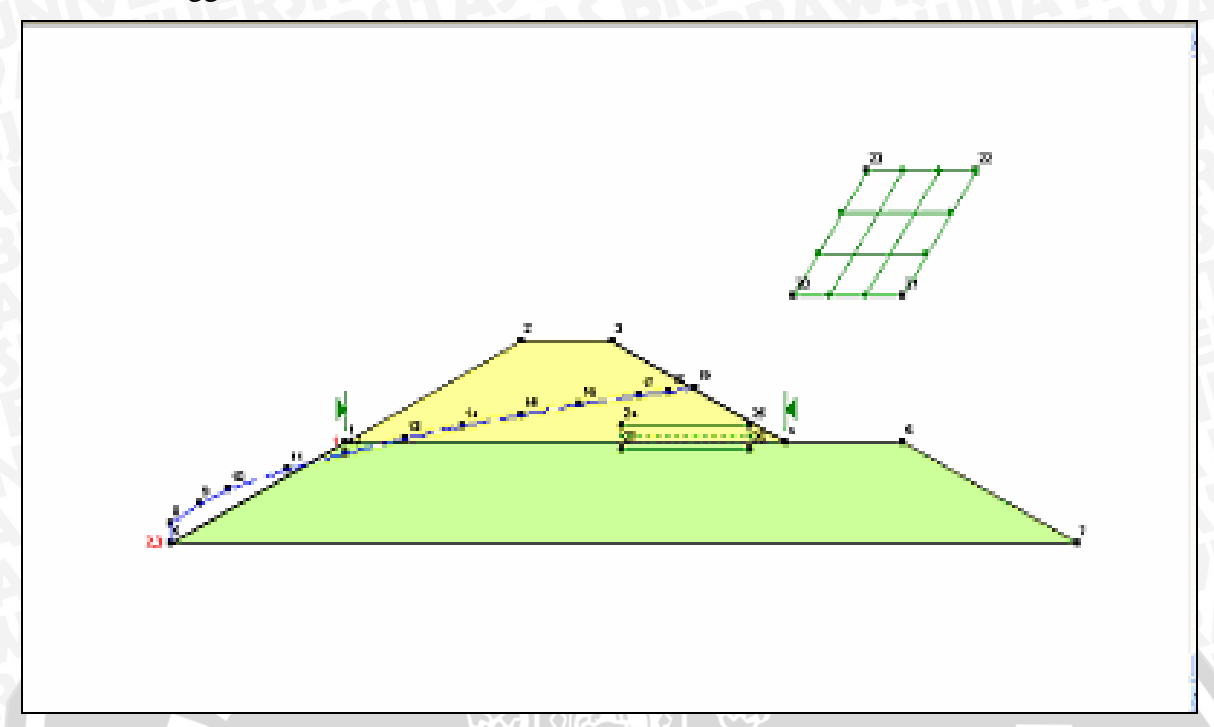


Gambar 4.37. Bidang longsoran tanggul kanan hilir

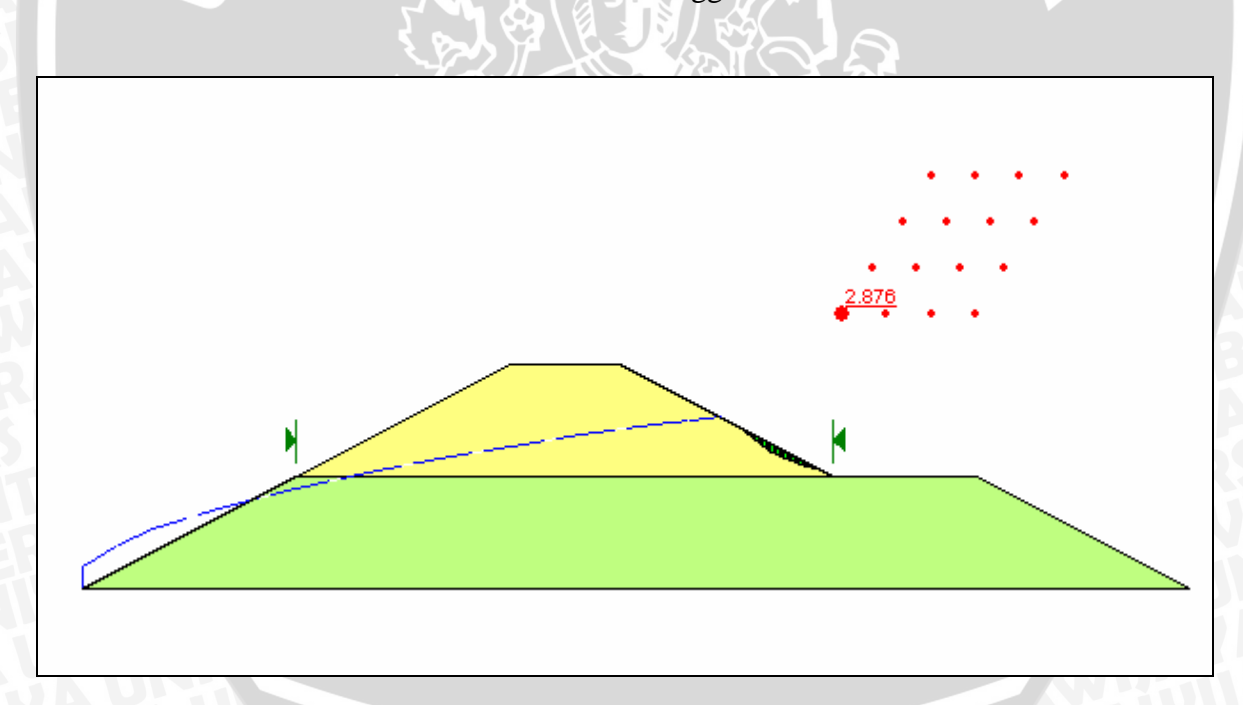
Tabel 4.28. Nilai keamanan minimum (safety factor) tanggul kanan hilir



Stabilitas tanggul kiri

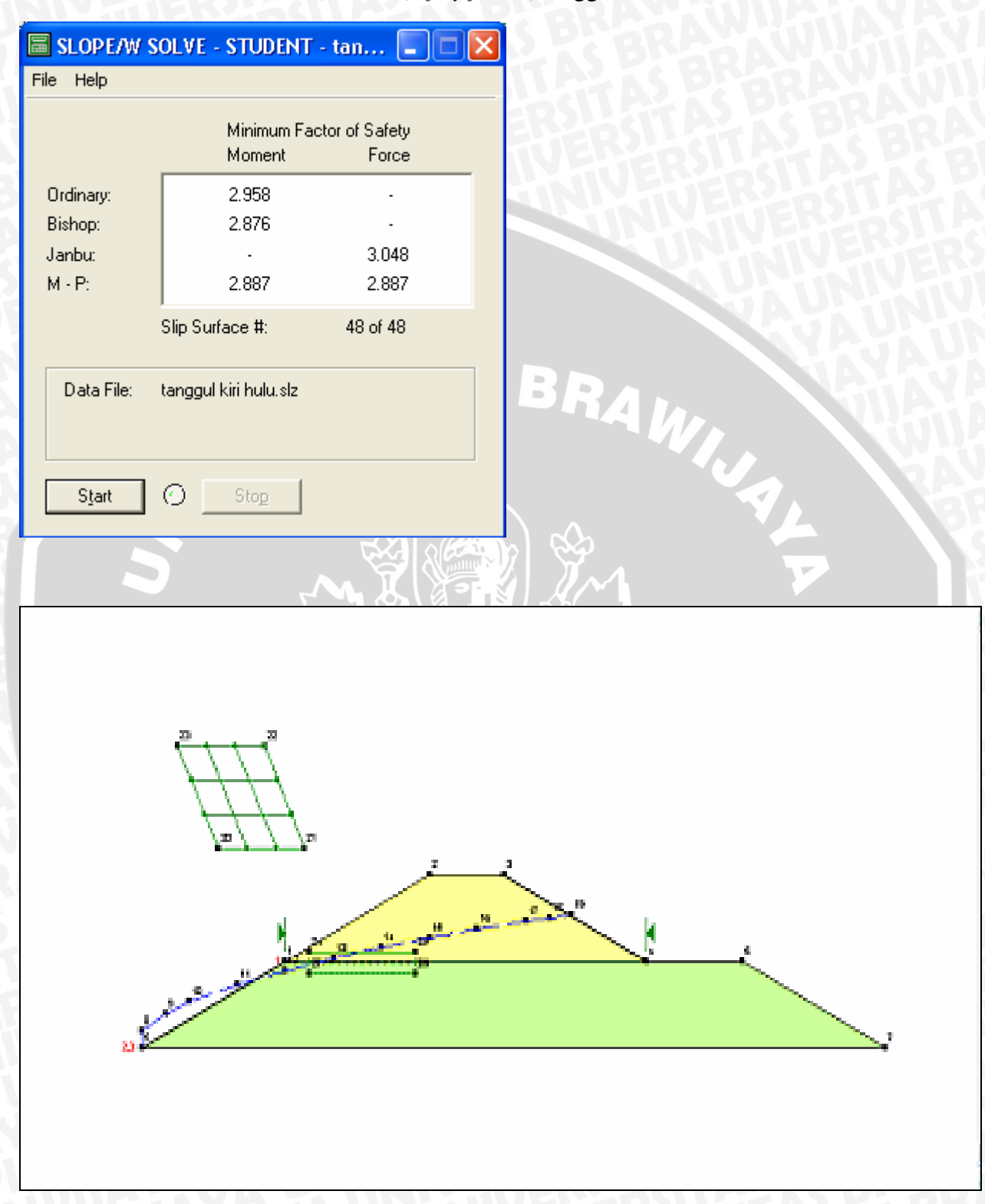


Gambar 4.38. Stabilitas tanggul kiri hulu

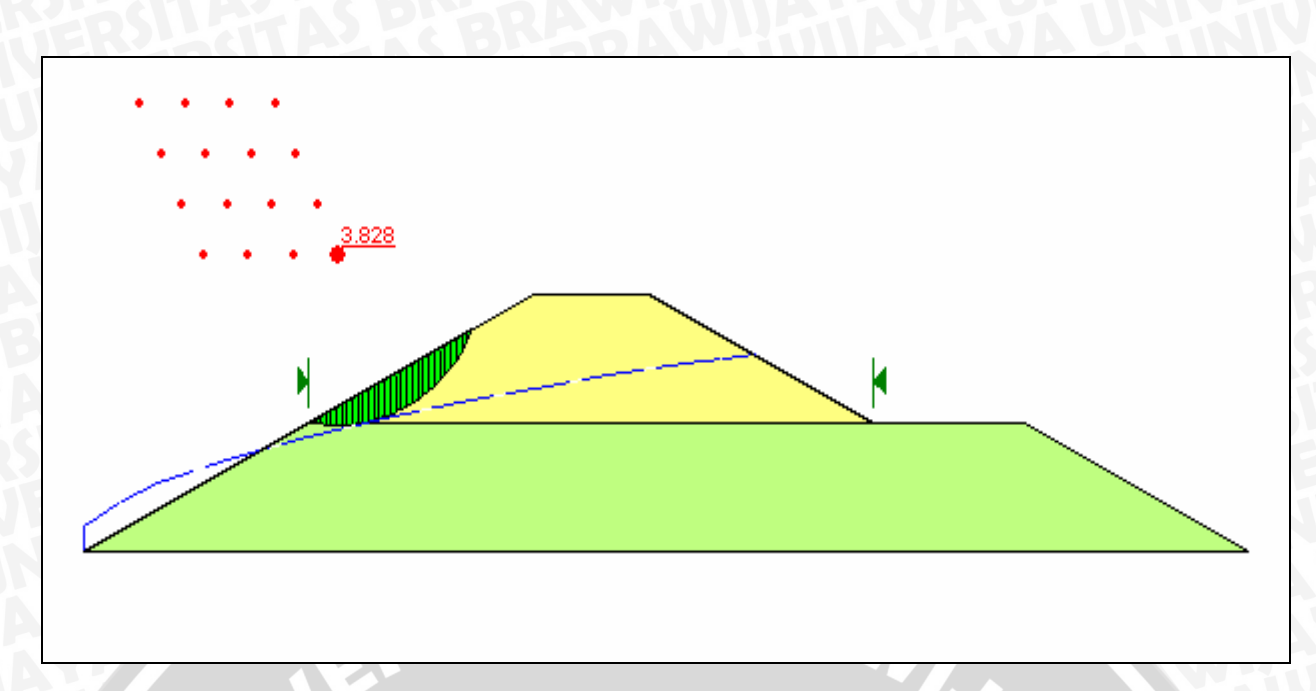


Gambar 4.39. Bidang longsoran tanggul kiri hulu

Tabel 4.29. Nilai keamanan minimum (safety factor) tanggul kiri hulu

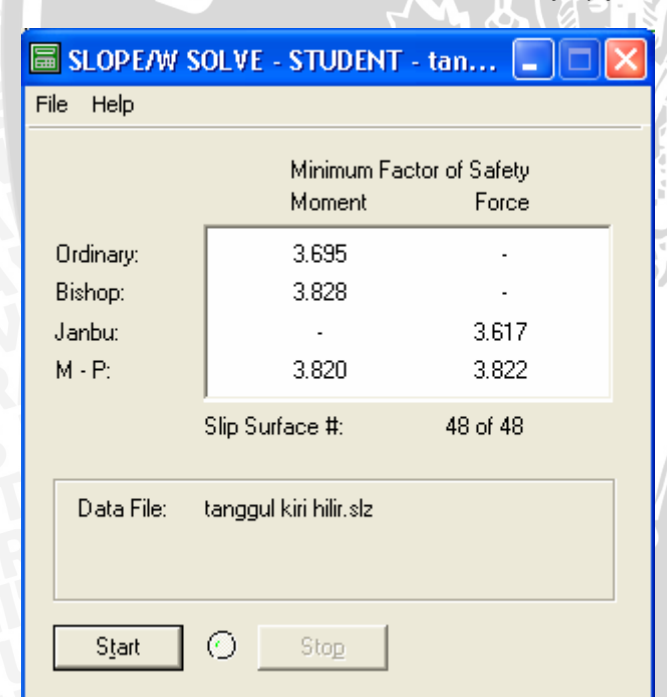


Gambar 4.40. Stabilitas tanggul kiri hilir



Gambar 4.41. Bidang longsoran tanggul kiri hilir

Tabel 4.30. Nilai keamanan minimum (safety factor) tanggul kiri hilir





BAB V KESIMPULAN DAN SARAN

5.1 Kesimpulan

Berdasarkan hasil perhitungan dan analisa yang dilakukan pada bab sebelumnya, maka dapat diambil beberapa kesimpulan sebagai berikut :

1. Pada kondisi eksisting banyak penampang Sungai Cideres Deet terutama pada daerah hilir sudah tidak dapat menampung debit banjir yang terjadi sehingga diperlukan upaya perbaikan untuk mengendalikan luapan air sungai yang akan mengakibatkan banjir. Untuk perencanaan digunakan debit dengan kala ulang 25 tahun. Hasil selengkapnya disajikan pada tabel 5.1 berikut:

Tabel 5.1. Hasil rekapitulasi penampang sungai yang meluber

Debit	Patok-patok yang meluber
Q _{1th}	230,199,106,105,74-71,69,65-63,58,47-46,43,41,39,31,28,27,25,23,21, 16,13
Q _{2th}	230,211,204-203,201.5,199,193,179,173,170,167,165-164,158,109-108,106-100,94,
	91,84-83,80-79,77-68,65-62,60-56,54-45,43,41-35,33-31,28-25,23-20,18,16,13
Q _{5th}	230,211,204-203,202-201.5,199,193,179,173,170,167,165-164,158,129,109-108,
	106-100,94,91,84-82,80-79,77-67,65-56,54-45,43,41-31,29-25,23-20,18,16,13
Q _{10th}	230,228,211,204-201.2,199,193,189,184,179,173,170,167,165-163,159-158,155.5,
	129,109-108,106-100,94,91-89,87-85.3,84-82,80-79,77-67,65-56,54-45,43-31,29-18,
	16-15,13-12
Q _{25th}	240, 230, 228, 211, 205-201, 199-197, 193, 189, 184,180, 179,177, 176,173, 172,
SPA	170, 167, 165, 163, 159-157, 155.5, 147, 136, 128, 109, 108, 106, 105-100, 94, 91-68,
	65-57,55-9,7,6.

- 2. Berdasarkan analisa awal, ada 2 alternatif perencanaan yang diberikan :
 - a. Pembuatan tanggul pada patok 1-16, 240, 230, 228, 211, 205-201, 199-197, 193, 189, 184,180, 179,177, 176,173,172,170, 167, 165, 163, 159-157, 155.5, 147, 136, 128, 109, 108, 106,105,-100, dan 94.
 - b. Perbaikan penampang sungai pada patok 91-68, 65-57, 55-17.
- 3. Setelah dilakukan upaya pengendalian banjir seperti pembuatan tanggul dan perbaikan penampang sungai, maka kapasitas tampungan Sungai Cideres Deet mampu menampung debit sampai dengan kala ulang 100 tahun.

Selain beberapa kesimpulan di atas, beberapa saran yang dapat dikemukakan antara lain :

- Dalam mendukung upaya pengendalian banjir di Sungai Cideres Deet, perlu kiranya disertai upaya perlindungan dan pengendalian kawasan sungai yaitu penataan bantaran dan sempadan sungai.
- 2. Banjir yang terjadi di daerah hilir tidak terlepas dari perilaku daerah hulu, untuk itu perlu adanya upaya konservasi lahan daerah hulu mengingat kondisi daerah tersebut cukup kritis karena banyaknya galian C yang mengakibatkan kondisi tanah mudah tererosi. Untuk mengatasi hal tersebut diperlukan upaya perbaikan daerah hulu seperti reboisasi.
- 3. Mengingat kajian ini hanya sebatas *basic plan* berdasarkan aspek teknis, maka perlu dilakukan kajian non-teknis, antara lain rehabilitasi hutan dan lahan (RHL) dan manajemen pengelolaan DAS (*watershed management*).